

**KARADENİZ TEKNİK ÜNİVERSİTESİ
FEN BİLİMLERİ ENSTİTÜSÜ**

ELEKTRİK - ELEKTRONİK MÜHENDİSLİK ANABİLİM DALI

**REED – SOLOMON KODLARIN AWGN ve RAYLEIGH
KANALLARDA BAĞIRIM ANALİZİ**

YÜKSEK LİSANS TEZİ

Elektrik - Elektronik Mühendisi Yusuf ZORLU

**TEMMUZ 2006
TRABZON**

**KARADENİZ TEKNİK ÜNİVERSİTESİ
FEN BİLİMLERİ ENSTİTÜSÜ**

ELEKTRİK-ELEKTRONİK MÜHENDİSLİK ANABİLİM DALI

**REED – SOLOMON KODLARIN AWGN ve RAYLEIGH
KANALLARDA BAŞARIM ANALİZİ**

Elektrik - Elektronik Mühendisi Yusuf ZORLU

**Karadeniz Teknik Üniversitesi Fen Bilimleri Enstitüsünde
“Elektronik Yüksek Mühendisi”
Ünvanı Verilmesi İçin Kabul Edilen Tezdir.**

**Tezin Enstitüye Verildiği Tarih : 09.06.2006
Tezin Savunma Tarihi : 06.07.2006**

**Tez Danışmanı : Yrd. Doç. Dr. İsmail KAYA
Jüri Üyesi : Doç. Dr. Temel KAYIKÇIOĞLU
Jüri Üyesi : Yrd. Doç. Dr. Cemal KÖSE**

Enstitü Müdürü: Prof. Dr. Emin Zeki BAĞKENT

Trabzon 2006

ÖNSÖZ

Bu tez, Karadeniz Teknik Üniversitesi Fen Bilimleri Enstitüsü Elektrik-Elektronik Mühendisliği Anabilim Dalı, Elektronik Mühendisliği Yüksek Lisans Programı'nda yapılan bir çalışmadır. "Reed – Solomon Kodların AWGN ve Rayleigh Kanallarda Berraklık Analizi" konulu bu çalışmada, toplanır beyaz Gauss gürültülü (AWGN) kanal ve dar bantlı Rayleigh kanal baz alınarak önemli bir kod çözme tekniği olan Reed – Solomon Kod çözme detaylı bir şekilde incelenmiş ve performansı etkileyen faktörler belirlenmiştir. Ayrıca bir benzetim programı yazılarak Reed – Solomon kod çözücünün performansını etkileyen faktörler de incelenmiş suretiyle farklı benzetim sonuçları elde edilmiştir.

Yüksek lisans tezi danışmanlığı üstlenerek, gerek konu seçimi ve gerekse çalışmamın yürütülmesi sırasında yardımlarını esirgemeyen değerli hocam Yrd. Doç. Dr. Smail KAYA'ya, yerinde yardımları için KTÜ Elektrik-Elektronik Mühendisliği Bölümü öğretim üyeleri ve personeline, verdikleri teknik destek için KTÜ-DSP Laboratuvarı çalışanlarına teşekkür ederim.

Ayrıca, uzun süre çalışmamızı beraber yürüttüğümüz değerli arkadaşım Bilgisayar Mühendisi Tuba ÖZLÜ'ye teşekkürü bir borç bilirim.

Son olarak benim için her türlü fedakârlığı yapan ve bana sabır gösteren aileme gösterdiği destek ve anlayışı için çok teşekkür ederim.

Yusuf ZORLU

Trabzon,2006

Ç İNDEK İLER

	<u>Sayfa No</u>
ÖNSÖZ.....	II
Ç İNDEK İLER.....	III
ÖZET	V
SUMMARY.....	VI
EK İLLER D Z N	VII
TABLolar D Z N	IX
SEMBOLLER D Z N	X
1. GENEL B LG İLER.....	1
1.1. Giri	1
1.2. Sayısal Haberle me Sistemleri	3
1.3. Hata Kontrol Yöntemleri	5
1.4. Hata Türleri.....	7
1.5. Hata Düzeltme Kodlaması.....	8
1.5.1. Kod Oranı (Kod Hızı).....	8
1.5.2. Shannon'un Kanal Kapasitesi Teoremi	9
1.6. Matematiksel Temeller	10
1.6.1. Grup Tanımı.....	10
1.6.2. Alan Tanımı	11
1.6.3. Galois Alanı Üzerinde Matematiksel İlemler	12
1.7. Kanal Kodlama Teknikleri	16
1.7.1. Blok Kodlar	16
1.7.2. Konvolüsyonel Kodlar.....	18
1.7.3. Ardı ıl Kodlar	20
1.7.4. Turbo Kodlar	22
1.7.5. Kodlama Sistemlerinin Kar ıla tırılması.....	23
1.8. Kablosuz Kanal Modelleri.....	26
1.8.1. İli Simetrik Kanal	26
1.8.2. Toplanır Beyaz Gauss Gürültülü Kanal.....	26
1.8.3. Yavaş Sönümlü Dar Bantlı Rayleigh Kanalı	27

1.9.	Serpi tirici.....	29
1.9.1.	Blok Serpi tirici	29
1.9.2.	Rastgele Serpi tirici (<i>pseudo - random interleaver</i>).....	30
1.9.3.	Yarı Rastgele Serpi tirici (<i>Semi – random interleaver</i>)	31
2.	YAPILAN ÇALI MALAR.....	32
2.1.	Do rusal Blok Kodlar.....	32
2.2.	Bose - Chaudri - Hocquenghem Kodları	37
2.2.1.	Peterson'un Do rudan Çözüm Yöntemi	41
2.2.2.	Berlekamp Yöntemi.....	43
2.3.	Reed - Solomon Kodları	46
2.3.1.	Reed - Solomon Kodlarının Tanımı	46
2.3.2.	Kodlama.....	47
2.3.3.	Kod Çözme	49
2.3.3.1.	Hata Belirteci Hesabı.....	49
2.3.3.2.	Peterson'un Do rudan Çözüm Yöntemi	52
2.3.3.3.	Berlekamp Yöntemi	57
2.3.3.4.	Euclid Yöntemi.....	60
3.	BULGULAR VE TARTI MA.....	65
3.1.	Reed - Solomon Kod Çözücünde Kod Hızının Etkisi (BER).....	70
3.2.	Reed - Solomon Kod Çözücünde Kod Hızının Etkisi (SER).....	78
4.	SONUÇLAR.....	86
5.	ÖNER LER.....	88
6.	KAYNAKLAR	89
	ÖZGEÇM	93

ÖZET

Sayısal ileti m sistemlerinde temel amaçlardan biri, birim zamanda alıcıya hatasız olarak aktarılan veri oranını yüksek tutmaktır. Bilgi, örne in radyo veya uydu ba lantıları gibi ortamlarda iletilirken meydana gelen anlık de i imler bilgi i aretini bozarak veri kaybına neden olur. Bu anlamda bilginin bozulmadan, yüksek hızda iletilmesini veya saklanmasını sa lamak büyük önem ta ımaktadır. Hemen her alanda, yüksek miktarda bilginin güvenilir bir eilde iletilmesi, sunulan hizmet kalitesini artırır. Bilginin bozulmadan saklanması bilgi ve zaman kaybını önler.

Hata düzeltme kodları, iletim sırasında meydana gelebilecek sembol hatalarının algılanması ve düzeltilmesi için bilgi bitleri dizisine ek bit ilave etmektedir. Hata düzeltme kodlarının ortaya çıkması, gürültülü bir kanal üzerinden bilginin iletimi sırasında, Shannon' un kanal kapasitesine ula ılabilece ini göstermi tir Reed – Solomon (RS) kodları, do rusal blok kodlar ailesinin en güçlü kodlarıdır ve en geni ölçüde kullanılan hata kontrol tipi oldu u tartı malıdır. Özel olarak RS kodları ikili olmayan sistematik döngüsel do rusal blok kodlardır. kili olmayan bu kodlar birçok bitten olu an semboller ile çalı ırlar. kili olmayan kodlar -öyle ki RS kodları – hata patlamalarını düzeltmede oldukça iyidirler. Çünkü bu kodların hata düzeltimi sembol seviyesinde yapılmaktadır. Ayrıca kodlama i lemi kod çözme i lemine göre oldukça basittir.

Bu çalı mada amaç, Reed – Solomon kodlar hakkında temel bilgileri vermek, kodların toplanır beyaz Gauss gürültülü (AWGN) kanaldaki ve dar bantlı Rayleigh kanaldaki performansını incelemek ve bunun sonucunda, AWGN ve Rayleigh kanallarda Reed –Solomon kod çözücünün performansını etkileyen faktörleri belirlemektir. Bunun için önce kodlama ve kod çözme yapıları incelenmi ve Reed – Solomon kod çözme algoritması hakkında detaylı bilgi verilmi tir. Ardından, AWGN ve Rayleigh kanallarda Reed – Solomon kod çözücünün ba arımını etkileyen faktörler de i tirilerek farklı benzetim sonuçları elde edilmi tir.

Anahtar Kelimeler: Reed - Solomon Kodlama, Hata Düzelten Kodlar, Reed Solomon Kod Çözme Algoritması

SUMMARY

Reed Solomon Codes Performance Analysis in AWGN and Rayleigh Channels

One of the main goals in a digital communication system is to increase the information rate at the receiver side without having erroneous data. Unexpected changes (e.g., multipath propagation effect), in the transmission mediums like radio or space links, corrupt the data signal and cause an information loss. Reliable data transfer at high speed increases the quality of service and is also an important problem in many cases. Storing the data without corrupting it prevents the data and time loss.

Error correction codes are a means of including redundancy in a stream of information bits to allow the detection and correction of symbol errors during transmission. The birth of error correction coding showed that Shannon's channel capacity could be achieved when transmitting information through a noisy channel. Reed – Solomon Codes (RS) are the most powerful in the family of linear block codes and are arguably the most widely used type of error control codes. To be specific, RS codes are non-binary systematic cyclic linear block codes. Non-binary codes work with symbols that consist of several bits. Non-binary codes such as RS are good at correcting burst errors because the correction of error the codes is done on the symbol level. Compared to decoding, channel encoding is relatively simple.

The dissertation specifically describes the structure of Reed – Solomon Codes gives the performance of Reed – Solomon Codes in additive white Gaussian noise (AWGN) channels and in Rayleigh fading channels and thus, determines the factors that influence the performance of Reed – Solomon decoding in AWGN and Rayleigh fading channels. Therefore, initially, encoding and decoding process is studied carefully and great amount of information about the Reed – Solomon decoding algorithm is given. Then, by changing the factors that influence the performance of Reed – Solomon decoder in AWGN and Rayleigh fading channels, various simulation results are obtained.

Key Words: Reed – Solomon Encoding, Error Correction Codes, Reed – Solomon Decoding Algorithm

EK LLER D Z N

	<u>Sayfa No</u>
ekil 1. Sayısal ileti im sisteminin blok diyagramı.....	4
ekil 2. Dur ve bekle ARQ.....	6
ekil 3. Sürekli ARQ.....	6
ekil 4. Basit bir ardı ıl kod yapısı.....	21
ekil 5. AWGN kanalda hata düzeltme kodlaması ve BPSK modülasyonu kullanan bazı sistem ve standartların kar ıla tırılması.....	24
ekil 6. İli simetrik kanal modeli.....	26
ekil 7. AWGN kanal modeli.....	27
ekil 8. Yava sönümlü dar bantlı Rayleigh kanal modeli.....	28
ekil 9. (6x5) blok serpi tirici	30
ekil 10. Rastgele serpi tirici	30
ekil 11. Yarı rastgele serpi tirici.....	31
ekil 12. Kod sözcü ünün sistematik hali.....	33
ekil 13. Reed - Solomon kodlayıcı devrenin blok diyagramı.....	48
ekil 14. Reed - Solomon kod çözücü devrenin blok diyagramı	50
ekil 15. Kodlanacak veri.....	66
ekil 16. Kodlanmış veri	66
ekil 17. Kodlanmış binary veri	67
ekil 18. Module edilmiş veri.....	67
ekil 19. Gürültü paketi.....	68
ekil 20. Gürültü eklenmiş veri paketi	68
ekil 21. Demodule edilmiş veri paketi.....	69
ekil 22. Kodu çözülecek veri paketi	69
ekil 23. Kodu çözülmüş veri paketi.....	70
ekil 24. AWGN kanalda BPSK ba arımı,BER Analizi.....	71
ekil 25. Kod hızının Reed - Solomon kod çözücü ba arımına etkisi, BER Analizi [1000 sembol, 200 kanal, AWGN kanal, BPSK modülasyonu].....	71
ekil 26. Rayleigh kanalda BPSK ba arımı,BER Analizi.....	72

ekil 27. Kod hızının Reed - Solomon kod çözücü ba arımına etkisi, BER Analizi [1000 sembol, 200 kanal, Rayleigh kanal, BPSK modülasyonu].....	72
ekil 28. AWGN kanalda QPSK ba arımı, BER Analizi.....	73
ekil 29. Kod hızının Reed - Solomon kod çözücü ba arımına etkisi, BER Analizi [1000 sembol, 200 kanal, AWGN kanal, QPSK modülasyonu].....	74
ekil 30. Rayleigh kanalda QPSK ba arımı, BER Analizi.....	75
ekil 31. Kod hızının Reed - Solomon kod çözücü ba arımına etkisi, BER Analizi [1000 sembol, 200 kanal, Rayleigh kanal, QPSK modülasyonu].....	76
ekil 32. AWGN kanalda 16-QAM ba arımı, BER Analizi	77
ekil 33. Kod hızının Reed - Solomon kod çözücü ba arımına etkisi, BER Analizi [1000 sembol, 200 kanal, AWGN kanal, 16-QAM modülasyonu].....	77
ekil 34. AWGN kanalda BPSK ba arımı, SER Analizi	78
ekil 35. Kod hızının Reed - Solomon kod çözücü ba arımına etkisi, SER Analizi [1000 sembol, 200 kanal, AWGN kanal, BPSK modülasyonu].....	79
ekil 36. Rayleigh kanalda BPSK ba arımı, SER Analizi	79
ekil 37. Kod hızının Reed - Solomon kod çözücü ba arımına etkisi, SER Analizi [1000 sembol, 200 kanal, Rayleigh kanal, BPSK modülasyonu].....	80
ekil 38. AWGN kanalda QPSK ba arımı, SER Analizi	81
ekil 39. Kod hızının Reed - Solomon kod çözücü ba arımına etkisi, SER Analizi [1000 sembol, 200 kanal, AWGN kanal, QPSK modülasyonu].....	82
ekil 40 Rayleigh kanalda QPSK ba arımı, SER Analizi	82
ekil 41. Kod hızının Reed - Solomon kod çözücü ba arımına etkisi, SER Analizi [1000 sembol, 200 kanal, Rayleigh kanal, QPSK modülasyonu].....	83
ekil 42. AWGN kanalda 16-QAM ba arımı, SER Analizi	84
ekil 43. Kod hızının Reed - Solomon kod çözücü ba arımına etkisi, SER Analizi [1000 sembol, 200 kanal, AWGN kanal, 16-QAM modülasyonu].....	85

TABLOLAR D Z N

	<u>Sayfa No</u>
Tablo 1. Mod 3 için toplama ve çarpma	11
Tablo 2. $GF(7)$ üzerinde toplama ve çarpma i lemleri.....	12
Tablo 3. $GF(2^4)$ 'ün elemanlarının farklı gösterili leri.....	14
Tablo 4. $GF(2^4)$ 'ün elemanlarının minimal polinomları	15
Tablo 5. (7,4) do rusal blok kodu	33
Tablo 6. Berlekamp'ın iteratif algoritması.....	44
Tablo 7. Berlekamp yönteminin Örnek 3.3'e uygulanı 1.....	58
Tablo 8. Euclid yönteminin tamsayılara uygulanı 1.....	61
Tablo 9. Euclid yönteminin Örnek 3.4'e uygulanı 1.....	63
Tablo 10. $BER = 10^{-5}$ için gerekli SNR de erleri (dB)	86
Tablo 11. $SER = 10^{-4}$ için gerekli SNR de erleri (dB).....	87

SEMBOLLER D Z N

<i>ACK</i>	Pozitif onay
<i>A/D</i>	Analog-sayısal dönüüm
<i>ADC</i>	Analog-sayısal dönüürücü
<i>ARQ</i>	Otomatik tekrar iste i
<i>AWGN</i>	Toplanır beyaz Gauss gürültüsü
<i>BCH</i>	Bose – Chaudri - Hocquenghem
<i>BER</i>	Bit hata oranı
<i>BPSK</i>	kili faz kaydırmalı anahtarlama
<i>BSC</i>	kili simetrik kanal
$b(X)$	Parite kontrol dizisinin polinomsal ifadesi
<i>C</i>	Kanal kapasitesi
<i>CDPD</i>	Hücresele sayısal paket veri
D_i	Katsayı matrisinin determinantı
<i>D/A</i>	Sayısal-analog dönüüm
<i>DMC</i>	Ayrık hafızasız kanal
$d_{m i}$	Minimum Hamming mesafesi
E_b/N_0	Bit başına dü en enerjinin gürültü gücüne oranı
E_s	Sembol başına dü en enerji
<i>ESA</i>	Avrupa uzay ajansı
<i>e</i>	Hata dizisi
e_i	i. hata de eri
$e(X)$	Hata dizisinin polinomsal ifadesi
<i>FEC</i>	leri yön hata düzeltme
<i>G</i>	Üreteç matrisi
G_l	Galois alanı
$G(F)$	p elemanlı Galois alanı
<i>GSM</i>	Küresel gezgin haberle me sistemi
$g(X)$	Üreteç polinomu

H^T	Parity kontrol matrisinin transpozesi
I_k	Birim matris
$i(X)$	Bilgi dizisinin polinomsal ifadesi
K	Sınır uzunlu u
k	Kodlayıcıya giren veri sayısı
L	Giriş dizisinin uzunlu u (blok uzunlu u)
m	Kodlayıcıdaki, en uzun bellek dizisindeki, bellek elemanı sayısı
n	Kodlayıcıdan çıkan veri sayısı
N_0	Tek taraflı gürültü gücü spektrumu
NAK	Negatif onay
$NASA$	Amerikan uzay ve havacılık ajansı
$QPSK$	Quadrature faz kaydırmalı anahtarlama
P_e	Bit hata olasılığı p
$p(\xi)$	Gauss gürültüsü olasılık dağılım fonksiyonu
q	Blok kodun derecesi
R	Kod oranı (Kod hızı)
RS	Reed - Solomon
r	Alınan kod vektörü
$r(X)$	Alınan kod dizisinin polinomsal ifadesi
S	Hata belirteci
S_i	i . hata belirteci
$S(X)$	Hata belirteçlerinin polinomsal ifadesi
SER	Sembol hata oranı
S_r	Serpiştirici faktörü
SNR	Sinyal/gürültü oranı
t	Düzeltililecek hata sayısı
u	Bilgi dizisi vektörü
v	Kodlanmış dizi vektörü
$v(X)$	Kod dizisinin polinomsal ifadesi
X_t	Kanalın giriş i
Y_t	Kanalın çıkışı i

Z_i	Sıfır ortalamalı Gauss gürültüsü
δ	Gürültü varyansı
β_i	i. hata yeri
A_i	Kanal kazancı
α	İlkel eleman
$\sigma(X)$	Hata yeri polinomu
$C(X)$	Hata yeri polinomunun tersi
$\sigma'(X)$	Hata yeri polinomunun X' e göre türevi
μ	Adım sayısı
d_μ	μ . Uzaklık
l_μ	μ . Adımda elde edilen polinomun derecesi
$\Phi(X)$	$GF(2^m)$ için tanımlı minimal polinom
$\omega(X)$	Hata değerlendirme polinomu

1. GENEL B LG LER

1.1. Giri

Son birkaç yılda, etkin, kaliteli ve güvenilir olması nedeniyle sayısal data iletimine olan talep giderek artmaktadır. Bu talep, askeri, resmi ve özel çalı ma alanlarında, sayısal bilginin, yüksek hızlı data a larında de i imi, i lenmesi ve saklanması gereklili inin ortaya çıkması ile hızla artmıştır. Bu sistemlerin tasarımı için ileti im ve bilgisayar teknolojilerinin birleştirilmesi gerekmektedir. Dolayısıyla hata kontrolü ve data güvenli i, günümüz haberleşme araçlarının en önemli birkaç ö esinden biri haline gelmiştir.

Temel olarak bir ileti im sisteminde amaç, bilgiyi bir yerden başka bir yere iletmektir. Bu yapılırken, birim zamanda alıcıya hatasız olarak aktarılacak veri oranını yüksek tutmak gerekir. Bilgi; radyo bantları, uydu bantları, telefon hatları gibi ortamlarda iletilir veya manyetik bant, Compact Disk (CD) gibi ortamlarda saklanır. Bir ileti im sisteminin performansı, ileti m sırasında meydana gelen bilgi kaybı miktarı ile ölçülür.

İleti m sırasında olu an hatalar kanalın bozucu etkilerinden kaynaklandı ından, haberleşme sistemi tasarlanırken kanalın gürültü özellikleri belirlenip uygun şekilde modellenmelidir. Seçilen kanal modeline uygun olarak do ru ileti mi sağlamak için hata berraklığını artıracak önlemler alınmalıdır. Kanal kodlaması yapılarak belirli bir hata olasılığıyla gürültülü bir kanaldan bilgi iletimi mümkündür. Bu konuyla ilgili olarak ilk çalı ma 1948 yılında Shannon tarafından yapılmıştır. Shannon, gürültü seviyesi, i aret gücü ve bant genişliği gibi kanalın karakteristik özelliklerinden yola çıkarak kanal kapasitesinin hesaplanabileceğini ispatlamıştır. Kanal kapasitesi, birim zamanda kanaldan güvenilir şekilde iletebilecek maksimum veri miktarıdır. Shannon, veri iletim hızı kanal kapasitesinin altında olduğu sürece bilginin uygun biçimde kodlanmasıyla, data iletim hızından taviz vermeden, gürültülü kanallarda ortaya çıkabilecek hata olasılığının azaltılabileceğini göstermiştir. Shannon'un çalı masından bu güne, gürültülü ortamlarda etkin kodlama ve kod çözme teknikleri ile hata kontrolü için büyük çaba harcanmıştır.

Son yıllardaki gelişmeler, bugünün yüksek hızlı sayısal sistemlerinin gereksinim duyduğu güvenilirliğe yaklaşıma yardımcı olmuş ve hata kontrol kodlaması modern iletişim sistem tasarımı içindeki yerini almıştır.

Sayısal iletişim sistemi tasarımcısının görevi, vericiden alıcıya, kullanıcıların istediği hızda ve doğrulukta veri iletimini sağlamaktır. Bu tip bir sistemin tasarım parametreleri ise iletim bant genişliği, iletim gücü ve seçilen gerçekleştirme tipinin karmaşıklığıdır. Veri iletim hızı ve doğruluğu ise uygulamaya göre değişir.

İletim bant genişliği iletim ortamının özellikleri ile sınırlanır. Örneğin yeryüzünde, başka kullanıcılarla etkileşimi engellemekte her bir haberleşme kanalı için belirli bir bant genişliği ayrılmıştır. İletim bant genişliğinin sınırlanmadığı uygulamalar olarak uzay araçlarıyla kurulan bağlantılar örnek verilebilir. Başka bir kullanıcıyla etkileşim olasılığı çok düşük olduğundan, bu tip iletimde çok geniş bant genişlikleri kullanılabilir. İletim gücü ve gerçekleştirme karmaşıklığı ise daha çok tasarımcının kontrolünde olan parametrelerdir. Gerçeklenebilecek birkaç sistemden maliyet ve bakım açısından en uygun olanını seçmek bir mühendislik sorunudur. Örneğin bazı sistemlerde istenen doğrulukta veri iletimi, gönderilen iletim gücünü artırarak sağlanabilir. İletim gücü, kanalda var olan gürültü gücünden yeterince yüksek ise, gönderilen iletim kanal içinde bozulmadan iletilir.

Güvenilir bir haberleşme bağlantısında gerekli yüksek iletim gürültü oranını elde etmek için daha yüksek verici gücü kullanmak yerine günümüzde hata düzeltme teknikleri tercih edilmektedir. Çünkü standartların en önemli sınırlaması güç üzerindedir. Hata düzeltme teknikleri ile gönderilen iletime, sistematik olarak bazı kontrol iletimleri eklenir. Tıbbi ve ticari alanlarda kablosuz haberleşmeleri, her yeni üründe elektromagnetik güç emisyonunu önemli ölçüde azaltmaktadır.

Shannon'un çalışmasını takiben, R.W. Hamming, A. Hocquenghem, R.C. Bose ve D.K. Ray-Chaudri, I.S. Reed ve G. Solomon çalışmalarıyla gelişen hata düzeltme kodları ve kod çözme algoritmaları sağlam matematiksel temeller üzerine inşa edilmiştir. Hata düzeltme tekniklerinde kullanılan güçlük kod çözme algoritmalarının karmaşıklığından kaynaklanmaktadır. Kod çözme işlemi birçok karmaşık bağlantının beraberce çözülmesini gerektirdiğinden hızlı bir şekilde kod çözme işlemi gerçekleştirilmekte güçlükler ortaya çıkabilir.

1.2. Sayısal Haberleşme Sistemleri

Günümüzde, hızla artan teknolojik gelişmelere paralel olarak bilgi trafiği de hızla artmıştır. ATM, ADSL, ISDN gibi yüksek hızlarda bilgi iletimine olanak veren çözümler sayesinde, yüzlerce sayfalık bir dökümanın dünyanın bir ucundan başka bir ucuna ulaştırılması saniyenin kesirleri mertebesinde sürmektedir. Hemen her alanda, yüksek miktarda bilginin güvenilir bir şekilde iletilmesi, sunulan hizmet kalitesini artırır. Bilginin bozulmadan saklanması bilgi ve zaman kaybını önler. Modern Sayısal İletişim Sistemlerinde bilginin bozulmadan, yüksek hızda iletilmesini ve saklanmasını sağlamak büyük önem taşımaktadır. Örneğin bankalar arası bir bilgi akışında hatalı iletme izin verilemez.

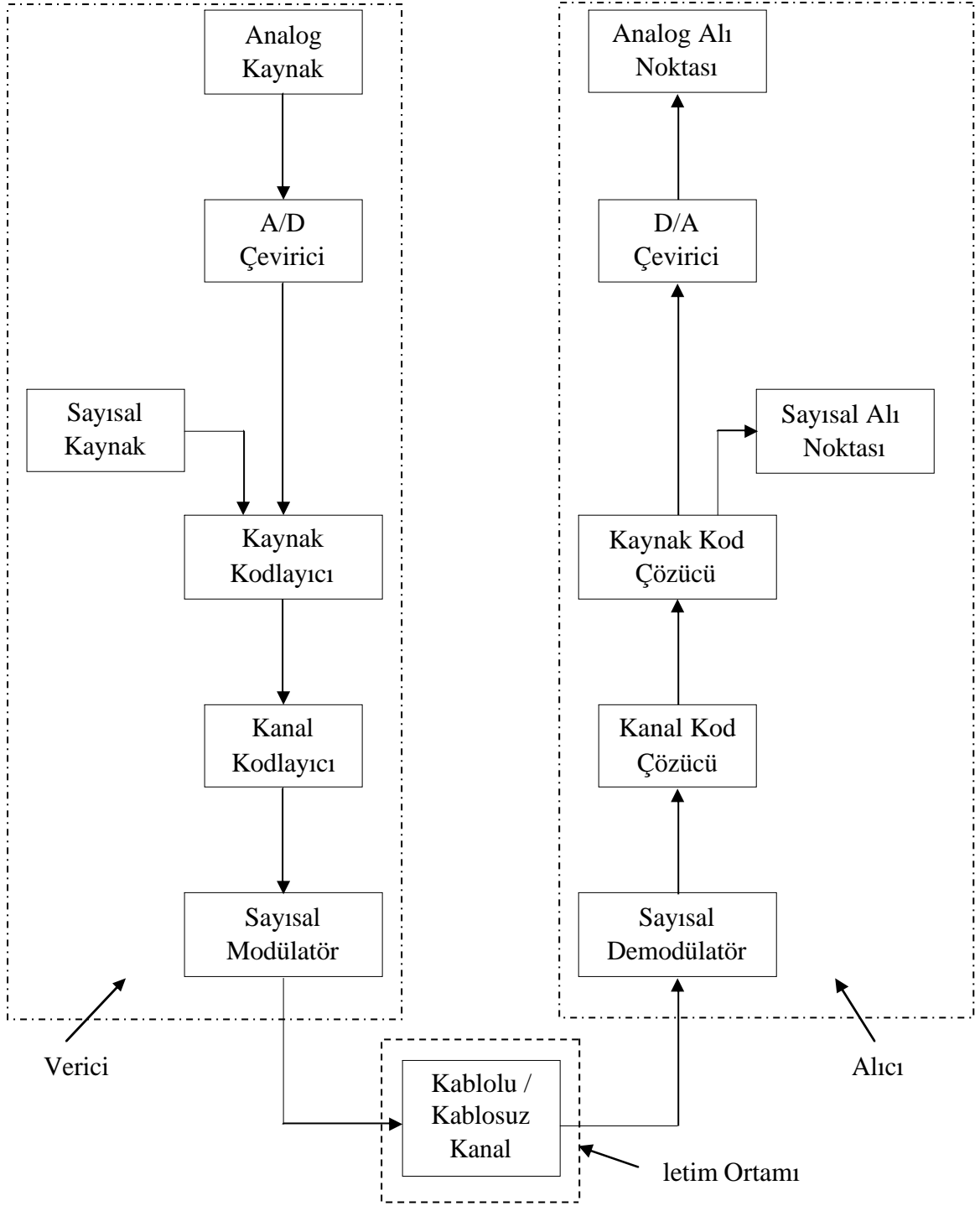
İletişimde, data bir bilgi kaynağından hedefe doğru gürültülü bir iletim ortamından transfer edilir. Tipik bir iletişim sistemi şekil 1'deki blok diyagramdaki gibi ifade edilebilir. Bu sistem üç ana bölümden oluşmaktadır: bir verici (kaynak), bir alıcı (varı yeri) ve bir iletim ortamı (bir çift tel, koaksiyel kablo, fiber hat ya da boş alan)[1]. Bilgi kaynağı insan veya bir makine olabilir.

Tipik bir sayısal iletişim sisteminde başlangıçtaki kaynak bilgi analog ya da sayısal darbeler halinde olabilir. Analog bilgiye örnek olarak ses, video, resim bilgisi ya da müzik; sayısal darbelere örnek olarak ise ikili kodlu sayılar, alfa sayısal kodlar, grafik semboller, mikroiletim kodları ya da veri tabanı bilgisi verilebilir. Sayısal iletişim sisteminde, eğer kaynak bilgi analog biçimde ise iletilmeden önce sayısal darbelere dönüştürülmelidir. Bu nedenle analog bilgi, bir analog-sayısal (A/D) çevirici yardımıyla sayısal darbelere dönüştürülmektedir.

Etkin bir sayısal iletişim sisteminin sağlanmasının en iyi yolu, veri sembollerinde fazlalıkların atılmasıdır. Yani kaynak bilgisini mümkün olduğunca sıkı tırabilmektedir.

Bu nedenle, gönderilecek olan veri miktarını sıkı kırmak için kaynak kodlayıcı kullanılmaktadır. Örneğin, bir video sinyalinin A/D çeviriciden geçirilerek MPEG kaynak kodlayıcıya sürülmesiyle verinin sıkı tırılması sağlanmaktadır.

Dikkat edilirse, kaynak kodlama işlemi ile kanal kodlama işlemi arasında bir zıtlık olduğu görülmektedir. Kaynak kodlama işlemi ile kaynak bilgi sıkı tırılarak küçültülürken, kanal kodlama işlemi ile kaynak bilgiye fazlalık (artık bitleri) eklenmektedir. Sonuç olarak, kaynak kodlama işlemi kanal kodlama işleminin tam tersi bir işlem olarak düşünülebilmektedir.



ekil 1. Sayısal ileti m sisteminin blok diyagramı

Her ne kadar kanal kodlama i lemi ile bilgi dizisine fazlalık katılmı olsa da, bu fazlalık orijinal bilgideki asıl fazlalıktan daha mantıksal ve kontrol edilebilir oldu undan, alıcı tarafında hataları düzeltmek için etkin bir eilde kullanılabilir.

Bilgi dizisinin fiziksel kanal üzerinden iletme uygun olmamasından dolayı sayısal bir modülatör yardımı ile kanal kodlayıcı çıkışı ındaki veri modüle edilip sürekli zaman dalga ekline çevrildikten sonra fiziksel kanal üzerinden iletilmektedir. ekil 1’de görüldü ü gibi genellikle iki tür fiziksel kanal kullanılmaktadır: kablolu ve kablosuz. Kablolu kanala örnek olarak koaksiyel kablo, optik fiber, vb., kablosuz kanala örnek olarak ise serbest uzaydaki elektromagnetik kanallar verilebilir. Yalnız, bilgi sayısal kanal üzerinden iletilirken bir takım bozucu etkenden dolayı bilgi kaybı meydana gelmektedir.

Alıcının giri inde ise bozulmuş i aret alınmaktadır. Alınan bu i aret sayısal detektör yardımı ile demodüle edilerek kodlanmış bitlerin tahmini yapılmaktadır. Kanal kod çözücü, verici tarafındaki kanal kodlayıcının bilgi bitlerine ekledi i artık bitleri kullanarak, mümkün oldu unca hataların algılanıp düzeltilmesini sa lamaktadır. Böylelikle, bilgi bitlerine verici tarafında kanal kodlayıcı tarafından eklenen fazlalık bu a amadan sonra ortadan kalkmaktadır.

1.3. Hata Kontrol Yöntemleri

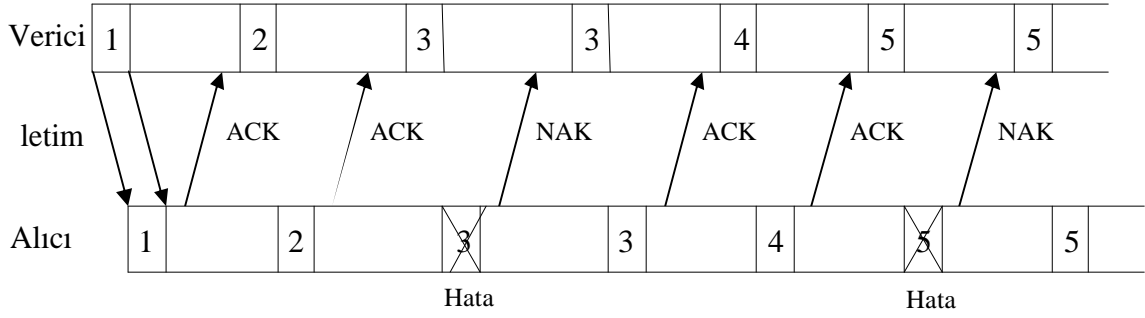
Hata kontrolünde temel olarak iki yöntemden söz edilebilir. Bunlardan biri, “otomatik tekrar iste i” denilen ARQ yöntemi, di eri ise “ileri yön hata düzeltme tekni i” FEC’dir.

ekil 1’deki blok diyagram, tek yönlü bir ileti im sistemini göstermektedir. Tek yönlü ileti im sisteminde hata kontrolü, ileri yön hata düzeltme tekni i kullanılarak yapılmalıdır. Bu teknikte bilgi mesajına hata düzeltme kodları ilave edilerek, alıcıda algılanan hatalı bitler otomatik olarak düzeltilir.

Bazı ileti im sistemleri iki yönlü olabilir. Bilgi iki yönde de gönderilir ve verici aynı zamanda bir alıcı gibi de davranır. ki yönlü ileti im sistemleri için hata kontrolü, “otomatik tekrar iste i” (ARQ) adı verilen, hatayı algılayan ve bilgiyi yeniden gönderen bir sistemle yapılabilir. ARQ sisteminde, alıcıda hata algılandı nda, vericiye mesajı tekrarlaması için bir istek gönderilir. Bu istek, mesaj do ru alınana kadar devam eder.

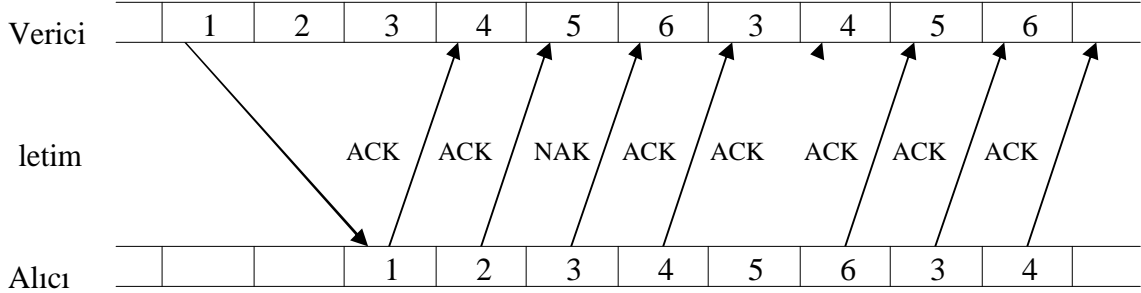
ki tip ARQ sistemi vardır.

- Dur ve bekle ARQ
- Sürekli ARQ



ekil 2. Dur ve bekle ARQ

Dur ve bekle ARQ'da, verici alıcıya bir kod gönderir ve alıcıdan pozitif (ACK) veya negatif (NAK) bir onay almak için bekler. Eğer NAK cevabı alınırsa hata algılanmıştır ve önceki kod kelimesi yeniden gönderilir. Aynı kod, doğru olarak alınana kadar birçok kez gönderilir.



ekil 3. Sürekli ARQ

Sürekli ARQ'da verici, kod kelimesini alıcıya sürekli olarak gönderir ve sürekli olarak bilgilendirme mesajını alır. Bir NAK algılandığında, verici hatalı olan kod kelimesine döner ve bu kelimeyi onu takip eden kelimelerle birlikte göndermeyi sürdürür. Buna geriye dönüşlü-N (go-back-N) ARQ denir. Alternatif olarak, verici sadece negatif bilgi mesajı alınan kod kelimelerini tekrar gönderebilir. Buna seçimli-tekrarlamalı (selective-repeat) ARQ denir. Seçimli-tekrarlamalı ARQ, geriye dönüşlü-N ARQ'dan daha etkindir ancak daha fazla lojik ve tamponlama (buffering) ister.

Sürekli ARQ, Dur ve bekle ARQ'ya göre daha etkindir fakat daha pahalıdır. İletim hızının yüksek ve dönüş yolu gecikmesinin uzun olduğu uydular ile iletişim sistemlerinde sürekli ARQ kullanılır.

Dur ve bekle ARQ sistemleri, bir kod kelimesini göndermek için geçen sürenin, bilgi mesajını almak için geçen süreden daha uzun olduğu uydular ile iletişim sistemlerinde kullanılır. Dur ve bekle ARQ sistemleri yarı dubleks kanallarda, sürekli ARQ ise tam dubleks kanallarda kullanılmak için tasarlanmıştır.

ARQ'nun FEC'e göre en önemli avantajı, hata algılamasının hata düzeltmeye göre çok basit kod çözme algoritmasına sahip olmasıdır. Ayrıca ARQ adaptiftir. Yani sadece hata meydana geldiğinde bilgi yeniden gönderilir. Diğer taraftan, kanal hata oranı yüksekse yeniden gönderme çok sıklıkla tekrarlanmalıdır. Bu da hızı düşürecektir. Bu durumda sık karışılabilir hata paterni için FEC ve daha uygunsuz hata paterni için hata algılama ve yeniden göndermenin kombinasyonu, tek başına olan ARQ'den daha etkin olacaktır.

1.4. Hata Türleri

Hafızasız kanallarda, gürültünün iletilen sembollere etkisi birbirinden bağımsızdır. Örnek olarak, ikili simetrik kanalı (binary symmetric channel, BSC) düşünelim. Her iletilen bit, diğer iletilen bitlerden bağımsız olarak, " p " kadar yanlış alınma olasılığına ve " $1 - p$ " kadar doğru alınma olasılığına sahiptir. Bu sebepten dolayı, alınan dizide iletim hataları rastgele olur ve hafızasız kanallara rastgele hata kanalları denir. Derin uzay kanalları ve birçok uydu kanalı rastgele hata kanalına örnektir. Direkt görüş iletişim sistemlerinin çoğu, asıl olarak rastgele hatadan etkilenir. Rastgele hataları düzeltmek için tasarlanan kodlara rastgele hata düzeltme kodları denir.

Hafızalı kanallarda gürültü, iletimden iletme bağımsız değildir. Bu model iki durum içerir. Hatanın nadiren ortaya çıktığı iyi durumda $p_1 \approx 0$ ve hata olasılığının yüksek olduğu kötü durumda $p_2 \approx 0$ 'dır. Kanal genelde iyi durumdadır. Ancak ara sıra kanalın iletim karakteristiğindeki değişimlerden dolayı, örneğin çok yönlü iletimden kaynaklanan derin bayılmalar, kanal kötü duruma geçebilir. Sonuç olarak iletim hataları ardışık meydana gelir. Hafızalı kanallara, hata patlamalı kanallar denir. Hata patlamasını gidermek için tasarlanan kodlara, hata patlaması düzeltme kodları denir.

1.5. Hata Düzeltme Kodlaması

Herhangi bir iletişim kanalı üzerinden bilgi iletmeye çalışılırken, esas amaçlardan biri güvenilirliği sağlamaktır ve bu alıcıdaki doğru algılama oranı ile ölçülmektedir[2]. Bu amaçlar doğrultusunda, iletişim sistemlerinde güvenilirliği sağlamak ve alıcıdaki doğru algılama oranını artırmak için hata düzeltme kodlamasından yararlanılmaktadır. Bilgi teorisinin ve hata düzeltme kodlamasının temelini, Shannon'un 1940'lı yıllarda ortaya koyduğu "kanal kapasite teoremi" oluşturmaktadır. Bu teoreme, kod oranına bağlı olarak güvünlü bir ortamda kanal kapasitesinin teorik olarak ulaşılabileceği üst sınır belirtilmiştir. Bunun doğrultusunda, kodlama teorisine olan ilgi hızla artmaya başlamıştır. Günümüzde pratik olarak Shannon'un kanal kapasite sınırına ulaşabilmek için etkin kanal kodlama tekniklerini içinde barındıran sayısal iletişim sistemlerinin tasarımı üzerinde durulmaktadır.

1.5.1. Kod Oranı (Kod Hızı)

Kanal kodlayıcılarının performansını belirleyen en önemli kavramlardan biri kod oranıdır. Bir kanal kodlayıcısı, k bitlik veri dizisini n bitlik kod kelimesine dönüştürmekte ($n > k$) ve buna bağlı olarak $R = k/n$ oranı kod oranı olarak adlandırılmaktadır. $n > k$ olmasından dolayı kod oranı birden küçüktür ($R < 1$). Ayrıca, güvenilir bir haberleşme sağlamak için kod oranı kanal kapasitesini aşmamalıdır ($R \leq C$). Sıkça kullanılan kod oranları $1/4$, $1/3$, $1/2$, $2/3$ ve $3/4$ 'tür. Fakat pratikte, teorikten farklı olarak kod oranı, ek kodlayıcı bitleri olarak nitelendirilen kuyruk bitlerinden ötürü yukarıda verilen kod oranı değerlerinden çok az da olsa küçüktür.

1.5.2. Shannon'un Kanal Kapasitesi Teoremi

Kod oranı, kanal kapasitesi olarak adlandırılan bir rakamdan daha küçük oldu u sürece, gürültülü kanallar üzerinden de güvenilir ileti im sa lamak mümkün olacaktır [3]. 1940'lı yıllarda Claude Shannon tarafından sunulan bu bulgu, gürültülü kanal kapasitesi teoremi [4] olarak bilinmektedir.

Bu teoreme göre, toplanır beyaz Gauss gürültüsünün (AWGN) getirdi i kısıtlama, ileti im güvenilirliği ile ilgili de il de ileti im hızı ile ba lantılıdır. Bu teorem, hatanın olu madı ı yada yok oldu u bir kanal ile desteklenebilen maksimum data oranını verir. AWGN kanal için kapasite,

$$C = \frac{1}{2} \log_2 \left(1 + \frac{2E_s}{N_0} \right) \quad (1.1)$$

ile bulunur. Burada C bilgi kapasitesi, E_s sembol enerjisi, N_0 'da kanalın çift taraflı gürültü güç yo unluk spektrumudur. Bu kapasiteye yakın de erlere pratikte, hata düzeltme kodlamasıyla (*error correction coding*) ula ılabilir. Güvenilir bir haberle me sa lamak için kod oranı, kanal kapasitesini a mamalıdır. ($R \leq C$). Bu durumda gerekli minimum E_b/N_0 a a ıdaki denklemden bulunur.

$$\frac{E_b}{N_0} \geq \frac{1}{2R} (2^{2R} - 1) \quad (1.2)$$

1.2. denkleminde e itlik, sadece giri in Gauss da ılımlı olması durumunda geçerlidir. Shannon'un teoreminde, $R \leq C$ artına ba lı olan bir rastgele kod için kod uzunlu u (n) sonsuza giderken, bit hata olasılı ı da (P_e) sifıra yakla ır. Ancak pratikte rastgele kodlar gerçekte tirilemez. Ayrıca, kodlama ve kod çözm e i lemlerinin verimli yapılabilmesi için kodların yapılandırılmı olması gerekir. Ancak Shannon, kanal kapasitesine pratik olarak nasıl ula ılaca na açıklık getirmemi , sadece elde edilebilir oldu unu göstermi tir.

1.6. Matematiksel Temeller

Bu bölümde hata algılayan ve düzelten kodların teorik temellerini oluşturan grup, alan ve Galois Alanı ile ilgili temel bilgiler verilmiştir. Bölümde geçen teoremlerin ispatları ve tanımlarla ilgili daha ayrıntılı bilgi çeşitli kaynaklarda bulunabilir [50 – 53].

1.6.1 Grup Tanımı

Hata düzelten kodların özelliklerini belirleyen en basit cebirsel sistem gruptur.

Bir küme ve o kümenin elemanları üzerine tanımlanmış bir işlem ve iylemlerin oluşturduğu kümeye “Cebirsel Sistem” denir; kümenin iki elemanına uygulanan işlem sonunda elde edilen eleman yine kümenin bir elemanıdır; dolayısıyla kapalılık otomatik olarak sağlanır.

Tanım 1: G bir elemanlar kümesi, $a, b, c \in G$ olmak üzere, $*$, G üzerinde tanımlı bir matematiksel işlem olsun. $*$ işlemi G kümesi içinde aşağıdaki özellikleri sağlıyorsa G gruptur denir.

i. G , $*$ işlemine göre kapalıdır.

$$c = a * b$$

ii. $*$ işleminin G içinde birleşme özelliği vardır.

$$a*(b*c) = (a*b)*c$$

iii. G 'nin bir birim elemanı vardır ve e ile gösterilir.

$$a*e = e*a = a$$

iv. $a \in G$ 'nin bir elemanı ise a 'nın $*$ işlemine göre tersi vardır ve a^{-1} ile gösterilir.

$$a * a^{-1} = a^{-1} * a = e$$

Bir grubun eleman sayısı o grubun derecesidir ve bir grup sonlu veya sonsuz sayıda eleman içerebilir. Örneğin $0, 1, 2, \dots, M-1$ tam sayılarının oluşturduğu grup mod M toplama işlemi altında sonlu bir gruptur. $1, 2, \dots, M-1$ tam sayılarının oluşturduğu grup, M asal sayı ise mod M çarpma altında sonlu bir gruptur. Tablo 1.'de $M=3$ için tanımlı çarpma ve bölme işlemi verilmiştir.

Tablo 1.a) Mod 3 için toplama ve çarpma

+	0	1	2	*	1	2
0	0	1	2	1	1	2
1	1	2	0	2	2	1
2	2	0	1			

1.

6.2 Alan Tanımı

Alan adı verilen cebirsel sistemde, kümenin elemanları üzerine iki işlem tanımlanmıştır. Bunlara toplama ve çarpma işlemleri denilecektir. Alan, üzerinde toplama ve çarpma işlemlerinin tanımlı olduğu elemanlar kümesidir. Çıkarma ve bölme işlemleri, alan içindeki her elemanın toplama ve çarpma işlemlerine göre tersi olduğundan yola çıkılarak gerçekleştirilir. F alanının elemanları toplama ve çarpma işlemleriyle a üzerindeki koşulları sağlamalıdır.

- i. Toplama işleminin sıradaki özelliği vardır ve toplama işleminin birim elemanı 0 'dir.
 $a + b = b + a$
 $a + 0 = 0 + a = a$
- ii. Çarpma işleminin sıradaki özelliği vardır ve çarpma işleminin birim elemanı 1 'dir
 $a \cdot b = b \cdot a$
 $a \cdot 1 = 1 \cdot a = a$
- iii. Çarpmanın toplama üzerine dağılım özelliği vardır.
 $a \cdot (b + c) = a \cdot b + a \cdot c$

Gerçel sayılar toplama ve çarpma işlemi altında bir alan oluştururlar. Tamsayılar kümesi 1'deki elemanların çarpmaya göre tersini içermediğinden alan değildir. Alanın eleman sayısı sonlu veya sonsuz olabilir. Toplam q tane eleman içeren sonlu alan veya Galois Alanı adı verilir ve $GF(q)$ ile gösterilir, p bir asal sayı ve m bir tamsayı olmak üzere her zaman bir $GF(p^m)$ vardır. Sonlu alanların en basit örneği asal alan $GF(p)$ 'dir.

Burada p , 1'den büyük herhangi bir asal sayı, toplama ve çarpma işlemleri ise mod p toplama ve mod p çarpma işlemleri olarak tanımlıdır. Örnek olarak Tablo 2'de $GF(7)$ üzerinde toplama ve çarpma işlemleri görülebilir.

Tablo 2. $GF(7)$ üzerinde toplama ve çarpma işlemleri

+	0	1	2	3	4	5	6	*	0	1	2	3	4	5	6
0	0	1	2	3	4	5	6	0	0	0	0	0	0	0	0
1	1	2	3	4	5	6	0	1	0	1	2	3	4	5	6
2	2	3	4	5	6	0	1	2	0	2	4	6	1	3	5
3	3	4	5	6	0	1	2	3	0	3	6	2	5	1	4
4	4	5	6	0	1	2	3	4	0	4	1	5	2	6	3
5	5	6	0	1	2	3	4	5	0	5	3	1	6	4	2
6	6	0	1	2	3	4	5	6	0	6	5	4	3	2	1

1.6.3. Galois Alanı Üzerinde Matematiksel İşlemler

$GF(q=p^m)$ alanı içinde matematiksel işlemlerin tanımı bir önceki bölümde verilmiştir, Hata düzeltilen kodların tasarımında ve gerçekleştirilmesinde $GF(q)$ üzerinde oluşturulan polinomlar ve bu polinomlar arasındaki matematiksel işlemler büyük önem taşımaktadır. Bu bölümde katsayıları $GF(q)$ 'nin elemanı olan polinomlar arasındaki matematiksel işlemlerin gerçekleştirilmesi ve $GF(q)$ 'nin oluşturulması açıklanacaktır.

Katsayıları $GF(2)$ 'nin elemanı olan polinomlar $f(X)$ ve $g(X)$ aşağıdaki biçimdedir.

$$f(X) = f_0 + f_1X + f_2X^2 + \dots + f_nX^n$$

$$g(X) = g_0 + g_1X + g_2X^2 + \dots + g_mX^m$$

Bu iki polinomun toplamı, $m < n$ olmak üzere

$$f(X) + g(X) = (f_0 + g_0) + (f_1 + g_1)X + \dots + (f_m + g_m)X^m + f_{m+1}X^{m+1} + \dots + f_nX^n \quad (1.3)$$

ifadesi ile belirlenir.

$f(X)$ ve $g(X)$ polinomlarının çarpımı ise aşağıdaki şekilde hesaplanabilir.

$$f(X) \cdot g(X) = c_0 + c_1X + c_2X^2 + \dots + c_{n+m}X^{n+m} \quad (1.4)$$

$$c_0 = f_0 \cdot g_0$$

$$c_1 = f_0 \cdot g_1 + f_1 \cdot g_0$$

$$c_2 = f_0 \cdot g_2 + f_1 \cdot g_1 + f_2 \cdot g_0$$

.

.

$$c_{n+m} = f_n \cdot g_m$$

Örneğin $f(X) = 1+X$, $g(X) = 1+X^2$ için ,

$$f(X) + g(X) = 1+X+X^2, f(X) \cdot g(X) = 1+X+X^2 \text{ olur.}$$

Tanım 2: $GF(2)$ üzerinde oluşturulan m . Dereceden $p(X)$ polinomu m 'den daha küçük dereceli polinomlara bölünemiyorsa $p(X)$ $GF(2)$ üzerinde azaltılamaz denir.

Tanım 3: $GF(2)$ üzerinde azaltılamaz $p(X)$ polinomunun böldüğü $X^n + 1$ polinomu için $n=2^m - 1$ ise $p(X)$ ilkel denir.

Örneğin $p(X) = X^4 + X + 1$ polinomu 4'ten daha az dereceli bir polinoma bölünemez ve bu nedenle $GF(2)$ üzerinde azaltılamaz polinomdur. $p(X)$, $X^{15} + 1$ i böler fakat $1=n=15$ olmak üzere başka bir X^n+1 polinomunu bölemez. Bu nedenle $p(X)$ ilkel bir polinomdur.

İlkel polinomlar için Galois Alanlarının oluşturulmasında kullanılırlar. Galois alanının oluşturulması için $GF(2)$ içinde α sembolü tanımlansın, öyle ki $\alpha \cdot 0 = 0$, $\alpha \cdot 1 = \alpha$ olsun. $p(\alpha) = 0$ olarak verilir[52]. Örnek olarak $p(X) = X^4 + X + 1$ polinomundan $GF(2^4)$ oluşturulsun.

$$p(\alpha) = \alpha^4 + \alpha + 1 = 0$$

$$\alpha^4 = \alpha + 1$$

$$\alpha^5 = \alpha \cdot \alpha^4 = \alpha \cdot (\alpha + 1) = \alpha^2 + \alpha$$

$$\alpha^6 = \alpha \cdot \alpha^5 = \alpha(\alpha^2 + \alpha) = \alpha^3 + \alpha^2$$

$$\alpha^7 = \alpha \cdot \alpha^6 = \alpha(\alpha^3 + \alpha^2) = \alpha^4 + \alpha^3 = \alpha + 1 + \alpha^3 = 1 + \alpha + \alpha^3$$

Bu ilişkiler $GF(2^4)$ 'ün tüm elemanları için tekrarlanırsa, her elemana bir polinom karşılık düşer. p_i , bir polinomun i . katsayısı olmak üzere, her eleman 4 bitlik $p_0 p_1 p_2 p_3$ vektörüyle de ifade edilebilir. Tablo 3 te $GF(2^4)$ 'ün tüm elemanlarının polinomsal ve vektörel gösterimleri verilmiştir.

Tablo 3. $GF(2^4)$ 'ün elemanlarının farklı gösterili leri

Eleman	Polinomsal Gösterim	Vektörel Gösterim	Ondalık Gösterim
0	0	0000	0
1	1	0001	1
α	α	0010	2
α^2	α^2	0100	4
α^3	α^3	1000	8
α^4	$\alpha + 1$	0011	3
α^5	$\alpha^2 + \alpha$	0110	6
α^6	$\alpha^3 + \alpha^2$	1100	12
α^7	$\alpha^3 + \alpha + 1$	1011	11
α^8	$\alpha^2 + 1$	0101	5
α^9	$\alpha^3 + \alpha$	1010	10
α^{10}	$\alpha^2 + \alpha + 1$	0111	7
α^{11}	$\alpha^3 + \alpha^2 + \alpha$	1110	14
α^{12}	$\alpha^3 + \alpha^2 + \alpha + 1$	1111	15
α^{13}	$\alpha^3 + \alpha^2 + 1$	1101	13
α^{14}	$\alpha^3 + 1$	1001	9

$GF(2^4)$ 'ün herhangi iki elemanının çarpımı 1.4. e itli iyle bulunabilece i gibi elemanların kuvvetleri mod 15'e göre toplanarak da bulunabilir. Örne in $\alpha^8 \alpha^{13} = \alpha^{21} = \alpha^6$ olur. ki elemanı bölmek için bölenin çarpmaya göre tersi bölünenle çarpılır. α^i 'nin çarpmaya göre tersi α^{15-i} oldu undan, örne in

$$\frac{\alpha^6}{\alpha^{14}} = \alpha^6 \alpha^{15-14} = \alpha^6 \alpha = \alpha^7 \text{ olur.}$$

$GF(2^4)$ 'ün iki elemanının toplamı, elemanların polinomsal gösterilimi ve 1.3. e itli inden yararlanılarak bulunabilece i gibi vektörel XOR i lemi ile de hesaplanabilir.

Örne in, $\alpha^6 + \alpha^9 = (0011) \oplus (1101) = (1110) = \alpha^{10}$ olur.

Katsayıları gerçel sayılar olan bir polinomun sanal kökleri olması gibi, katsayılar $GF(2)$ 'den alınan bir polinomun kökleri $GF(2^m)$ 'den olabilir. Örneğin $p(X)=X^4+X^3+1$, $GF(2)$ üzerinde azaltılamaz bir polinomdur. $p(0)=p(1)=1$ olduğundan $p(X)$ 'in $GF(2)$ de bir kökü yoktur. Fakat $GF(2^4)$ 'ün elemanı olan $\alpha^7, \alpha^{11}, \alpha^{13}, \alpha^{14}$ $p(X)$ 'in kökleridir ve bunlar,

$$p(\alpha^7) = p(\alpha^{11}) = p(\alpha^{13}) = p(\alpha^{14}) = 0$$

$$p(X) = (X + \alpha^7)(X + \alpha^{11})(X + \alpha^{13})(X + \alpha^{14})$$

olarak belirlenir.

Teorem 1: $f(X)$, $GF(2)$ üzerinde tanımlı bir polinom, $\beta \in GF(2^m)$ olmak üzere, e er β $f(X)$ 'in kökü ise $i = 0$ için β^{2^i} de $f(X)$ 'in bir köküdür[53].

Tablo 4. $GF(2^4)$ 'ün elemanlarının minimal polinomları

Eleman	Minimal Polinom
0	X
1	$X + 1$
$\alpha, \alpha^2, \alpha^4, \alpha^8$	$X^4 + X + 1$
$\alpha^3, \alpha^6, \alpha^9, \alpha^{12}$	$X^4 + X^3 + X^2 + X + 1$
α^5, α^{10}	$X^2 + X + 1$
$\alpha^7, \alpha^{11}, \alpha^{13}, \alpha^{14}$	$X^4 + X^3 + X + 1$

Tanım 4: E er $\Phi(X), \Phi(\beta) = 0$ ko ulunu sa layan minimum dereceli polinom ise $\Phi(X)$ 'e β 'nin minimal polinomu denir. $GF(2^4)$ 'ün elemanlarının minimal polinomları Tablo 4'te verilmiştir.

Galois Alanının yukarıda belirtilen özellikleri hata düzelten kodların tasarımında, kodlama ve kod çözme amaçlarında kullanılmaktadır. Kodlama ve kod çözme sırasında kullanılacak bütün denklemlerin katsayıları $GF(2^m)$ 'in elemanı olup e itliklerin çözülmesinde Galois Alanı içinde tanımlı i lemler kullanılacaktır.

1.7. Kanal Kodlama Teknikleri

Sayısal iletişim sistemlerinde kullanılan kanal kodlama teknikleri bilgiyi, gürültü ve diğer bozucu etkenlerden korumak ve bit hata oranını düşürmek için kullanılır. Kodlama tekniğinde en büyük kaygı, güvenilir bir iletişim sağlayabilmek için hataların kontrolünün sağlanmasıdır. Kanal kodlama, genellikle gönderilecek bilgiye belirli bir seçicilikle artık bitler eklenerek gerçekleştirilir. Bu artık bitler hataların algılanmasına ve düzeltilmesine olanak verir ve daha güvenilir bir bilgi akışı gerçekleştirir. Bilgiyi korumak için kullanılan kanal kodlamanın kullanıcıya maliyeti, veri hızında bir azalma veya bant genişliğinde istenmeyen bir artıdır.

Kodlama tekniklerinden bahsetmeye başlamadan önce birkaç tanımdan söz etmek gerekir. Bir kodun Hamming ağırlığı, kod kelimesinin içerdiği belirli bitlerin sayısıdır. d ile gösterilen, iki kod arasındaki Hamming mesafesi ise, aynı bit pozisyonundaki farklı belirli bitlerin sayısı olarak tanımlanmaktadır. Minimum Hamming mesafesi (d_{mi}) de, bir kod içindeki iki kod kelimesinin arasındaki minimum Hamming mesafesini ifade eder. Bir kodun ağırlık dağılımı veya mesafe spektrumu, mümkün olan her ağırlıktaki kod kelimelerinin sayısıdır.

Kanal kodlama teknikleri başlıca dört ana başlık altında incelenebilir: Blok kodlar, konvolüsyonel kodlar, ardışıl kodlar ve turbo kodlar.

1.7.1. Blok Kodlar

Blok kodlar, yeniden iletme gerek kalmadan, sınırlı sayıdaki hatanın algılanmasına ve düzeltilmesine olanak sağlar. Bir blok kod, k adet ikili giriş sembolünü, n adet ikili çıkış sembolüne dönüştürür. Blok kodlayıcı hafızasız bir birimdir. Yani kod kelimesi içindeki her bit, bir önceki bittenden bağımsızdır. $n > k$ olduğundan dolayı, seçilen kod, kod kelimesi uzunluğunda bir artıya sebep olacaktır. Bu artık bitler, ekleme bitlerinde olduğu gibi, kod çözücü tarafından hata algılanmasında ve düzeltilmesinde kullanılacaktır. Kod hızı $R = k/n$ şeklinde tanımlandığında, kodlar da (n, k) şeklinde gösterilir. Kod hızı R 'nin pratikteki değeri $1/2$ ile $7/8$ arasında değişmektedir. Blok kodların hata düzeltme kapasitesi kod mesafesinin bir fonksiyonudur. Blok kodları başlıca özellikleriyle sınıflandırılırlar.

Do rusallık: Bir kodun do rusal oldu unu söyleyebilmemiz için, kodda ki iki kod kelimesinin toplamının ba ka bir kod kelimesi olu turması gerekir. Do rusal bir kod, tümü sıfır olan bir kod kelimesi içermelidir.

Sistematiklik: Sistematik kod, e lik bitlerinin bilgi bitlerinin sonuna eklendi i bir koddur. Gönderilen datayı alıcı aynı formda içerir. Dolayısı ile ses yada görüntü türünden sistemler için alıcı kod çözme i lemi devre dı ı bırakılabilir.

Cyclic: Cyclic kodlar, blok kodlar ailesinin bir üyesidir. Bir kodun cyclic olabilmesi için kod kelimesi bir bit sa a kaydırıldı nda ve en sa dan dü en bit sol ba a eklendi inde yeni bir kod kelimesi olu ması gerekir.

kili aritmetikte, modül - 2 toplama ve çıkartma kullanılmaktadır. Bu aritmetik gerçekte, 2'nin 0 olarak dü ünülmesi hariç, bilinen aritmetikle aynıdır.

Pratikte Hamming kodları, Hadamard kodları, Golay kodları, Cyclic kodlar, BCH kodları ve Reed-Solomon kodları gibi blok kodlarla sıklıkla kar ıla ılmaktadır. Burada bunların dört tanesinden bahsedelim.

Hamming kodlar: Hamming kodlar ilk önemli hata düzeltme kodları arasındadır[5]. kili ve ikili olamayan kodlara sahiptir. kili bir Hamming kod u özelli e sahiptir.

$$(n, k) \geq (2^m - 1, m - 2m + 1) \quad (1.5)$$

Burada k, n bitlik kod kelimesi olu turmak için kullanılan bilgi bitleri sayısı ve $m \geq 2$ 'dir.

E lik sembollerinin sayısı $m = n - k$ 'dir. Örne in, $m = 3$ ise $(7, 4)$ bir koda sahibiz demektir.

Bu ikili kodların minimum mesafesi 3'tür. Blok içindeki tek bir hatayı düzeltme veya iki yada daha az sayıdaki hataların bütün kombinasyonlarının algılama yetene ine sahiptir[6].

Golay kodları: Golay kodlar minimum mesafesi 7 olan do rusal, ikili (23,12) kodlardır. (23,12)'lik koda bir e lik biti eklenerek geni letilmi Golay kodu (24,12) elde edilir. (24,12)'lik bir kodun minimum mesafesi 8'dir. (23,12) Golay kodun ve geni letilmi (24,12) Golay kodun a ırlık da ılımı bilinmektedir[7]. Geni letilmi Golay kodlar, Hamming kodlara göre oldukça güçlüdür. Geni letilmi Golay kod üç hatayı düzeltme garantisi verir.

Bose – Chaudhuri – Hocquenghem (BCH) kodlar: BCH kodlar en önemli blok kodlar arasındadır. Çünkü geni bir data hızı aralığına sahiptir ve önemli kodlama kazançlarına ulaşabilmektedir. Ayrıca yüksek hızlarda da uygulanabilmektedir[7]. BCH kodlar, Hamming kodların birden çok hata düzeltimine imkan veren genelleştirilmiş bir ekliidir. Kodun blok uzunluğu $n = 2^m - 1$ 'dir ($m \geq 3$). Düzeltilebilecek hata sayısı t ile sınırlanmıştır. Burada $t < \left\lfloor \frac{(2^m - 1)}{2} \right\rfloor$ 'dir. İkili olmayan BCH kodların en önemli ve yaygın sınıfı Reed-Solomon kodları olarak bilinen kod ailesidir. (63,47) Reed-Solomon kodu kullanan U.S. Hücresel Sayısal Paket Veri (Cellular Digital Packet Data (CDPD)) sistemi, kod sembolü başına altı bit kullanır ($m = 6$) [3].

Reed – Solomon kodları: Reed – Solomon kodları BCH kodunun özel bir sınıfı olup ikili olmayan bir setten oluşur. Reed – Solomon kodlar ardışıl hataları düzeltme yeteneğine sahiptir ve genellikle ardışıl kodlama sistemlerinde kullanılırlar. Kodun minimum mesafesi[6] $d_{\min} = n - k + 1$ 'dir. Burada k kodlanacak data sembol sayısı, n ise kodlanan bloktaki toplam sembol sayısıdır. Bu kod t veya daha az sayıdaki sembol hatasının bütün kombinasyonlarını düzeltebilecek kapasitededir. Burada $t = \left\lfloor \frac{(n - k)}{2} \right\rfloor$ 'dir. Buradan t adet hatayı düzeltmek için kullanılacak ek sembollerinin sayısı $n - k = 2t$ olarak bulunur.

1.7.2. Konvolüsyonel Kodlar

Blok kodların kullanımıyla performans bakımında önemli bir artış elde edilmesine rağmen, blok kodların kendi içyapısından kaynaklanan birkaç dezavantaja sahip olması nedeniyle, bu tür kanal kodlama tekniğinin iletişim sistemlerinin tasarımında kullanılması sıkıntı meydana getirmektedir.

1. Blok kodlar çerçeve uyumlu olması nedeniyle kod çözme işlemi başlamadan önce iletilen bütün blokların alıcı tarafından alınması gerekmektedir. Bunun sonucunda, özellikle büyük blok uzunluklarında sistemde tahammül edilemeyecek bir gecikme oluşmaktadır.

2. Blok kodlar, kesin (çok iyi) bir çerçeve senkronizasyonuna gerektirmektedir.

3. Blok kodlarda kullanılan kod çözücüler, sıfır-bir kararına dayalı olarak çalışmaktadır. Sıfır-bir kararına dayalı olarak çalışan kod çözücülerde, kanal çıkışında alınan bilgi ikili düzende (0 veya 1) olmasına rağmen, yumuşak-tahminli kod çözücülerde kanalın çıkışında alınan bilgi sürekli (reel) bir değer olacaktır. Oysa Shannon tarafından tanımlanan teorik performans sınırına ulaşabilmek için sürekli değerlerde kanal çıkışına ihtiyaç duyulmaktadır. Bu nedenden dolayı, genel olarak blok kodlar, iyi kanallarda etkileyici bir performans oranı yakalamasına rağmen, güç tüketiminde verimli olmadıkları için iletişim/gürültü oranının düşük olduğu durumlarda kötü bir performans sergilemektedir. Yalnız unutulmamalıdır ki, blok kodların düşük iletişim/gürültü oranı değerlerinde kötü bir performans sergilemesi, blok kodların kendi yapılarından dolayı değil de daha çok bu kodların kod çözme işleminde kullanılmadığı sıfır-bir kararına dayalı olarak çalışan kod çözücülerden kaynaklanmaktadır. Gerçekte, blok kodlarda yumuşak-tahminli kod çözücüler kullanma, olası bir ihtimal olmasına rağmen, iletişim karmaşıklığının artacağı düşünüldüğünden dolayı tercih edilmemektedir.

Blok kodların dezavantajlarından, kodlama için farklı bir yaklaşım olan ve ilk kez 1955'te Elias tarafından ileri sürülen konvolüsyonel kodların ele alınması ile kaçınılmazdır [8]. Konvolüsyonel kodlar günümüzde kullanımı yaygınlaşmış güçlü kodlar olup giriş bilgisi bloklar halinde gruplanmayıp, bir kaç tane giriş bilgisi üzerinden koda özgü fonksiyonlar kullanarak katlanması ile kodlanmaktadır.

Bir başka deyişle konvolüsyonel kodlar, veri bitlerinin sonlu duruma sahip dörsal kaydırmalı kaydedicilerden geçirilerek iletilmesi ile oluşmaktadır. Bu özelliği sayesinde konvolüsyonel kodlarda, hem blok kodlarda olduğu gibi veri bloğunun hazır olup olmaması gibi bir sorunla karşılaşmamakta hem de blok kodlara oranla konvolüsyonel kodlarda kodlama işlemi daha kısa bir süre içerisinde gerçekleştirilmektedir. Genel olarak konvolüsyonel kodlayıcının çıkışındaki n adet çıkış biti, k adet giriş bitinin, kaydırmalı kaydediciler içerisinde saklanan m adet bit ile dörsal kombinasyonu sonucunda elde edilmektedir. Bu durumda kodlayıcı hızı $R = k/n$ olmaktadır. Her bir çıkışın başlı olduğu bitlerin toplam sayısı, sınır uzunluğu, K , olarak adlandırılmaktadır. Ayrıca, konvolüsyonel kod çözücüde kullanılan algoritma tamamen demodülatör çıkışındaki yumuşak bilgiye dayalıdır.

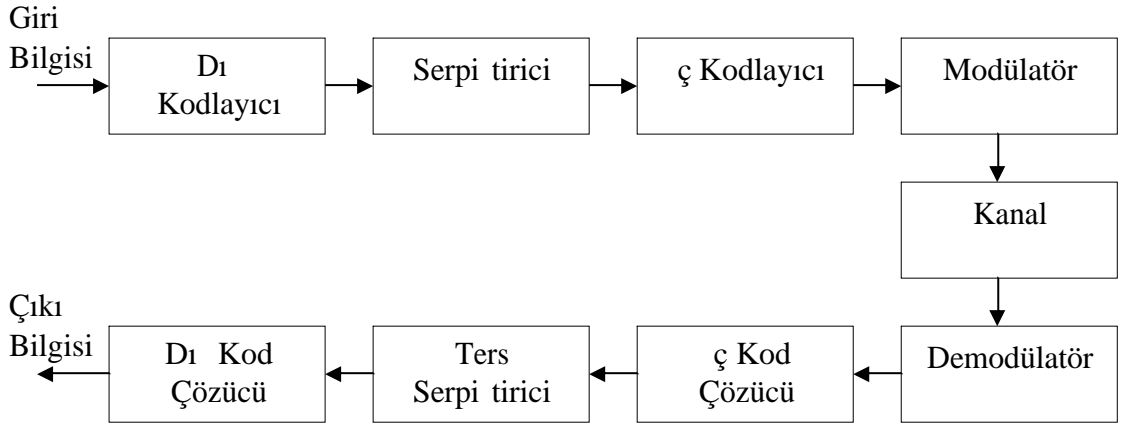
İlk pratik kod çözücü algoritması 1961’de Wozencraft ve Reiffen’in [9] tarafından geliştirilmiştir. Bu algoritma daha sonra 1963’te Fano [10] ve 1969’da Jelinek [11] tarafından geliştirilmiştir. Yalnız bu algoritma, kodlamada büyük bir başarı sağlamasına rağmen 1967 yılında ortaya çıkan Viterbi algoritması [12] ile popülerliğini kaybetmiştir. Günümüzde Viterbi algoritması konvolüsyonel kodlar için optimum çözümü temsil etmektedir.

Viterbi algoritmasının keşfinden sonra konvolüsyonel kodlayıcılar, iletişiminde geniş bir uygulama alanı bulmuştur. Sınır uzunluğu $K = 5$, kod oranı $r = 1/2$ ve $r = 1/3$ olan “Odenwalder” konvolüsyonel kodu ticari uydular arası iletişim uygulamalarında bir standart olmuştur [13]. “Voyager” ve “Pioneer” gibi birkaç konvolüsyonel kod derin uzay araçlarında kullanılmıştır [14]. Benzer şekilde, ikinci nesil tüm sayısal hücresel standartlar konvolüsyonel kodları kullanmaktadır. GSM, $r = 1/2$, $K = 5$ konvolüsyonel kod [3], Globalstar $r = 1/2$, $K = 9$ konvolüsyonel kod, Iridium $r = 3/4$, $K = 7$ konvolüsyonel kod [15] kullanmaktadır. Ayrıca, şu anda üzerinde çalışılan üçüncü nesil standartlarının belli bir kısmında konvolüsyonel kodlama tekniinden yararlanılmaktadır.

1.7.3. Ardıll Kodlar

Konvolüsyonel kodlar günümüzde, sıkça kullanılan bir kodlama tekni olması nedeniyle blok kodlardaki kadar çok olmasa da önemli bir dezavantaja sahiptir. Konvolüsyonel kodlar, hata patlaması (ardarda hatalı bitlerin gelmesi) olması durumunda istenilen düzeyde bir performans sergileyememektedir. Bu dezavantajı ortadan kaldırmak için yapılan çalışmalar sonucunda, 1966 yılında David Forney tarafından [16], ardıll kod olarak adlandırılan yeni bir kodlama tekniği tasarlanmıştır. Ardıll kodlar, iki veya daha fazla basit kodlayıcının yüksek kod kazancına ulaşmak için birleşiminden ibarettir.

Ardıll kodlar, istenen hata performansına ulaşmak için, bir iç ve dış kod olmak üzere iki seviyeli kod kullanırlar. Şekil 4’de basit bir ardıll kod yapısı görülmektedir. Bu şekilde, kodlama ve kod çözme sırası da belirtilmektedir. İç kod genellikle kanal hatalarının çoğunu düzeltmek için tasarlanır. İç kod bloğunun çıkışında oluşabilecek bir ardıll hatayı yayabilmek için, iç ve dış kod arasında bir serpiştirici bloğu yerleştirilmiştir.



ekil 4. Basit bir ardı ıl kod yapısı

Tipik örnekler, bize iç kodun daha güçlü ve dü ük kod hızlı tasarlandı ını, dı kodun ise daha yüksek kod hızına sahip oldu unu göstermektedir[17]. Massey[18], katlamalı kodların, kanal durum bilgisini ve yumu ak karar bilgisini kanaldan kolayca elde edebilece ini belirterek bu kodun kod çözm e i leminin ilk adımı olması gerekti ini belirtmi tir. Reed – Solomon kodları Viterbi kod çözücüd en artan hataları temizlemek için kullanılır. Viterbi ve Reed – Solomon kodları birbirini çok iyi tamamlayan kodlardır.

Viterbi kod çözücüyü iç kod, Reed – Solomon’u dı kod olarak kullanan ardı ıl kodlama sistemlerinden en popüler olanlarından biri, iki kod adımı arasında serpi tirici kullanan sistemdir[13]. Bu sistemin uygulanmasıyla 2 ila 2.5 dB’lik E_b / N_0 oranı için $p = 10^{-5}$ ’lik bir hata olasılı ına ula ılmı tır ki bu Shannon sınırından sadece 4 dB uzaktadır. Bu özellik, ardı ıl sistemlerin, derin uzay görevlerinde, NASA ve ESA’nın Uzay Bilgi Sistemleri için Danı ma Komiteleri tarafından seçilmesinin nedenlerinden biridir[19].

Ardı ıl kodları, kısa kodlardan uzun kodlar olu turma metodu olarak özetleyebiliriz. Bu yapı, kod çözümü için uzun kodların karma ık kod çözm e algoritmalarına gerek duymayan uzun blok kod yapımını do urmu tur.

1.7.4. Turbo Kodlar

Kodlama kuramında, son yılların belki de en ilginç ve en önemli olayı turbo kodların keşfidir [20]. Turbo kodlar, 1993 yıllarının başlarında önerilen ve hata baskınlığının Shannon limit değerlerine yaklaşmasına neden olan çığırda kodlama tekniğidir. Bu kodlama tekniği, Berrou, Glavieux ve Thitimajshima tarafından ortaya atılmıştır [20]. Bu üç bilim adamı yaptıkları çalışmaları sonucunda, 10^{-5} bit hata olasılığı (*probability of bit error* – P_e) için sinyal/gürültü oranını 0.7 dB bulmuşlardır. Ortaya çıkardıkları bu yeni kod türünde kodlayıcı, bir tane serpi tirciyle iki tane özyinelemeli sistematik konvolüsyonel kodlayıcının (RSC) paralel olarak bağlanmasıyla oluşmaktadır. Serpi tirci, bilgi kaynağının ürettiği L uzunluklu bilgi bloklarında simgelerin yerini değiştirerek ikinci özyinelemeli sistematik kodlayıcı için özgün L uzunluklu bilgi dizisi oluşturur. Ayrıca kodlama genelinde kod oranı $1/3$ olmasına rağmen, delme işlemiyle kod oranını, $1/2$ 'den küçük olmakla birlikte, daha yüksek oranlara yükseltmek mümkündür. Konvolüsyonel kodlarda maksimum olasılıkla elde edilmesi için kullanılan Viterbi algoritması, serpi tircilerden dolayı hesap karmaşıklığının artmasına neden olduğundan bu kodda kullanılmamıştır. Bu nedenden dolayı kod çözücünde Bahl algoritmasından yararlanılmıştır.

1994 yılında, P. Robertson [21] ve Hagenauer [22], turbo kodlar hakkında çok ilginç bir görüş sunarak, turbo kodlarda işlem karmaşıklığını önemli ölçüde azaltan yeni bir Bahl algoritmasını ortaya koymuştur. 1996 yılında S. Benedetto ve G. Montorsi turbo kodların yapısına açıklık kazandırmıştır [23], [24] ve aynı yıl içerisinde L. Perez ortaya koyduğu “Spectral Thinning” adlı teoremiyle turbo kodların anlaşılmasına katkıda bulunmuştur. Yaptıkları analizler, turbo kodların, daha önceleri bilinen çeşitli kavramların üzerine inşa edilen zekice bir tasarım sonucu ortaya çıktığını göstermiştir [23].

Ne yazık ki, günümüze kadar turbo kodları teorik olarak açıklayan pek fazla çalışma bulunmamaktadır. Ancak, turbo kodlara farklı açılardan zenginlik kazandırmak için bir çok simülasyon çalışmasına ihtiyaç vardır.

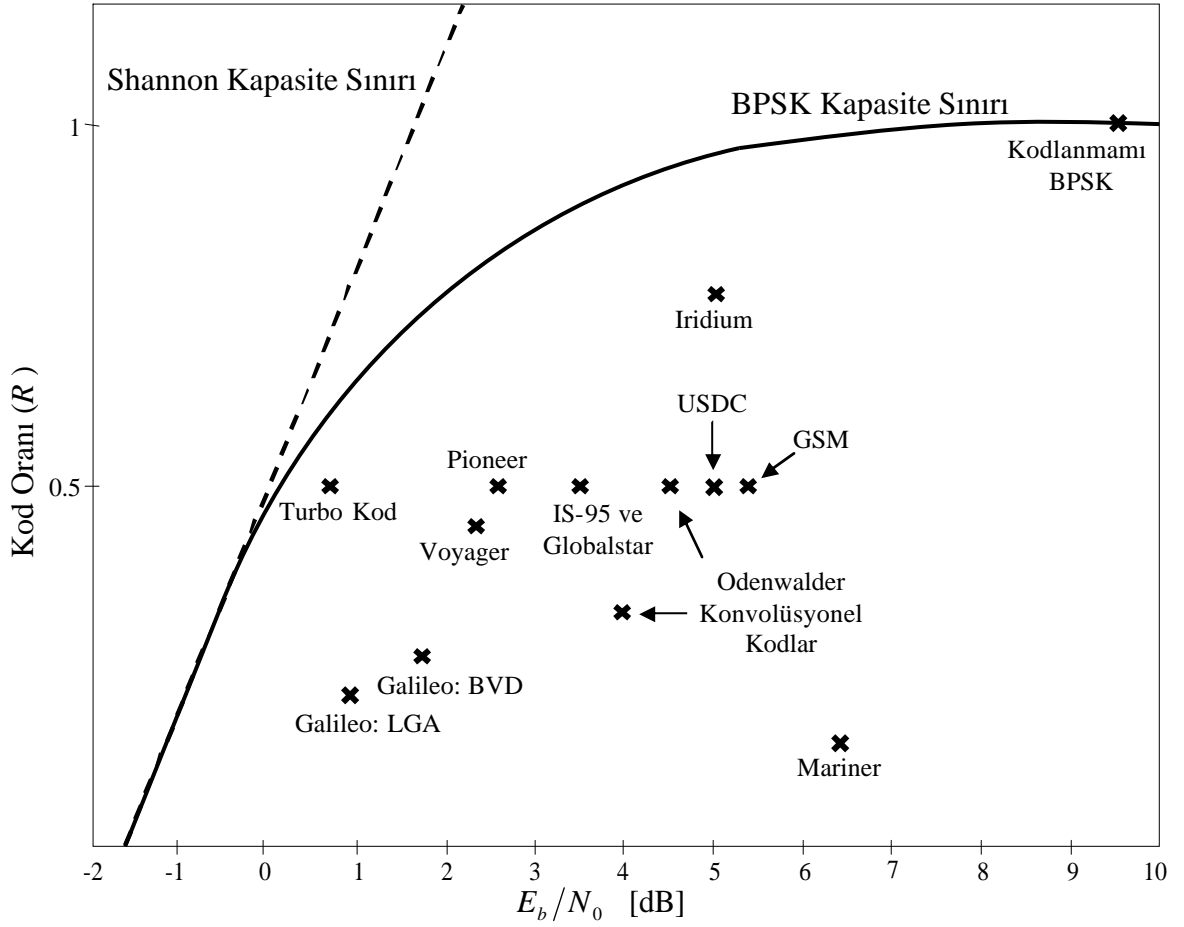
1.7.5. Kodlama Sistemlerinin Karşılaştırılması

Şekil 5'de birçok uygulama alanında kullanılmı olan sistemlere ve standartlara ait hata düzeltme kodlarının performans karşılaştırılması görülmektedir.

Burada, x-ekseni güç verimliliğini temsil etmekte ve bit başına düşen enerjinin tek taraflı güç yoğunluğuna oranı, E_b/N_0 , ekseninde ifade edilmektedir. Benzer şekilde y-ekseni ise spektral verimliliği temsil etmekte ve kod oranı, R , ile ifade edilmektedir. İletim ortamının, toplanır beyaz Gauss gürültülü (AWGN) kanal olduğu varsayılmaktadır.

Şekil 5 üzerindeki her bir noktanın, kullanılan modülasyon türünün ikili faz kaydırmalı anahtarlama (BPSK) ve bit-hata oranının (BER) $P_e = 10^{-5}$ olması durumunda elde edildiği farz edilmektedir. “Shannon Kapasite Sınırı” olarak adlandırılan enerji, kod oranı fonksiyonuna bağlı olarak gerçekleştirilebilir bir iletişim sağlamak için gerekli olan minimum E_b/N_0 'ı ifade etmektedir. Yalnız kullanılan modülasyon türü BPSK olmasından dolayı gerçek sınır, “BPSK Kapasite Sınırı” olarak adlandırılan enerjidir.

BPSK modülasyonunda, herhangi bir hata düzeltme kodlaması kullanılmadığı zaman $P_e = 10^{-5}$ elde etmek için $E_b/N_0 = 9.6$ dB'ye ihtiyaç vardır. Eğer herhangi bir kodlama tekniği kullanılmı olsaydı, gerekli olan E_b/N_0 değeri azalacaktı. Fakat bunun akabinde, spektral verimlilikte bir azalma ve alıcının karmaşıklığında bir artış gözlenecekti. Kodlama tekniği kullanıldığı zaman istenilen P_e değerini elde etmek için gerekli olan E_b/N_0 değeri ile kodlanmamı BPSK'da istenilen P_e değerini elde etmek için gerekli olan E_b/N_0 değeri arasındaki fark, kodlama kazancı olarak adlandırılmaktadır.



ekil 5. AWGN kanalda hata düzeltme kodlaması ve BPSK modülasyonu kullanan bazı sistem ve standartların karşılaştırılması [25].

ekil 5’de gösterilen en eski kod, 1969’da Mars’ta Mariner Görevi’nde kullanılan (36, 6) Reed-Muller kodudur. Bu kod 3.6 dB’lik bir kodlama kazancı sağlamasına rağmen, kod oranı sadece $R = 0.1875$ idi. Bununla birlikte, o kadar önemli bir kodlama kazancı olarak görülmesine rağmen, o zamanlarda her bir dB’lik kodlama kazancı sistem maliyetinde yaklaşık \$1,000,000 Amerikan Doları kadar bir azalmaya neden olmaktaydı [15]. Pioneer 10 (1972 - 1973 Jüpiter), Pioneer 11 (1973 - 1977 Satürn), Pioneer 12 (1978 Venüs) görevlerinde, Mariner görevine oranla daha iyi bir kodlama kazancı elde edilmiştir. Pioneer görevlerinde, kod oranı $R = 1/2$ ve sınır uzunluğu $K = 32$ olan konvolüsyonel kod kullanılarak, 6.9 dB’lik kodlama kazancına ulaşılmıştır.

ekil 5’de gösterilen sistemlerin çoğu, konvolüsyonel kodları kullanmaktadır. Sınır uzunluğu $K = 7$ ve kod oranları $R = 1/2$ ve $R = 1/3$ olan Odenwalder kodları birçok uydu haberleşme uygulamasında kullanılmaktadır.

Kod oranı $R = 1/2$ olan Odenwalder kodu, 5.1 dB'lik bir kodlama kazancı sağlarken, kod oranı $R = 1/3$ olan Odenwalder kodu, 5.6 dB'lik bir kodlama kazancı sağlamaktadır. GSM standardında sınır uzunluğu $K = 5$, USDN standardında sınır uzunluğu $K = 6$ ve IS - 95 standardında ise sınır uzunluğu $K = 9$ olan konvolüsyonel kodlar kullanılarak sırasıyla 4.3 dB, 4.6 dB ve 6.1 dB'lik kodlama kazançları elde edilmiştir [26]¹. Globalstar'da kullanılan kod, IS - 95 standardında kullanılan kod ile özdeş olup aynı kodlama kazancını verirken, Iridium'da sınır uzunluğu $K = 7$ ve kod oranı $R = 3/4$ olan konvolüsyonel kodlayıcı kullanılarak 4.6 dB'lik kodlama kazancı elde edilmiştir. Büyük Viterbi Kod Çözücüsü (*Big Viterbi Decoder-BVD*), Jüpiter'deki Galileo görevinde kullanılmak üzere tasarlanmış bir sistem olup, bu sistemde sınır uzunluğu $K = 15$ ve kod oranı $R = 1/4$ olan konvolüsyonel kod kullanılarak 7.9 dB'lik kodlama kazancı sağlanmıştır [27].

Voyager görevlerinde (Voyager 1-2, 1979, Jüpiter, Satürn, Uranüs, Neptün) kullanılan sistemde, kod oranı $R = 1/2$ olan Odenwalder kodunun ve ($k = 223$, $t_e = 16$, $q = 2^8$, $n = 255$) Reed-Solomon kodunun seri bir biçimde bağlanması sonucunda elde edilen ardışıl kod kullanılmıştır [15]. Kod hızı $R = 0.44$ olan bu sistemde 7.1 dB'lik bir kazanç elde edilmiştir. Ayrıca, Jüpiter'deki Galileo görevinde kullanılan sistemde, konvolüsyonel kod ile ($q = 2^8$, $n = 255$, $k = 223$, $t_e = 16$) Reed-Solomon kodları arasında bir serpi tiriçi yerle tirmek suretiyle elde edilen bir ardışıl kod türü kullanılmıştır. Bu ardışıl kod ile konvolüsyonel kodlayıcının doğal yapısından ötürü ortaya çıkan hata patlamalarına karşı önlem alınmaya çalışılmıştır.

Aynı zamanda ekil 5'de, orijinal turbo koda özgü performans da gösterilmektedir [28]. ekilden de görüldüğü gibi turbo kod, diğer kodlara oranla BPSK kapasite sınırına oldukça yakındır. Ayrıca, turbo kodda kullanılan kod çözücü ile BVD kodda kullanılan kod çözücü aynı karmaşıklığa sahiptir [29].

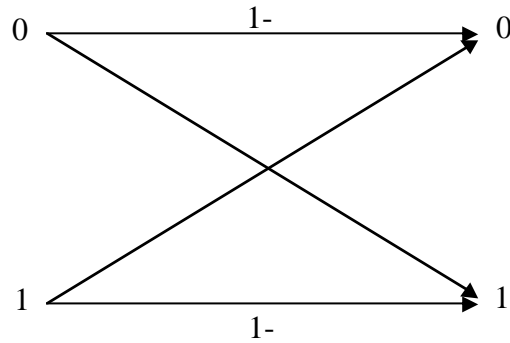
¹ Bu standartlar, normal koşullar altında BPSK modülasyonunu kullanmamaktadır. ekil 5'de gösterilen performans noktaları, sistemlerde kullanılan gerçek kodların sonucunda elde edilmesine rağmen, performans kıyaslaması yapabilmek için tüm veri noktalarının, BPSK modülasyonunun kullanımı sonucunda elde edildiği varsayılmaktadır.

1.8. Kablosuz Kanal Modelleri

1.8.1. İkili Simetrik Kanal

İkili simetrik kanal (*binary symmetric channel-BSC*), ayrık hafızasız kanalın (*discrete memoryless channel - DMC*) özel bir türünü oluşturmaktadır. BSC, ayrık giri ve çıkımlara sahip olmasından dolayı, belirli bir andaki çıkım sadece o andaki girişe bağımlı olup kanalın önceki giriş veya çıkımlarından bağımsızdır [30], [31].

BSC’de, “0” bilgi biti gönderildiği zaman ikili simetrik kanalın girişinde bilgi bitinin “1” olarak alınma olasılığı $1 - p$ ile ifade edilirse, bilgi bitinin “0” olarak alınmama olasılığı p olarak tanımlanabilir. Benzer şekilde, kanalın simetrik olmasından dolayı, gönderilen bilgi bitinin “1” olması durumunda kanalın girişinde bilgi bitinin “0” olarak alınma olasılığı p ile ifade edilirse, bilgi bitinin “1” olarak alınmama olasılığı $1 - p$ olarak tanımlanabilir. Şekil 6’da bu durum gösterilmektedir.

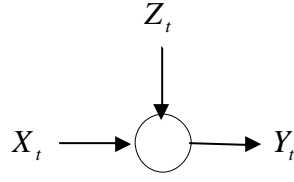


Şekil 6. İkili simetrik kanal modeli

1.8.2. Toplanırlı Beyaz Gauss Gürültülü Kanal

Toplanırlı beyaz Gauss gürültülü (AWGN) kanal, iletişim sistemlerinin modellenmesinde oldukça sık kullanılan bir kanal türüdür. AWGN kanalında, iletilen işaretler Gauss dağılımına sahip gürültü tarafından bozulmaktadır. Şekil 7’de de görüldüğü gibi, t anında kanalın çıkımını Y_t , girişini de X_t olarak tanımlarsak, kanalın çıkımını aşağıdaki gibi ifade edebiliriz[32].

$$Y_t = X_t + Z_t \quad (1.6)$$



ekil 7. AWGN kanal modeli

Burada Z_t , sıfır-ortalamalı Gauss gürültüsünü temsil etmekte ve olasılık da ılım fonksiyonu $p(z)$ ile tanımlanmaktadır.

$$p(z) = \frac{1}{\sqrt{2\pi\sigma^2}} e^{-\frac{z^2}{2\sigma^2}} \quad (1.7)$$

Varyans, σ^2 , gürültü ve i aretin birbirinden ba ımsız oldu u dü ünülerek, gürültü tayfının gücü cinsinden

$$\sigma^2 = \frac{N_0}{2} \quad (1.8)$$

ifade edilmektedir.

1.8.3. Yava Sönümlü Dar Bantlı Rayleigh Kanalı

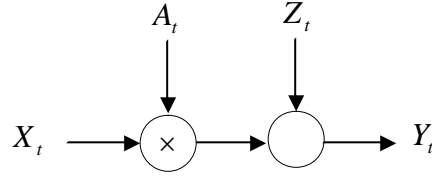
Kablosuz haberle medeki birçok uygulamada kanallar, AWGN kanala oranla daha karma ık bir yapıya sahiptir. Bu karma ıklı a sebep olan en büyük etken bayılımadır[33]. Bayılma, gönderilen i aretin kanal içerisinde yayılımı sırasında meydana gelmektedir. Kablosuz ileti im sisteminde, gürültü nedeniyle bir bozulma olmadı ı varsayılsa bile, gönderilen i aret çok-yollu yayılımdan, atmosferik olaylardan vb. etkenlerden dolayı git gide zayıflayacaktır. Örne in, bir gök dalgası iyonosferden topra a dönüp, sonra yansıyarak tekrar iyonosferde kırıldıktan sonra antene ula ıyor.

Aynı zamanda başka bir gök dalgası iyonosferden kırılarak alıcı antene ulaşıyorsa, faz farkından dolayı alıcıda alınan işaretin gücünde zaman içerisinde artma veya azalma yani bir dalgalanma meydana gelir.

Şekil 8'de de görüldüğü gibi yavaş sönmürlü Rayleigh kanalında, t anında kanalın girişi X_t ve çıkışı Y_t olarak adlandırılır ise, Y_t ve X_t arasındaki ilişki denklem (1.9) yardımıyla ifade edilebilir.

$$Y_t = A_t \cdot X_t + Z_t \quad (1.9)$$

Burada Z_t , sıfır ortalamalı toplanır beyaz Gaussian gürültüsünü temsil etmekte ve gürültü varyansı $\sigma^2 = N_0/2$ şeklinde hesaplanmaktadır.



Şekil 8. Yavaş sönmürlü dar bantlı Rayleigh kanal modeli

A_t ise, Rayleigh dağılımına sahip rastgele bir deyimlenim kanalı kazanç veya bayılma katsayısı

$$p_A(a) = 2ae^{-a^2}, \quad a \geq 0 \quad (1.10)$$

olarak adlandırılmaktadır.

1.9. Serpi tirici

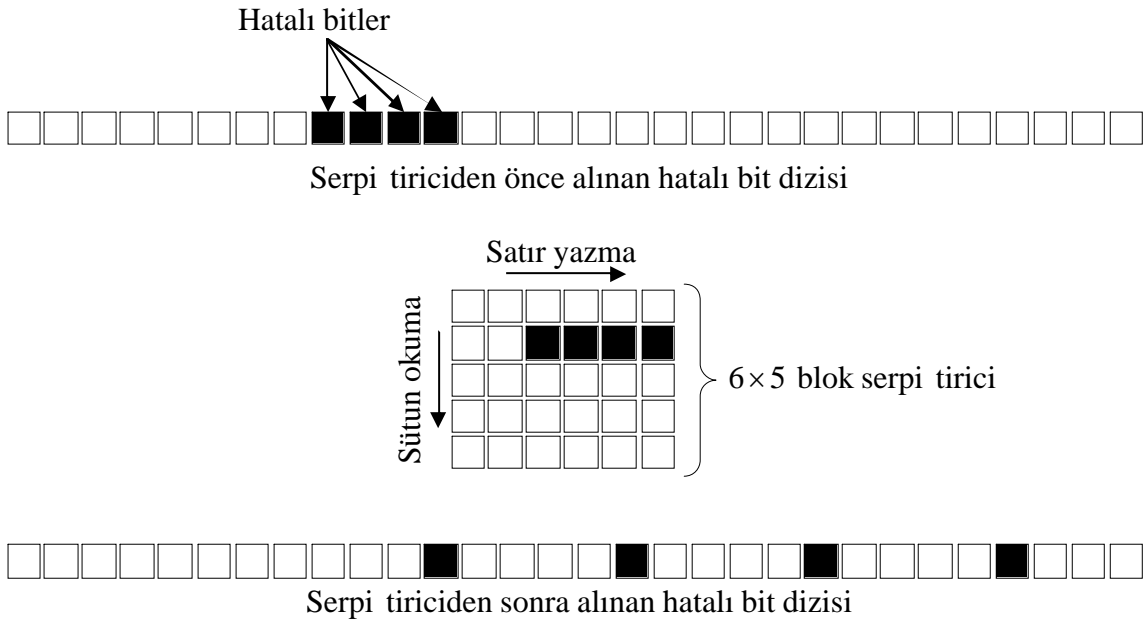
Konvolüsyonel kodlar ve blok kodların büyük bir ço unlu u tek ekilde da ılımı hatalara kar ı dayanıklı olup hataların gruplar halinde gelmesi durumunda hata düzeltme kapasiteleri oldukça dü mektedir. Pratikte, özellikle gezgin haberle mede bayılmalardan dolayı olu an dü ük SNR oranları hataların gruplar halinde gelmesine sebep olmakta, ve kullanılan kodlama türüne göre bitlerin uygun bir ekilde serpi tirilmesini zorunlu kılmaktadır.

Bir serpi tirici, önceden belirlenmi fonksiyonu sayesinde giri inde bulunan giri dizisindeki bitlerin yerlerini de i tirerek çıkı nda giri dizisiyle olabildi ince ili kisiz bir dizi üreten bir devredir. Giri dizisinde zamanda birbirine yakın olan bitler serpi tiricinin çıkı nda birbirinden uzakla tırılarak giri dizisiyle çıkı dizisi arasındaki ili ki küçültülmektedir. Genellikle bir serpi tirici hata patlamalarını düzgün da ıtmak için kullanılır. Düzgün da ıtmakta amaçlanan, simge bloklarının haberle me kanalından iletiminde, bilgi ta ıyan simgeleri bozan kanal gürültüsünün yeniden ekillendirilmesidir. Bu ekillendirme alıcıda hatalı olarak alınan ardı ıl simgelerin birbirinden serpi tirici sayesinde uzakla tırılmasıyla yapılmaktadır. Kanal içerisinde gruplar halinde hatalar olu aca ı dikkate alınırca, en mantıklı olanı klasik kodlama tekniklerinde oldu u gibi serpi tiriciyi kanal kodlayıcı ile kanal arasına yerle tirmektir.

Bu amaçla literatürde çe itli serpi tirici olu turma yöntemleri geli tirilmi tir. Bu serpi tirici yöntemlerinden üç tanesi sıkça kullanılmaktadır [51], [52]:

1.9.1. Blok Serpi tirici

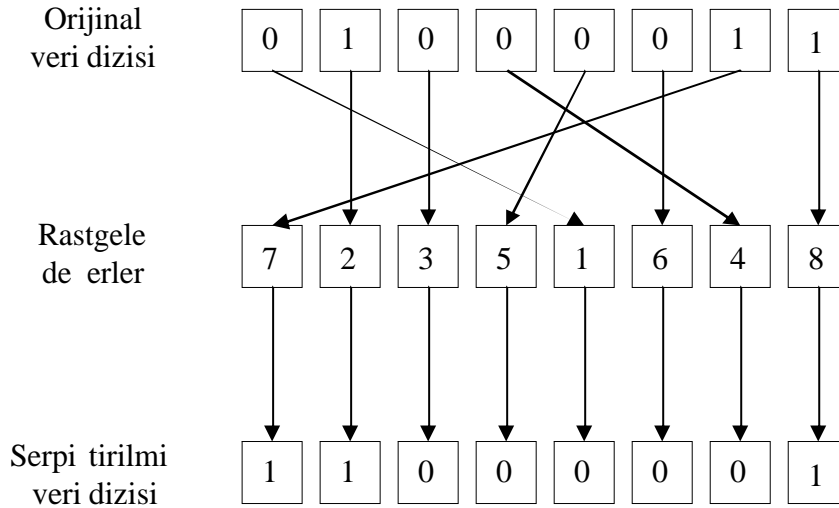
En çok kullanılan basit serpi tirici yöntemidir. Bu yöntemde $a \times b$ boyutlu bir giri dizisi, serpi tirme için kullanılan $a \times b$ boyutlu bir matrise satır satır yazılıp sütun sütun okunmaktadır. Böylelikle, hata patlaması olması durumunda hatalı gelen bitler serpi tirici vasıtasıyla farklı yerlere serpi tirilmektedir. ekil 9'da, grup halinde gelen dört tane hatalı bitin blok serpi tirici yardımıyla nasıl da ıtıldı ı gösterilmektedir.



ekil 9. (6×5) blok serpi tirici

1.9.2 Rastgele Serpi tirici (*pseudo-random interleaver*)

Rastgele serpi tirici, orijinal veri dizisini belli bir kural çerçevesinde düzensiz olarak da ıtmaktadır.



ekil 10. Rastgele serpi tirici

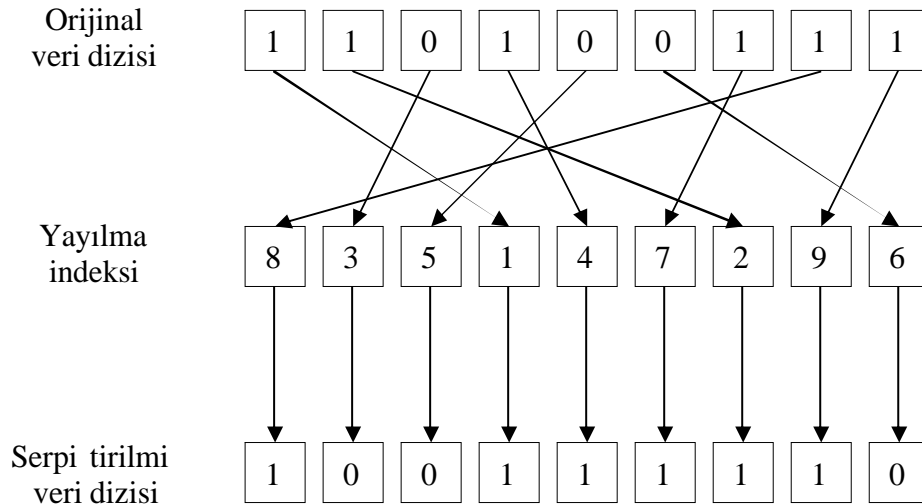
ekil 10'dan da görüldü ü gibi, rastgele serpi tirici kullanılarak orijinal veri dizisinden rastgele i . sıradaki veri alınarak, serpi tirilmi veri dizisinde j . sıraya denk dü en yere yerle tirilmektedir.

1.9.3. Yarı-rastgele Serpi tirici (*semi-random interleaver*)

Yarı-rastgele serpi tirici, rastgele serpi tiriciye iyile tirme uygulanarak elde edilmektedir. Bu yöntemde, giri dizisindeki bütün kom u bitler en az çerçeve uzunlu u L ile ili kili olan S_r faktörü kadar birbirinden uzakla tırılmaktadır.

$$S_r < \sqrt{\frac{L}{2}} \quad (1.11)$$

Bu serpi tirici yönteminde, çerçeve boyutundan küçük olması artıyla daha önce seçilmemi bir sayı rastgele seçilmekte ve bir önceki rastgele seçilmi sayı ile kar ıla tırılmaktadır. E er rastgele seçilen sayı, daha önce belirlenmi olan sayının $\pm S_r$ aralı ında ise tekrar yeni bir sayı seçilmektedir. Aksi takdirde, seçilen sayı hafızada tutulmaktadır. Bu i lemler, çerçeve boyutundan küçük tüm sayılar bir kere seçilene dek devam etmektedir. ekil 11'de $L = 9$ ve $S_r = 2$ olan bir yarı rastgele serpi tirici örne i verilmi tir.



ekil 11. Yarı-rastgele serpi tirici

Bu noktada diagonal serpi tiriciden de biraz bahsetmek gerekmektedir. Diagonal serpi tirici, esas olarak, yardımcı bir serpi tirici olarak dü ünülebilir. Diagonal serpi tirici, farklı bloklardaki bitlerin birbirleri içine serpi tirilmesini sa lar. Örne in bilgi dizimiz 256 bitlik bloklar halinde ise, diagonal serpi tirici, öncül blo un son 128 biti ile ikinci blo un ilk 128 bitini birbiri içine serpi tirir. Bu i lem ikinci blok ile üçüncü blok ve daha sonra gelen bilgi blokları arasında sürdürülür. Buradaki amaç, bayılmaya u rayan bir blokta olu abilecek ardı ıl hataların da ıtılmasıdır. Ardı ıl hataların da ıtılması Reed – Solomon kod çözücünün ba arımını arttıracaktır. Bu serpi tirici GSM’de uygulanan kodlama sisteminde de kullanılmaktadır.

2. YAPILAN ÇALI MALAR

2.1. Do rusal Blok Kodlar

Önceki bölümlerde kanal kodlayıcının, bilgi kayna ından gelen dizilere semboller ekleyerek koda hata algılama ve düzeltme yetene i kazandırdı ından bahsedilmi ti. Bilgi kayna ı çıkı mın “0”, “1” ekinde ikili sayılar oldu unu varsayalım. Bu ikili bilgi dizisi k bitlik mesaj bloklarına ayrılısın. Mesaj blokları u ile gösterilirse her u blok toplam k bilgi biti içerir ve k bitlik toplam 2^k mesaj bulunabilir. Kanal kodlayıcı belli matematiksel kurallarla u mesajına kontrol bitleri ekleyerek n bitlik bir sözcük olu turur. Bu n bitlik sözcük, u mesajına ait v kod sözcü üdür. Her bir u sözcü üne kar ı dü en bir v kod sözcü ü vardır. Bu nedenle 2^k tane kod sözcü ü (n, k) blok kodunu olu turur.

Tanım 2.1. : n uzunluklu 2^k kod sözcü ü, e er n uzunluklu vektör uzayının k boyutlu bir alt uzayı ise (n, k) do rusal blok kodunu olu turur. Do rusallıktan kasıt kod vektör uzayının, temel vektörlerin do rusal kombinezonlarıyla üretilebilece idir. E er do rusal ba ımsız n bitlik k vektör $g_1, g_2, g_3, \dots, g_k$ ise, bunların do rusal kombinezonlarıyla (n, k) blok kodu olu turulabilir. u_i bilgi bitleri, olmak üzere v kod sözcü ü 2.1 ba ıntısı ile bulunabilir.

$$v = (u_1, u_2, \dots, u_k) \cdot \begin{bmatrix} g_1 \\ g_2 \\ \cdot \\ g_k \end{bmatrix} = u.G \quad (2.1)$$

2^k bilgi dizisi 2.1’deki yerine konursa 2^k kod sözcük, dolayısıyla (n, k) elde edilir. G matrisinin satırları blok kodu belirledi inden G matrisine üreteç matris denir. Örne in üreteç matris,

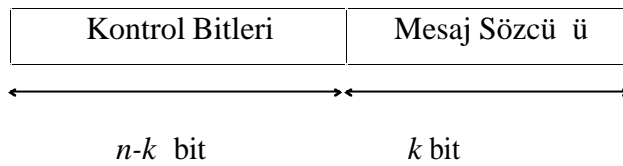
$$G = \begin{bmatrix} g_0 \\ g_1 \\ g_2 \\ g_3 \end{bmatrix} = \begin{bmatrix} 1 & 1 & 0 & 1 & 0 & 0 & 0 \\ 0 & 1 & 1 & 0 & 1 & 0 & 0 \\ 1 & 1 & 1 & 0 & 0 & 1 & 0 \\ 1 & 0 & 1 & 0 & 0 & 0 & 1 \end{bmatrix}$$

olan $(7, 4)$ do rusal blok kodu Tablo 5’de verilmi tir.

Tablo 5. (7, 4) do rusal blok kodu

Mesaj	Kod Sözcü ü
0 0 0 0	0 0 0 0 0 0 0
1 0 0 0	1 1 0 1 0 0 0
0 1 0 0	0 1 1 0 1 0 0
1 1 0 0	1 0 1 1 1 0 0
0 0 1 0	1 1 1 0 0 1 0
1 0 1 0	0 0 1 1 0 1 0
0 1 1 0	1 0 0 0 1 1 0
1 1 1 0	0 1 0 1 1 1 0
0 0 0 1	1 0 1 0 0 0 1
1 0 0 1	0 1 1 1 0 0 1
0 1 0 1	1 1 0 0 1 0 1
1 1 0 1	0 0 0 1 1 0 1
0 0 1 1	0 1 0 0 0 1 1
1 0 1 1	1 0 0 1 0 1 1
0 1 1 1	0 0 1 0 1 1 1
1 1 1 1	1 1 1 1 1 1 1

(n, k) kodu, gerçekte bir vektör uzayı oldu undan, 2^k kod vektörü vektörel toplama i lemi üzerinde bir grup olu turur. Grup tanımından yola çıkarak herhangi iki kod sözcü ünün toplamının da bir kod sözcük olaca ı ve sıfır vektörünün de bir kod sözcü ü oldu u söylenebilir. Do rusal blok kodlar ekil 12'deki gibi sistematik hale sokulabilirler. Sistematik haldeki blok kodun k bitini mesaj, geriye kalan $n-k$ bitini ise kontrol bitleri olu turur.



ekil 12. Kod sözcü ünün sistematik hali

Sistematik haldeki (n, k) kodunun üreteç matrisi 2.2'de verilmiştir.

$$G = \begin{bmatrix} g_0 \\ g_1 \\ \cdot \\ \cdot \\ g_k \end{bmatrix} = \begin{bmatrix} p_{00} & p_{01} & \cdot & p_{0,n-k-1} & 1 & 0 & \cdot & 0 \\ p_{10} & \cdot & \cdot & p_{1,n-k-1} & 0 & 1 & \cdot & 0 \\ \cdot & \cdot & \cdot & \cdot & \cdot & \cdot & \cdot & \cdot \\ \cdot & \cdot & \cdot & \cdot & \cdot & \cdot & \cdot & \cdot \\ p_{k-1,0} & p_{k-1,1} & \cdot & p_{k-1,n-k-1} & 0 & 0 & \cdot & 1 \end{bmatrix} \quad (2.2)$$

$\underbrace{\hspace{15em}}_P \quad \underbrace{\hspace{2em}}_I$

2.2'de I_k , $k \times k$ boyutlu birim matris olup $G = [P \ I_k]$ 'dir. 2.1'den yola çıkarak v kod sözcüğü hesaplanabilir.

$$v = (v_0, v_1, \dots, v_{n-1}) = (u_0, u_1, \dots, u_{k-1}) \cdot G \quad (2.3)$$

2.2. ve 2.3. kullanılarak kod sözcüğüün elemanları,

$$v_{n-k+i} = u_i, \quad 0 \leq i \leq k \quad (2.4a)$$

$$v_i = u_0 p_{0j} + u_1 p_{1j} + \dots + u_{k-1} p_{k-1,j} \quad 0 \leq j \leq n-k \quad (2.4b)$$

olarak bulunur. 2.4a'dan, kod sözcüğüün sonunda kalan k bitin bilgi dizisinin aynı olduğu, 2.4b'den ise $n-k$ kontrol bitinin bilgi bitlerinin doğrusal bir lineeri olduğu görülebilir. 2.4b ile verilen $n-k$ lineer parite kontrol denklemleri olarak adlandırılır. Parite kontrol denklemleri ayrıca H parite kontrol matrisi ile de ifade edilebilir. Sistematik haldeki (n, k) kodunun parite kontrol matrisi 2.5 ile bulunabilir.

$$H = [I_{n-k} \ P^T] = \begin{bmatrix} 1 & 0 & 0 & \cdot & 0 & p_{00} & p_{10} & \cdot & p_{k-1,0} \\ 0 & 1 & 0 & \cdot & 0 & p_{01} & p_{11} & \cdot & p_{k-1,1} \\ \cdot & \cdot & \cdot & \cdot & \cdot & \cdot & \cdot & \cdot & \cdot \\ \cdot & \cdot & \cdot & \cdot & \cdot & \cdot & \cdot & \cdot & \cdot \\ 0 & 0 & \cdot & 0 & 1 & p_{0,n-k-1} & p_{1,n-k-1} & \cdot & p_{k-1,n-k-1} \end{bmatrix} \quad (2.5)$$

G üreteç matrisi ile elde edilen v kodu,

$$v \cdot H^T = 0 \quad \text{koşulunu sağlar.} \quad (2.6)$$

Ayrıca 2.3. ve 2.6.'dan

$$v_j + u_0 p_{0j} + u_1 p_{1j} + \dots + u_{k-1} p_{k-1,j} = 0 \quad \text{elde edilebilir.} \quad (2.7)$$

2.7 tekrar düzenlenirse 2.4b ile verilen parite kontrol denklemi bulunabilir. Bu nedenle (n, k) do rusal kodu parite kontrol matrisi ile tanımlanır. Parite kontrol matrisi alınan kod sözcü ünün hatalı iletilip iletilmedi ini algılamakta kullanılır. Örne in v gürültülü bir kanaldan iletilen kod sözcük, e iletim kanalında v 'ye etkiyen gürültü olmak üzere, alıcı tarafa ula an sözcük, r

$$r = v + e \quad (2.8)$$

ile verilir. e 'nin sıfırdan farklı oldu u yerlerde bir hata olu mu ve iletilen sözcük bozulmu tur. Alıcı taraf v ve e sözcüklerini bilmedi inden kod çözücü öncelikle r 'de hata olup olmadı na karar vermelidir. E er hata olmu sa kod çözücü ya hatayı düzeltir ya da gönderene tekrar iletim iste i (ARQ) gönderir r sözcü ü alındı nda kod çözücü 2.9 ile verilen $n-k$ tane hata belirtecini hesaplar.

$$S = r.H^T = (s_0, s_1, \dots, s_{n-k-1}) \quad (2.9)$$

r bir kod sözcük ise $S=0$ olur. $S \neq 0$ ise r bir kod sözcük de ildir ve hata algılanır. Ancak hata sözcü ü sıfırdan farklı bir kod sözcü e e it ise, herhangi iki kod sözcü ün toplamı da bir kod sözcük olaca ndan bu hata dizisi kod çözücü de algılanamaz. Toplam 2^k-1 tane algılanamaz hata vardır.

2.8 e itli i 2.9'da kullanılırsa hata belirteci

$$S = r.H^T = (v + e).H^T = v.H^T + e.H^T \quad (2.10)$$

olur. 2.6 ve 2.10'dan hata belirtecinin sadece hata dizisine ba lı oldu u görülebilir.

$$S = e.H^T \quad (2.11)$$

Parite kontrol matrisinin sistematik hali 2.5 ve 2.11'den hata belirteci ve hata bitleri arasında bir ili ki kurulabilir.

$$\begin{aligned}
s_0 &= e_0 + e_{n-k} p_{00} + e_{n-k+1} p_{10} + \dots + e_{n-1} p_{k-1,0} \\
s_1 &= e_1 + e_{n-k} p_{01} + e_{n-k+1} p_{11} + \dots + e_{n-1} p_{k-1,1} \\
&\dots \\
&\dots \\
s_{n-k-1} &= e_{n-k-1} + e_{n-k} p_{0,n-k-1} + e_{n-k+1} p_{1,n-k-1} + \dots + e_{n-1} p_{k-1,n-k-1}
\end{aligned} \tag{2.12}$$

Hata belirtecinin elemanları, hata bitlerinin bir dorusal kombinezonudur ve hatalı bitler hakkında bilgi taşırlar. Bu nedenle hata belirteci hata düzeltme işleminde kullanılabilir. 2.12'deki $n-k$ e itli in çözümünü veren herhangi bir yöntem hata düzeltme yöntemidir. Hata dizisi e , bulunduktan sonra 2.8 yardımıyla $r+e$ dizisi gerçekte iletilen kod sözcü v ' yi verir. Fakat aynı hata belirteci neden olacak 2^k hata dizisi vardır. Hatalı kod çözme olasılığını azaltmak için, kod çözücü 2^k hata dizisinden gerçek hata dizisi olma olasılığını en yüksek olanını seçmelidir. Örneğin ikili simetrik kanalda gerçek hata dizisi, tüm hata dizileri içinde Hamming ağırlığı en az olan hata dizisidir.

Bir v kod sözcüünün Hamming ağırlığı $w(v)$, kod sözcüünde yer alan sıfırdan farklı bitlerin sayısıdır ve $w(v)$ ile gösterilir. Herhangi iki kod sözcük v , w 'nin birbirlerinden farklı oldukları bit sayısı ise Hamming uzaklığıdır ve $d(v, w)$ ile gösterilir.

Örneğin, $v = (1001)$, $w = (0011)$ için $w(v) = w(w) = 2$, $d(v, w) = 2$ 'dir. ki kod sözcüünün Hamming uzaklığı toplamlarının Hamming ağırlığına eşittir.

$$d(v, w) = w(v + w) \tag{2.13}$$

ki kod sözcüünün toplamı da bir kod sözcük olduğundan bir C kodunun minimum uzaklığı d_{min} , sıfırdan farklı kod sözcüklerin en küçük Hamming ağırlığı kadardır.

$$d_{min} = \min (w(x) : x \in C, x \neq 0) = w_{min} \tag{2.14}$$

v kod sözcüü gürültülü bir kanaldan iletimi sırasında I hata olursa, alınan r kod sözcüü, gönderilen v sözcüünden I yerde farklıdır. ($d(v, r) = I$). Eğer C kodunun minimum uzaklığı d_{min} ise herhangi iki kod sözcük d_{min} yerde farklıdır. Hata sözcüü ancak bir kod sözcüüne eşit ise kod çözme hatası olacaktır ve $d_{min} - 1$ veya daha az ağırlıklı hata dizileri kod sözcük olamayacaktır, C kodu bu hata dizilerini algılayabilir. 2^k mesaj sözcüüne karşılık en 2^k kod sözcüü vardır. n bitlik sözcük sayısı 2^n ve kod sözcüü sayısı 2^k olduğunda C kodu toplam $2^n - 2^k$ hata dizisini algılayabilir.

Her hata dizisi bir kod sözcüğüne eşit ise yine bir kod sözcüğü olacaktır. Bu tip hatalar algılanamaz. Sıfırdan farklı kod sözcüğü sayısı 2^{k-1} tane algılanamaz hata vardır. Büyük n değerleri için 2^{k-1} , 2^n yanında çok küçük kalacaktır. Bu nedenle az miktarda hatalı dizi algılanmadan kod çözücünden geçer. d_{min} uzaklığına sahip C kodu $d_{min} \geq 2t + 1$ olmak üzere t veya daha az hatalı sözcükleri kesinlikle düzeltebilir. t , rastgele hata düzeltim kapasitesi ve C koduna t hata düzelten kod denir. Örneğin, Tablo 5’de verilen $(7, 4)$ kodunun minimum uzaklığı 3 dolayısıyla $t=1$ dir. Bu kod 1 hatalı dizileri düzeltebilir. Görüldüğü gibi bir kodun rastgele hata algılama ve düzeltme özellikleri o kodun minimum uzaklığına sahip blok kodu kullanmak hatalı kod çözme olasılığını azaltır.

Dorusal blok kodlamanın önemli bir alt grubu Hamming kodlardır. $m = 3$ olan herhangi bir tamsayı için aşağıdaki parametrelerle tanımlı bir Hamming kodu tanımlanabilir.

Kod uzunluğu	:	$n = 2^m - 1$
Bilgi bit sayısı	:	$k = 2^m - m - 1$
Parite kontrol bit sayısı	:	$n - k = m$
Minimum uzaklık	:	$d_{min} = 3$

Hamming kodları $t=1$ hata düzeltebilirler.

2.2. Bose – Chaudri – Hocquenghem Kodları

Bose, Chaudri ve Hocquenghem (BCH) kodları rastgele hata düzelten kodlar içinde önemli bir gruptur. BCH kodları, Hamming kodlarının birden fazla hata düzelten, genelleştirilmiş hali olarak düşünülebilir. BCH kodları 1959 yılında Hocquenghem, 1960 yılında Bose ve Chaudri tarafından bulunmuştur[44]. Kodların çevrimsellik özelliği 1960 yılında Peterson tarafından kanıtlanmıştır ve Gorenstein ve Zierler, BCH kodlarının p^m sembollerinde genelleştirilmiş halini elde etmiştir[42].

BCH kodları ikili ve ikili olmayan kodlar olmak üzere iki gruba ayrılır. İkili BCH kodlarının üreteç polinomlarının katsayıları $GF(2)$ ’nin, ikili olmayan kodların üreteç polinomunun katsayıları p bir asal sayı olmak üzere $GF(p^m)$ ’nin elemanıdır. Yani ikili

olmayan kodlama m bitlik bilgi sembolleri üzerinde yapılır.

Reed – Solomon kodları ikili olmayan BCH kodlara örnektir.

$m = 3$ ve $t < 2^{m-1}$ olmak üzere ikili BCH kodunun parametreleri aşağıdaki gibidir.

Blok uzunluğu : $n = 2^m - 1$

Parite kontrol bit sayısı : $n - k \leq m.t$

Minimum uzaklık : $d_{\min} \geq 2.t + 1$

Parametreleri yukarıda verilen BCH kodu n bitlik bir blokta, t veya daha az sayıda hatayı düzeltebilir. Bu nedenle bu kod t hata düzelten BCH kodu olarak adlandırılır. Bu kodun üreteç polinomu $g(x)$ 'in katsayıları $GF(2)$ 'nin elemanı olduğu halde, kökleri $GF(2^m)$ 'in elemanıdır. $GF(2^m)$ 'de bir asal eleman olmak üzere t hata düzelten, n uzunluklu BCH kodunun üreteç polinomu, kökleri $\alpha, \alpha^2, \alpha^3, \dots, \alpha^{2t}$ olan en düşük dereceli polinomdur[43].

$$g(x) = \text{OKEK} \{ \Phi_1(x), \Phi_3(x), \dots, \Phi_{2t-1}(x) \} \quad (2.15)$$

$u(x)$ bilgi dizisine karşılık gelen kod sözcük $v(x)$ 2.16 ile bellidir.

$$v(x) = u(x).g(x) \quad (2.16)$$

Kodun tanımı gereği parite kontrol bitlerinin sayısı en fazla $m.t$ kadardır. Parite kontrol bit sayısı ile kodun düzeltebildiği hata sayısı arasında tam olarak belli bir bağlantı olmamakla beraber küçük t değerleri için $m.t$ tam olarak $n-k$ değerine eşit olur. Örneğin tek hata düzelten BCH kodu için $t=1$ olduğundan $g(x) = \Phi_1(x)$ olur. Bu kodun parametreleri,

Blok uzunluğu : $n = 2^m - 1$

Parite kontrol bit sayısı : $n - k = m$

Minimum uzaklık : $d_{\min} = 3$

olduğundan tek hata düzelten BCH kodu aynı zamanda $2^m - 1$ uzunluklu Hamming kodudur.

α , Tablo 3'te verilen $GF(2^4)$ 'ün elemanı ise α ve α^3 için

$$\Phi_1(X) = 1 + X + X^4$$

$$\Phi_3(X) = 1 + X + X^2 + X^3 + X^4$$

olarak verilir. 2.15'ten

$$g(X) = \Phi_1(X) \cdot \Phi_3(X) = 1 + X^4 + X^6 + X^7 + X^8$$

bulunur. Bu kod (15, 7) BCH kodu olup bu kod için $n-k = m \cdot t$ ve $d_{min} = 5$ 'dir. Bu nedenle (15, 7) BCH kodu tam olarak 2 hata düzeltebilir.

iki BCH kodların çözümünde parite kontrol matrisi yardımıyla hata belirteci hesabı gerekir. Hata belirtecinin hesabının ardından hata yerinin hesaplanması için Peterson yöntemi, Berlekamp'ın iteratif algoritması veya Chien metodu kullanılabilir. t hata düzelten BCH kodunun parite kontrol matrisi 2.17'de verilmiştir. Görüldüğü gibi H matrisinin elemanları $GF(2^m)$ 'den alınmıştır. Her eleman m bitlik sözcüklerle ifade edilirse ikili parite kontrol matrisi elde edilir.

$$H = \begin{bmatrix} 1 & \alpha & \alpha^2 & \dots & \alpha^{n-1} \\ 1 & \alpha^2 & (\alpha^2)^2 & \dots & (\alpha^2)^{n-1} \\ 1 & \alpha^3 & (\alpha^3)^2 & \dots & (\alpha^3)^{n-1} \\ \dots & \dots & \dots & \dots & \dots \\ 1 & \alpha^{2t} & (\alpha^{2t})^2 & \dots & (\alpha^{2t})^{n-1} \end{bmatrix} \quad (2.17)$$

Doğrusal blok kodlarda olduğu gibi BCH kodlarında da hata belirteci sadece hata sözcüğünün bir fonksiyonudur. Bu nedenle bulunan hata belirteci, alınan sözcüğün hatalı bitleri hakkında bilgi taşır. t hata düzelten BCH kodu için $2t$ hata belirteci,

$$S_i = (S_1, S_2, \dots, S_{2t}) = r \cdot H^T \quad (2.18)$$

olur. Bu eşitlikte r , doğrusal blok kodları için geçerli olan 2.8'den hesaplanabilir. 2.17 ve 2.18'den hata belirteci bulunabilir.

$$S_i = r(\alpha^i) = r_0 + r_1\alpha^i + r_2\alpha^{2i} + \dots + r_{n-1}\alpha^{(n-1)i} \quad (2.19)$$

2.16'ya göre kod polinomunun çarpanlarından biri üreteç polinomudur.

Üreteç polinomun kökleri de $\alpha, \alpha^2, \alpha^3, \dots, \alpha^{2t}$ oldu undan $v(\alpha^i) = 0$ olmalıdır, iletim ortamında hata oluşmasını sağa 2.19 sonucu hata belirteçleri sıfıra eşittir. Buna göre hata belirteçleri hata sözcüğünün bir i levidir.

$$S_i = e(\alpha^i) \quad (2.20)$$

Hata sözcüğü $e(x), X^{j_1}, X^{j_2}, \dots, X^{j_v}$ olmak üzere toplam v yerde hata üretmişse $0 \leq j_i \leq n$ olmak üzere,

$$e(X) = X^{j_1} + X^{j_2} + \dots + X^{j_v} \quad (2.21)$$

olur. Böylece 2.20 ve 2.21'den hata belirteçleri için $2t$ e itlik elde edilir.

$$\begin{aligned} S_1 &= \alpha^{j_1} + \alpha^{j_2} + \dots + \alpha^{j_v} \\ S_2 &= (\alpha^{j_1})^2 + (\alpha^{j_2})^2 + \dots + (\alpha^{j_v})^2 \\ &\dots \\ &\dots \\ S_{2t} &= (\alpha^{j_1})^{2t} + (\alpha^{j_2})^{2t} + \dots + (\alpha^{j_v})^{2t} \end{aligned} \quad (2.22)$$

Bu denklemlerde $\alpha^{j_1}, \alpha^{j_2}, \dots, \alpha^{j_v}$ bilinmeyenlerdir ve bu e itlikleri çözecek her yöntem BCH kodlar için kod çözme algoritmasıdır. $\alpha^{j_1}, \alpha^{j_2}, \dots, \alpha^{j_v}$ bulundu unda j_l hatalı sembollerin yerini belirler. 2.22'nin birden fazla çözümü vardır. En az sayıda hata içeren hata dizisini veren çözüm en uygun çözümdür. Büyük t de erleri için 2.22'nin do rudan çözümü oldukça zordur. $l = 1, 2, \dots, v$ olmak üzere,

$$\beta_l = \alpha^{j_l} \quad (2.23)$$

ile tanımlanan β_l hata yerlerini belirtir. 2.23, 2.22'de kullanılırsa

$$\begin{aligned} S_1 &= \beta_1 + \beta_2 + \dots + \beta_v \\ S_2 &= (\beta_1)^2 + (\beta_2)^2 + \dots + (\beta_v)^2 \\ &\dots \\ &\dots \\ S_{2t} &= (\beta_1)^{2t} + (\beta_2)^{2t} + \dots + (\beta_v)^{2t} \end{aligned} \quad (2.24)$$

bulunur. Hata yerleri β 'ların, S_i 'lerden bulunması için kullanılabilecek yöntemlerden ikisi **Peterson'un Do rudan Çözüm Yöntemi** ve **Berlekamp'ın teratif Yöntemi**'dir.

2.2.1. Peterson'un Do rudan Çözüm Yöntemi

BCH kodlarının Peterson yöntemiyle çözümüne 2.25 ile verilen $\sigma(X)$, hata yeri polinomu tanımlansın.

$$\begin{aligned}\sigma(X) &= (X + \beta_1)(X + \beta_2)\dots(X + \beta_L) \\ &= X^L + \sigma_1 X^{L-1} + \dots + \sigma_L\end{aligned}\quad (2.25)$$

$\sigma(X)$ 'in kökleri $\beta_1, \beta_2, \dots, \beta_v$ sayıları, hata yerleridir. Bu nedenle $\sigma(X)$, hata yeri polinomu olarak adlandırılır. $\sigma(X)$ 'in katsayıları ve hata yerleri arasında a a ıdaki ili ki vardır.

$$\begin{aligned}\sigma_1 &= \sum_i \beta_i \\ \sigma_2 &= \sum_{i<j} \beta_i \beta_j \\ \sigma_3 &= \sum_{i<j<k} \beta_i \beta_j \beta_k \\ &\dots \\ &\dots \\ &\dots \\ \sigma_L &= \beta_1 \cdot \beta_2 \cdot \beta_3 \cdot \dots \cdot \beta_L\end{aligned}\quad (2.26)$$

2.24'den ve 2.26'dan σ_i 'lerin hata belirteçlerine ba lı oldu u görülebilir. Hata yeri $\sigma(X)$ 'in kökü oldu undan $\sigma(\beta_i) = 0$ 'dır.

$$\sigma(\beta_i) = \beta_i^t + \sigma_1 \beta_i^{t-1} + \dots + \sigma_t = 0 \quad i = 1, 2, \dots, t \quad (2.27)$$

2.27'nin her iki tarafını β_i^j ile çarpılsın.

$$\beta_i^{t+j} + \sigma_1 \beta_i^{t+j-1} + \dots + \sigma_t \beta_i^j = 0 \quad (2.28)$$

j 'yi sabit tutup $i = 1, 2, \dots, t$ için 2.28'den elde edilecek t e itli i toplarsak 2.24. yardımıyla hata belirteçleri ve hata yeri polinomunun katsayıları arasında bir ili ki buluruz.

$$S_{t+j} + \sigma_1 S_{t+j-1} + \dots + \sigma_t S_j \quad (2.29)$$

2.29'la verilen e itlikler Newton Özde likleri olarak adlandırılır. kili BCH kodu için σ_i 'ler, S_i 'lere a a ıdaki Newton özde likleri ile ba lıdır.

$$\begin{aligned}
S_1 + \sigma_1 &= 0 \\
S_2 + \sigma_1 S_1 + 2\sigma_2 &= 0 \\
S_3 + S_2 \sigma_1 + S_1 \sigma_2 + 3\sigma_3 &= 0 \\
\text{..} & \\
\text{..} & \\
S_{t+j-1} + \sigma_1 S_{t+j-2} + \dots + t\sigma_t &= 0 \\
S_{t+j} + \sigma_1 S_{t+j-1} + \dots + \sigma_t S_j &= 0
\end{aligned}
\quad i\sigma_i = \begin{cases} \sigma_i & ,i \text{ tek} \\ 0 & ,i \text{ çift} \end{cases} \quad (2.30)$$

BCH kodlarının çözümü için 2.30 yardımıyla hata yeri polinomu bulunur. Hata yeri polinomunun kökleri hata yerlerini verir. Örne in $t=1$ hata düzelten BCH kodu için $\sigma_2 = 0$ olacağından ilk iki özde li in çözümü σ_1 'i verir.

$$S_1 + \sigma_1 = 0 \Rightarrow \sigma_1 = S_1$$

$$\sigma(X) = X + S_1$$

olur. Yani hata yeri $\beta_1 = S_1$ 'dir. Örne in, $S_1 = 3$ ise alınan sözcü ün 3. biti hatalıdır demektir ve bu bit evirilerek hata düzeltilebilir.

$t=2$ hata düzelten BCH kodunun çözümü için $\sigma_3 = 0$ olacağına dikkate alınıp 2.30'daki 1. ve 3. e itlikler matris formunda yazılırsa,

$$\begin{bmatrix} 1 & 0 \\ S_2 & S_1 \end{bmatrix} \begin{bmatrix} \sigma_1 \\ \sigma_2 \end{bmatrix} = \begin{bmatrix} S_1 \\ S_3 \end{bmatrix} \quad (2.31)$$

Bu iki e itlik çözümlürse hata yeri polinomu $\sigma(X)$ 'in katsayıları,

$$\sigma_1 = S_1 \quad \text{ve} \quad \sigma_2 = \frac{S_3 + S_1^3}{S_1} \quad (2.32)$$

olarak bulunur.

$\sigma(X)$ 'in kökleri bulunarak hata yerleri belirlenir ve hatalı bitler düzeltilir.

2.2.2. Berlekamp Yöntemi

Peterson'un do rudan çözüm yöntemiyle az sayıda hata düzelten ikili BCH kodları çözmek kolaydır. Altıdan fazla hata düzelten kodların çözümünde $\sigma(X)$ 'in katsayılarının hesaplanması oldukça karma ık i lemler gerektirir. Bu kodların çözümü için Berlekamp iteratif bir yöntem geli tirmi tir. Daha sonra Massey, bu yöntemi bir ötelemeli yazıcı sentezine indirgemi tir[45].

Berlekamp yönteminde hata belirteçleri a a ıdaki gibi bir polinomla ifade edilir.

$$S(X) = S_1X + S_2X^2 + \dots + S_{2t}X^{2t} \quad (2.33)$$

Yöntemin amacı, kökleri hata yerlerinin tersi olan bir $C(X)$ polinomu bulmaktır. β_i hata yerleri ve $i = 1, 2, \dots, t$ olmak üzere $C(X)$,

$$C(X) = (1 + \beta_1X)(1 + \beta_2X) \dots (1 + \beta_tX) \quad (2.34)$$

ile verilir. 2.34 açık biçimde yazılırsa hata yeri polinomu $\sigma(X)$ ile $C(X)$ arasındaki ili ki görülebilir.

$$C(X) = 1 + \sigma_1X + \sigma_2X^2 + \dots + \sigma X^t \quad (2.35)$$

Yöntemin ilk adımı katsayıları birinci Newton özde li ini sa layan minimum dereceli $C^1(X)$ polinomunu bulmaktır. kinci adımda $C^1(X)$ 'in katsayılarının ikinci Newton özde li ini de sa layıp sa lamadı ı kontrol edilir. Katsayılar ikinci Newton özde li ini sa lıyorsa,

$$C^2(X) = C^1(X)$$

olur. E er katsayılar ikinci özde li i sa lamıyorsa $C^1(X)$ 'e, ilk iki özde li i sa layacak ve minimum dereceli polinomu verecek bir terim eklenir. Böylece ikinci adımda ilk iki Newton özde li ini sa layan $C^2(X)$ polinomu elde edilir. Bir sonraki adımda aynı yöntemle, $C^2(X)$ 'den, ilk üç Newton özde li ini sa layan $C^3(X)$ elde edilmeye çalı ılır. İterasyon bütün Newton özde liklerini sa layan $C^{2t}(X)$ polinomu elde edilene kadar devam eder. Sonunda $C(X) = C^{2t}(X)$ olur.

$C(X)$, 2.22'yi sağlayan minimum aralıklı hata dizisi $e(X)$ 'i verir. Alınan kod sözcüğü $r(X)$ 'deki hata sayısı t veya daha az ise $C(X)$ gerçek hata dizisini verir.

$$C^{(\mu)}(X) = 1 + \sigma_1^{(\mu)} X + \sigma_2^{(\mu)} X^2 + \dots + \sigma_{l_\mu}^{(\mu)} X^{l_\mu} \quad (2.36)$$

$C^{(\mu)}(X)$, μ adımda elde edilen polinomdur ve derecesi l_μ 'dür. $C^{(\mu+1)}(X)$ 'i belirlemek için μ uzaklık, d_μ hesaplanır.

$$d_\mu = S_{\mu+1} + \sigma_1^{(\mu)} S_\mu + \sigma_2^{(\mu)} S_{\mu-1} + \dots + \sigma_{l_\mu}^{(\mu)} S_{\mu+1-l_\mu} \quad (2.37)$$

$d_\mu = 0$ ise $C^{(\mu)}(X)$ 'in katsayıları $(\mu + 1)$. Newton özde li ini de sağlar ve

$$C^{(\mu+1)}(X) = C^{(\mu)}(X)$$

olur. $d_\mu \neq 0$ ise $C^{(\mu)}(X)$ 'in katsayıları $(\mu + 1)$. Newton özde li ini sağlamaz ve $C^{(\mu)}(X)$ 'de düzeltme yapılmalıdır. Düzeltme terimini belirlemek için $d_\mu \neq 0$ ve $p - l_\mu$ dere en yüksek

olan p . adımdaki $C^{(p)}(X)$ polinomu belirlenir. $(\mu + 1)$. Newton özde li ini sağlayan polinom

$$C^{(\mu+1)}(X) = C^{(\mu)}(X) + d_\mu d_p^{-1} X^{u-p} C^{(p)}(X) \quad (2.38)$$

ile verilir.

Tablo 6. Berlekamp'ın iteratif algoritması

μ	$C^{(\mu)}(X)$	d_μ	l_μ	$\mu - l_\mu$
-1	1	1	0	-1
0	1	S_l	0	0
1				
..				
..				
$2t$				

Hata yeri polinomunun bulunabilmesi için Tablo 6'daki ba langıç ko ullarından itibaren 2.36, 2.37 ve 2.38 ile verilen kurallara uyularak, iteratif algoritma uygulanır.

Tablo 6'nın son satırında elde edilecek polinom hata yeri polinomunu verir.

Eğer bu polinomun derecesi t 'den büyükse, alınan kod sözcükte t 'den fazla hata var demektir ve bu hataların yerini belirlemek mümkün olamaz.

BCH kodlarının çözümündeki son adım hata yerlerinin bulunmasıdır. Hata yerleri, $C(X)$ polinomunun köklerinin tersleridir. Kökler, $GF(2^m)$ 'in tüm elemanları, $1, \alpha, \alpha^2, \dots, \alpha^{n-1}$, $C(X)$ 'de X yerine konarak bulunabilir. $C(\alpha^i) = 0$ ise, α^i bir köktür ve tersi α^{n-i} bir hata yeridir. Alınan kod sözcüğünün r_{n-i} . biti hatalıdır. $C(X)$ polinomunun köklerinin bulunması için $GF(2^m)$ 'in elemanlarının $C(X)$ polinomuna yerleştirilmesi önce Peterson tarafından kullanılmış, daha sonra Chien bu işlemlerin gerçekleştirilmesi ve hatanın düzeltilmesi için bir prosedür geliştirmiştir [44-53]. Alınan kod sözcük,

$$r(X) = r_0 + r_1X + r_2X^2 + \dots + r_{n-1}X^{n-1}$$

için kod çözümüne en yüksek anlamlı bitten başlanır. α^{n-1} , hata yerlerinden biriyse, r_{n-1} . biti hatalıdır ve α^{n-1} 'in tersi α , $C(X)$ 'in köküdür. Bu durumda

$$1 + \sigma_1\alpha + \sigma_2\alpha^2 + \dots + \sigma_v\alpha^v$$

olur. r_{n-1} hatalıdır. r_{n-1} 'nin hatalı olup olmadığını test etmek için

$$1 + \sigma_1\alpha^l + \sigma_2\alpha^{2l} + \dots + \sigma_v\alpha^{vl}$$

toplamının sıfıra eşit olup olmadığına bakılır. r_{n-1} hatalı alınırsa, r_{n-1} , 1 ile ikili toplama işlemine sokulur ve böylece hata düzeltilmiş olur.

2.3. Reed – Solomon Kodları

2.3.1 Reed – Solomon Kodlarının Tanımı

Reed-Solomon (RS) kodları ikili olmayan BCH kodlarının bir alt kümesidir. RS kodları çevrimsel kodlardır. Reed ve Solomon tarafından 1960 yılında tanımlanmıştır [47]. RS kodları sabit k ve n değerleri için en yüksek minimum Hamming uzaklığına sahiptir.

Bölüm 2.2.'de anlatılan ikili BCH kodları, ikili olmayan kodlara genelleştirilebilir. p bir asal sayı, q , p 'nin bir kuvveti, s ve t herhangi iki tamsayı olmak üzere, blok uzunluğu $n = q^s - 1$, parite kontrol sembolü sayısı, $n-k=2st$ olan bir **ikili Olmayan BCH Kodu** vardır.

Bu kod, $2st$ parite kontrol sembolü yardımıyla, t veya daha az sayıda hatalı sembolü düzeltme yeteneğine sahiptir. İkili BCH kodlarının üreteç polinomunun katsayıları $GF(2)$ 'nin elemanı iken, ikili olmayan BCH kodunun üreteç polinomunun katsayıları $GF(q^s)$ 'in elemanıdır. Üreteç polinomun kökleri ise $\alpha, \alpha^2, \dots, \alpha^{2t}$ dir. $\Phi_i(X)$ α^i 'nin minimal polinomu olmak üzere üreteç polinom,

$$g(X) = \text{OKEK} \{ \Phi_1(X), \Phi_2(X), \dots, \Phi_{2t}(X) \} \quad (3.1)$$

ile verilir. Her bir minimal polinomun derecesi s veya daha azdır. Bu nedenle $g(X)$ 'in derecesi $2st$ olabilir. Dolayısıyla $g(X)$ tarafından üretilen kod $2st$ parite kontrol sembolü içerir.

RS kodları, ikili olmayan BCH kodları içinde $s=1$ alınarak elde edilir, t hata düzelten RS kodunun parametreleri,

$$\text{Blok uzunluğu } n : n = q - 1$$

$$\text{Parite kontrol bit sayısı } k : n - k = 2t$$

$$\text{Minimum uzaklık } d_{\min} : d_{\min} = 2t + 1$$

olarak verilir. RS kodlarının önemli bir özelliği minimum Hamming uzaklığının her zaman parite kontrol sembolü sayısından bir fazla olmasıdır. $\alpha^i \in GF(q = p^m)$ 'in sıfırdan farklı bir elemanı ve $\Phi(X)$ 'in bir kökü olmak üzere t hata düzelten ilkel RS kodunun üreteç polinomu,

$$g(X) = (X + \alpha)(X + \alpha^2) \dots (X + \alpha^{2^t})$$

$$= g_0 + g_1 X + g_2 X^2 + \dots + g_{2^t-1} X^{2^t-1} + X^{2^t} \quad (3.2)$$

ile verilir. g_i 'ler $GF(q = p^m)$ 'nin elemanıdır ve $\alpha, \alpha^2, \dots, \alpha^{2^t}$, $g(X)$ 'in kökleridir. $g(X)$ 'in derecesi en fazla 2^t 'dir. $g(X)$ tarafından üretilen kod $(n, n-2^t)$ kodudur.

Örnek 3.1: Tablo 6'da verilen $GF(2^4)$ üzerinde, üç hata düzelten $(15, 9)$ RS kodu için üreteç polinom,

$$g(X) = (X + \alpha)(X + \alpha^2)(X + \alpha^3)(X + \alpha^4)(X + \alpha^5)(X + \alpha^6)$$

$$= \alpha^6 + \alpha^9 X + \alpha^6 X^2 + \alpha^4 X^3 + \alpha^{14} X^4 + \alpha^{10} X^5 + X^6$$

kullanılır.

2.3.2 Kodlama

$k=n-2^t$ olmak üzere, kodlanacak bilgi sözcüğü $ü$,

$$i(X) = i_0 + i_1 X + i_2 X^2 + \dots + i_{k-1} X^{k-1} \quad (3.3)$$

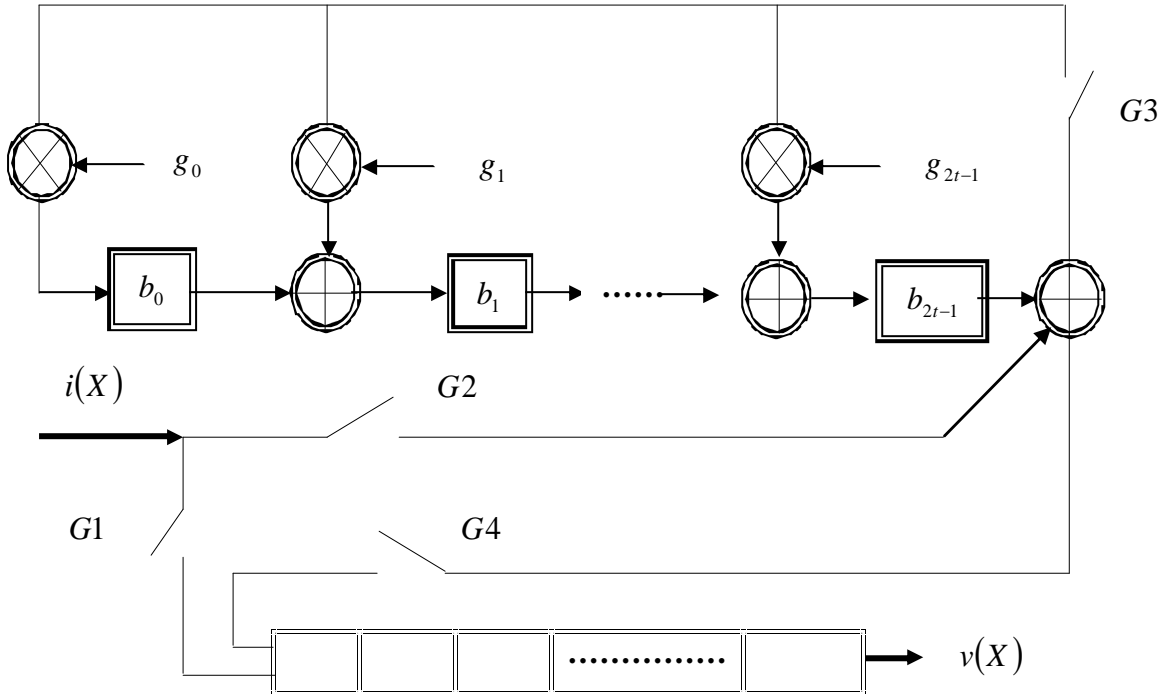
olsun. RS kod sözcükleri k sembolük bilgi sözcüğü $ü$ $i(X)$ 'in $g(X)$ ile çarpılması sonucu elde edilebilir; fakat elde edilen kod sözcük sistematik halde olmayacaktır. Sadece $GF(p^m)$ içinde $g(X)$ 'e tam olarak bölünen sözcükler RS kod sözcükleri olabileceği dikkate alınır. Sadece kodlama, bir bölme işlemiyle gerçekleştirilebilir. $i(X)$ polinomu, X^{2^t} ile çarpılıp $g(X)$ 'e bölümsün. Bölümden kalan $b(X)$, $X^{2^t} \cdot i(X)$ ifadesine eklenirse elde edilecek polinom $g(X)$ 'e tam olarak bölünebilir ve bu polinomla ifade edilen kod sözcüğü $v(X)$ sistematik haldedir.

$$b(X) = X^{2^t} i(X) \text{ mod } g(X)$$

$$= b_0 + b_1 X + \dots + b_{2^t-1} X^{2^t-1} \quad (3.4)$$

$$v(X) = X^{2^t} i(X) + b(X) \quad (3.5)$$

Bu işlemle $i(X)$ 2^t kadar ötelenip, $i(X)$ 'in $g(X)$ 'e bölümünden kalan eklenerek kod sözcüğü oluşturulur. Bu işlemi gerçekleştiren bir devrenin blok diyagramı Şekil 13. de verilmiştir.



ekil 13. Reed – Solomon kodlayıcı devrenin blok diyagramı

Bu devrede $2t$ adet yazıcı eleman bulunmaktadır. Toplama ve çarpma işlemleri $GF(p^m)$ üzerinde yapılır. $i(X)$ sözcüğü kodlamak için önce $G1, G2$ ve $G3$ anahtarları kapanır, $G4$ anahtarı açılır ve $i(X)$ sözcüğü kanala verilir. $i(X)$ bilgi sözcüğü iletim kanalına girdiğinde bölme işlemi bitleri ve parite kontrol sembolleri yazıcılarda saklanmaktadır. $G1, G2$ ve $G3$ anahtarları açılır ve $G4$ anahtarı kapanır ve parite kontrol sembolleri kanala verilir. Tüm semboller kanala girdiğinde kodlama işlemi bitleri bitlerdir. Bütün yazıcılara sıfır değeri yüklenir ve devre yeni bilgi sözcüklerinin kodlanmasına hazır duruma getirilir.

2.3.3. Kod Çözme

Bu bölümde RS kodlarının çözümü için kullanılan yöntemler açıklanacaktır. Do rusal blok kodlarında ve ikili BCH kodlarında kod çözme i lemine hata belirtecinin hesabı ile ba lanır. Hata belirtecinin hesabının ardından hata yerleri bulunur ve hatalı bitler düzeltilir. kili olmayan BCH kodlarında dolayısıyla RS kodlarında da kod çözme i leminin ilk adımı hata belirteci hesabıdır, fakat hata yerleri bulunduktan sonra ikili kodlardan farklı olarak hata de erlerinin de bulunması gerekir. Çünkü RS kodları bitler üzerinde de il bir kaç bitten olu an sözcükler üzerinde çalı ır. RS kodlarının çözümünde izlenecek adımlar a a ıdaki gibidir.

1. Hata belirteçlerinin hesabı
2. Hata yeri polinomu $\sigma(X)$ 'n bulunması
3. $\sigma(X)$ 'in kökleri olan hata yerlerinin bulunması
4. Hata de erlerinin hesaplanması
5. Hatalı sözcüklerin düzeltilmesi

Hata belirteçlerinin hesabında tek bir yöntem kullanılırken hata yeri polinomunun belirlenmesinde bir kaç yöntem kullanılabilir. Bu bölümde her bir yöntem örneklerle incelenecektir.

2.3.3.1. Hata Belirteci Hesabı

Gönderilen kod sözcük $v(X)$, alınan sözcük $r(X)$ olmak üzere kanal tarafından üretilen gürültü $e(X)$,

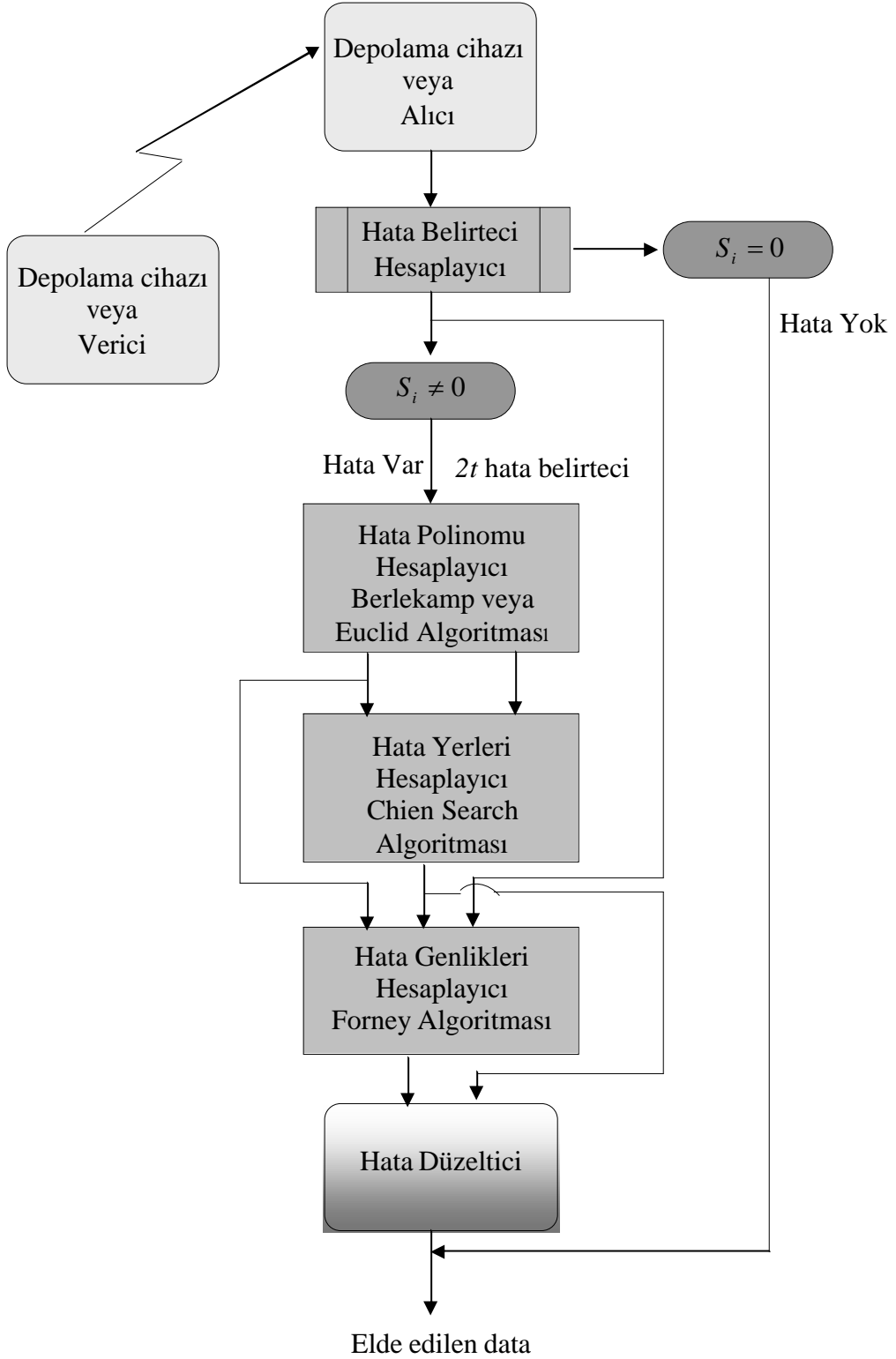
$$v(X) = v_0 + v_1X + \dots + v_{n-1}X^{n-1}$$

$$r(X) = r_0 + r_1X + \dots + r_{n-1}X^{n-1}$$

$$e(X) = r(X) + v(X) = e_0 + e_1X + \dots + e_{n-1}X^{n-1} \quad (3.6)$$

olarak tanımlanır.

ekil 14'te Reed Solomon kod çözücü devrenin blok diyagramı verilmektedir.



ekil 14. Reed – Solomon kod çözücü devrenin blok diyagramı

3.6. ifadesinde $e_i = r_i + v_i$ ile bellidir ve alınan sözcü ün ilgili yerinde olu an hata de erini göstermektedir. Hata sözcü ü $e(X)$, $X^{j_1}, X^{j_2}, \dots, X^{j_v}$, olmak üzere toplam v yerde hata üretmi ise $0 \leq j_i \leq n-1$ olmak üzere, hata polinomu,

$$e(X) = e_{j_1} X^{j_1} + e_{j_2} X^{j_2} + \dots + e_{j_v} X^{j_v} \quad (3.7)$$

olarak bulunur. Hatanın düzeltilebilmesi için hata yerleri X^{j_i} 'ler ve hata de erleri e_{j_i} 'ler bilinmelidir. BCH kodlarında oldu u gibi $l = 1, 2, \dots, v$ olmak üzere,

$$\beta_l = \alpha^{j_l} \quad (3.8)$$

tanımlanırsa hata belirteçleri 3.9 e itlikleriyle hesaplanabilir.

$$\begin{aligned} S_1 &= r(\alpha) = e_{j_1} \beta_1 + e_{j_2} \beta_2 + \dots + e_{j_v} \beta_v \\ S_2 &= r(\alpha^2) = e_{j_1} \beta_1^2 + e_{j_2} \beta_2^2 + \dots + e_{j_v} \beta_v^2 \\ &\dots \\ &\dots \\ S_{2^t} &= r(\alpha^{2^t}) = e_{j_1} \beta_1^{2^t} + e_{j_2} \beta_2^{2^t} + \dots + e_{j_v} \beta_v^{2^t} \end{aligned} \quad (3.9)$$

Alınan sözcükte t hata varsa 3.9 e itlikleri 3.10 ile ifade edilebilir.

$$S_k = \sum_{i=1}^t e_{j_i} \beta_i^k \quad (3.10)$$

Kod çözme i leminin amacı 3.10 ile verilen hata belirteçlerini üreten maksimum t hatadan olu an hata dizisini bulmaktır.

2.3.3.2. Peterson'un Do rudan Çözüm Yöntemi

Daha önce Peterson'un do rudan çözüm yönteminin ikili BCH kodlarına uygulanması açıklanmıştır. Bölüm 2.2.1 de elde edilen sonuçlar birkaç de i ikilikle ikili olmayan BCH kodları ve RS kodlarına uygulanabilir. 2.29. ile verilen Newton özde likleri hatırlanırsa,

$$S_{t+j} + \sigma_1 S_{t+j-1} + \dots + \sigma_t S_j = 0 \quad (3.11)$$

3.11 ile verilen Newton özde liklerinde geçen σ_i 'ler hata yeri polinomu $\sigma(X)$ 'in katsayılarıdır.

$$\sigma(X) = X^t + \sigma_1 X^{t-1} + \dots + \sigma_t \quad (3.12)$$

Kod çözme i lemini ilk adımında $2t$ belirteci S_1, S_2, \dots, S_{2t} hesaplanır. Daha sonra $1 \leq j \leq t$ için 3.12'den t e itlik elde edilir. Elde edilen e itliklerin çözümü hata yeri polinomu $\sigma(X)$ 'in katsayılarını verir. Örnek olarak $t=3$ hata düzelten RS kodunu ele alalım. 3.11.'den;

$$\begin{aligned} S_1 \sigma_3 + S_2 \sigma_2 + S_3 \sigma_1 &= -S_4 \\ S_2 \sigma_3 + S_3 \sigma_2 + S_4 \sigma_1 &= -S_5 \\ S_3 \sigma_3 + S_4 \sigma_2 + S_5 \sigma_1 &= -S_6 \end{aligned} \quad (3.13)$$

elde edilir. Hata yeri polinomunun katsayılarının bulunması için 3.13 formunda verilen e itliklerin çözülmesi gerekir. Kullanılacak denklem sayısı alınan sözcükteki hata sayısına e ittir. 3.13'le verilen denklemleri matris biçiminde yazılsın.

$$\begin{bmatrix} S_1 & S_2 & S_3 \\ S_2 & S_3 & S_4 \\ S_3 & S_4 & S_5 \end{bmatrix} \begin{bmatrix} \sigma_3 \\ \sigma_2 \\ \sigma_1 \end{bmatrix} = \begin{bmatrix} -S_4 \\ -S_5 \\ -S_6 \end{bmatrix} \quad (3.14)$$

Tek ve çift hatalı durumlar için 3.14 daha basit bir hal alır.

$$[S_1] \begin{bmatrix} \sigma_1 \end{bmatrix} = \begin{bmatrix} -S_2 \end{bmatrix} \quad (3.15)$$

$$\begin{bmatrix} S_1 & S_2 \\ S_2 & S_3 \end{bmatrix} \begin{bmatrix} \sigma_2 \\ \sigma_1 \end{bmatrix} = \begin{bmatrix} -S_3 \\ -S_4 \end{bmatrix} \quad (3.16)$$

3.14, 3.15 ve 3.16'dan farklı hatalı durumlar için hata yeri polinomunun katsayıları bulunabilmesi için bu ifadelerde yer alan katsayı matrislerinin determinantının sıfırdan farklı olması gerekir. D_2 , 3.16'daki katsayı matrisinin determinanı, D_3 , 3.14'teki üç hatalı durumun katsayı matrisinin determinantıdır ve bu determinantlar 3.17 ve 3.18 ile bellidir.

$$D_2 = S_1 S_3 - S_2^2 \quad (3.17)$$

$$D_3 = S_1 S_3 S_5 + S_2 S_3 S_4 + S_2 S_3 S_4 - S_3^3 - S_1 S_4^2 - S_2^2 S_5 \quad (3.18)$$

Alınan sözcükte kaç hata olduğunu belirlemek için önce D_3 ve D_2 hesaplanır. Tek hatanın olduğu durumda bu iki ifade sıfıra eşittir. Çift hatalı sözcükler için ise sadece D_3 sıfır olur. σ_i 'ler belirlendikten sonra hata yeri polinomunun kökleri, hata yerleri bulunur. Hata yerleri hata belirteci denklemini 3.10'da kullanılırsa hata yerleri bulunur ve kod çözme işlemi tamamlanır. Her kod $GF(2^m)$ alanı üzerinde tanımlı ise toplama ve çıkarma işlemleri de her olduğuundan 3.11 – 3.18 denklemlerinde basitleştirmeler mümkündür. Peterson'ün doğrudan çözüm yönteminin adımlarını üç hata düzelten ve $GF(2^4)$ üzerinde tanımlı (15, 9) RS kodu üzerinde inceleyelim.

1. Hata belirteçleri 3.9 yardımıyla S_k , $1 \leq k \leq 6$ için hesaplanır.

$$S_k = r(\alpha^k)$$

$S_k = 0$, $1 \leq k \leq 6$ ise alınan sözcük bir kod sözcüktür ve iletim sırasında hata oluşmadı varsayılır.

2. Alınan sözcükteki hata sayısının belirlenmesi:

a. $D_3 = S_1 S_3 S_5 + S_3^3 + S_1 S_4^2 + S_2^2 S_5 \neq 0$ ise üç hata olduğu varsayılır.

b. $D_3 = 0$ ve $D_2 = S_1 S_3 + S_2^2 \neq 0$ ise iki hata olduğu varsayılır.

c. $D_3 = D_2 = 0$ ve $S_1 \neq 0$ ise bir hata olduğu varsayılır.

3. Hata yeri polinomunun katsayılarının bulunması

a. Üç hata olması hali:

$$\begin{aligned}\sigma_1 &= \frac{1}{D_3} [S_1 S_3 S_6 + S_1 S_4 S_5 + S_2^2 S_6 + S_2 S_3 S_5 + S_2 S_4^2 + S_3^2 S_4] \\ \sigma_2 &= \frac{1}{D_3} [S_1 S_4 S_6 + S_1 S_5^2 + S_2 S_3 S_6 + S_2 S_4 S_5 + S_3 S_4^2 + S_3^2 S_5] \\ \sigma_3 &= \frac{1}{D_3} [S_2 S_4 S_6 + S_2 S_5^2 + S_3^2 S_6 + S_4^3]\end{aligned}\quad (3.19)$$

b. ki hata olması hali:

$$\begin{aligned}\sigma_1 &= \frac{1}{D_2} [S_1 S_4 + S_2 S_3] \\ \sigma_2 &= \frac{1}{D_2} [S_2 S_4 + S_3^2]\end{aligned}\quad (3.20)$$

c. Bir hata olması hali:

$$\sigma_1 = \beta_1 = \frac{S_2}{S_1}\quad (3.21)$$

4. Hata yerlerinin bulunması:

a. Üç hata olması hali

$$\sigma(X) = X^3 + \sigma_1 X^2 + \sigma_2 X + \sigma_3\quad (3.22)$$

b. ki hata olması hali

$$\sigma(X) = X^2 + \sigma_1 X + \sigma_2\quad (3.23)$$

polinomlarının kökleri bulunur. Tek hata olması halinde hata yeri polinomu

$\sigma(X) = X + \sigma_1$, hata yeri polinomunun kökü 3.21'den de görülebileceği gibi $\sigma_1 = \frac{S_2}{S_1}$ 'dir.

Eğer doğrudan sayıda kök, yani hata yeri bulunamazsa düzeltilemez bir hata olduğunu demektir.

5. Hata yerleri belirlendikten sonra hata belirteci denklemleri 3.10 çözümlenerek hata de erleri hesaplanır.

a. Üç hata olması hali:

$$C = \beta_1 \beta_2^2 \beta_3^3 + \beta_1^3 \beta_2 \beta_3^2 + \beta_1^2 \beta_2^3 \beta_3 + \beta_1^3 \beta_2^2 \beta_3 + \beta_1 \beta_2^3 \beta_3^2 + \beta_1^2 \beta_2 \beta_3^3$$

$$e_{j_1} = \frac{1}{C} [S_1 \beta_2^2 \beta_3^3 + S_2 \beta_2^3 \beta_3 + S_3 \beta_2 \beta_3^2 + S_1 \beta_2^3 \beta_3^2 + S_2 \beta_2 \beta_3^3 + S_3 \beta_2^2 \beta_3]$$

$$e_{j_2} = \frac{1}{C} [S_1 \beta_1^3 \beta_3^2 + S_2 \beta_1 \beta_3^3 + S_3 \beta_1^2 \beta_3 + S_1 \beta_1^2 \beta_3^3 + S_2 \beta_1^3 \beta_3 + S_3 \beta_1 \beta_3^2]$$

$$e_{j_3} = \frac{1}{C} [S_1 \beta_1^2 \beta_2^3 + S_2 \beta_2 \beta_1^3 + S_3 \beta_2^2 \beta_1 + S_1 \beta_1^3 \beta_2^2 + S_2 \beta_2^3 \beta_1 + S_3 \beta_2 \beta_1^2] \quad (3.24)$$

b. ki hata olması hali:

$$e_{j_1} = \frac{S_1 \beta_2 + S_2}{\beta_1 \beta_2 + \beta_1^2}$$

$$e_{j_2} = \frac{S_1 \beta_1 + S_2}{\beta_1 \beta_2 + \beta_2^2} \quad (3.25)$$

c. Tek hata olması hali:

$$e_{j_1} = \frac{S_1^2}{S_2} \quad (3.26)$$

6. Alınan sözcü ün hatalı yerlerindeki semboller, hesaplanan hata de erleri ile toplanarak düzeltme i lemi yapılır.

7. Düzeltildi sözcük için hata belirteci hesaplanır. E er hata belirteci sıfırdan farklı ise düzeltildi sözcük de hatalıdır ve gerçekte hata düzeltilememi tir.

Örnek 3.2. Örnek 3.1’de üreteç polinomu verilen $(15, 9)$ RS kodu için gönderilen kod vektörü $v = (0000000000000000)$, alınan kod vektörü $r = (000\alpha^7 00\alpha^3 00000\alpha^4 00)$ olsun. Alınan sözcü ün polinomsal ifadesi $r(X) = \alpha^7 X^3 + \alpha^3 X^6 + \alpha^4 X^{12}$ olur. 3.9’dan hata belirteçleri,

$$\begin{aligned} S_1 &= \alpha^{12} & S_4 &= \alpha^{10} \\ S_2 &= 1 & S_5 &= 0 \\ S_3 &= \alpha^{14} & S_6 &= \alpha^{12} \end{aligned}$$

olarak bulunur. 3.18’den $D_3 = \alpha^7 \neq 0$ olarak bulunaca ndan üç hata oldu u varsayılır.

3.19 e itliklerinden,

$$\sigma_1 = \alpha^7, \sigma_2 = \alpha^4, \sigma_3 = \alpha^6$$

$$\sigma(X) = X^3 + \alpha^7 X^2 + \alpha^4 X + \alpha^6$$

bulunur. $GF(2^4)$ ’ün tüm elemanları $\sigma(X)$ ’te X yerine konursa

$$\sigma(\alpha^3) = \sigma(\alpha^6) = \sigma(\alpha^{12}) = 0$$

oldu u görülebilir. Buradan 3. , 6. ve 12. sembollerin hatalı alındı ı ortaya çıkar. 3.24 e itliklerinden hata de erleri hesaplanabilir.

$$\begin{aligned} e_3 &= \alpha^7, e_6 = \alpha^3, e_{12} = \alpha^4 \\ e(X) &= \alpha^7 X^3 + \alpha^3 X^6 + \alpha^4 X^{12} \end{aligned}$$

Hata dizisi 3.6.’da yerine konursa

$$v(X) = r(X) + e(X)$$

bulunur. Düzeltilen sözcük için hata belirteçlerinin sıfıra e it olaca ı açıktır. Üç yerde hatalı iletilen sıfır kod sözcü ündeki hatalar düzeltilmi tir.

2.3.3.3. Berlekamp Yöntemi

Peterson yöntemiyle az sayıda hatalı sembolü düzelten kodların çözümü basittir. Altıdan fazla hatalı kodların çözümünde $\sigma(X)$ 'in katsayılarının hesaplanması oldukça karmaşık işlemler gerektirdiğinden ikili BCH kodlarının çözümünde olduğu gibi RS kodlarının çözümünde de Berlekamp yönteminden yararlanılır. İkili BCH kodlarından farklı olarak RS kodlarının çözümünde hata degerinin de bulunması gerekir. Hata yerleri belirlendikten, hata degerlendirme polinomu, $\omega(X)$ bulunarak hata degerleri hesaplanır. $\omega(X)$ ve $\sigma(X)$ arasındaki ilişki 3.27 bağıntısıyla bellidir.

$$\omega(X) = \sigma(X)[1 + S(X)] \text{ mod } X^{2t+1} \quad (3.27)$$

Bu bağıntı anahtar ektik olarak bilinir ve BCH kodların Berlekamp yöntemiyle çözümünde kullanılır.

Bağıntıda $S(X)$ hata belirteci polinomu olarak bilinir ve

$$S(X) = S_1 X + S_2 X^2 + \dots + S_{2t} X^{2t} \quad (3.28)$$

biçimindedir. Ayrıca anahtar ektikteki hata yeri polinomu $\sigma(X)$ 'in tanımı Peterson yönteminden farklıdır. Artık $\sigma(X)$, β_i hata yerleri ve $i = 1, 2, \dots, t$ olmak üzere;

$$\sigma(X) = (1 + \beta_1 X)(1 + \beta_2 X) \dots (1 + \beta_t X) \quad (3.29)$$

şeklinde tanımlanmıştır. Yani $\sigma(X)$ 'in köklerinin tersi hata yerlerini vermektedir. Berlekamp yöntemi $\sigma(X)$ 'in bulunması için geliştirilmiş iteratif bir yöntemdir. Hata yeri polinomu bulunduğundan sonra polinomun köklerinin tersleri hata yerlerini verir. Hata yeri polinomu 3.27'de yerine konursa hata degerlendirme polinomu $\omega(X)$ bulunur. $\sigma'(X)$, hata yeri polinomu $\sigma(X)$ 'in X 'e türevi olmak üzere, β_i hata yerine karşılık gelen hata degerleri e_{j_i} , 3.30 ifadesiyle hesaplanır.

$$e_{j_i} = \beta_i \frac{\omega(\beta_i^{-1})}{\sigma'(\beta_i^{-1})} \quad (3.30)$$

3.7 yardımıyla hata polinomu $e(X)$ bulunur ve 3.6 ile verilen $v(X) = r(X) + e(X)$ ifadesinde yerine konursa hata düzeltme işlemi gerçekleştirilir.

Örnek 3.3: Berlekamp yöntemi, Örnek 3.2’de Peterson yöntemiyle çözülen RS koduna uygulanacaktır. (15, 9) RS kodu için gönderilen kod vektörü $v = (0000000000000000)$, alınan kod vektörü $r = (000\alpha^7 00\alpha^3 00000\alpha^4 00)$ olsun. Alınan sözcüğün polinomsal ifadesi $r(X) = \alpha^7 X^3 + \alpha^3 X^6 + \alpha^4 X^{12}$ olur. 3.9’den hata belirteçleri,

$$\begin{aligned} S_1 &= \alpha^{12} & S_4 &= \alpha^{10} \\ S_2 &= 1 & S_5 &= 0 \\ S_3 &= \alpha^{14} & S_6 &= \alpha^{12} \end{aligned}$$

olarak bulunur. Berlekamp yöntemini Tablo 7’yi doldurarak uygulanır.

Tablo 7. Berlekamp yönteminin Örnek 3.3’e uygulanması

μ	$\sigma^{(\mu)}(X)$	d_μ	l_μ	$\mu - l_\mu$
-1	1	1	0	-1
0	1	$S_1 = \alpha^{12}$	0	0
1	$1 + \alpha^{12} X$	α^7	1	0
2	$1 + \alpha^3 X$	1	1	1
3	$1 + \alpha^3 X + \alpha^3 X^2$	α^7	2	1
4	$1 + \alpha^4 X + \alpha X^2$	α^{10}	2	2
5	$1 + \alpha^7 X + \alpha^4 X^2 + \alpha^6 X^3$	0	3	2
6	$1 + \alpha^7 X + \alpha^4 X^2 + \alpha^6 X^3$	-	-	-

Yöntemin 5. adımında minimum uzaklı ı $d_{\mu} = 0$ olarak hesaplanan polinom hata yeri polinomudur.

$$\sigma(X) = 1 + \alpha^7 X + \alpha^4 X^2 + \alpha^6 X^3$$

3.27 ile verilen anahtar e itlikten hata de erlendirme polinomu hesaplanır.

$$\omega(X) = \sigma(X)[1 + S(X)] \bmod X^{2t+1}$$

$$\omega(X) = [\alpha^3 X^9 + \alpha X^8 + X^7 + \alpha^6 X^3 + X^2 + \alpha^2 X + 1] \bmod X^7$$

$$\omega(X) = \alpha^6 X^3 + X^2 + \alpha^2 X + 1$$

$GF(2^4)$ 'ün tüm elemanları $\sigma(X)$ 'de yerine konursa, $\alpha^3, \alpha^9, \alpha^{12}$ $\sigma(X)$ 'in kökleri olarak bulunur. Köklerin tersi $\alpha^{12}, \alpha^6, \alpha^3$ hata yerleridir. Yani 3. , 6. ve 12. semboller hatalı alınmıştır. Hata de erlerinin hesabı için 3.30 kullanılırsa;

$$e_3 = (\alpha^3)^{-1} \frac{\omega((\alpha^3)^{-1})}{\sigma((\alpha^3)^{-1})} = \alpha^7$$

$$e_6 = (\alpha^6)^{-1} \frac{\omega((\alpha^6)^{-1})}{\sigma((\alpha^6)^{-1})} = \alpha^3$$

$$e_{12} = (\alpha^{12})^{-1} \frac{\omega((\alpha^{12})^{-1})}{\sigma((\alpha^{12})^{-1})} = \alpha^4$$

bulunur.

Hata polinomu

$$e(X) = \alpha^7 X^3 + \alpha^3 X^6 + \alpha^4 X^{12}$$

olur. Sonuç, Peterson yöntemiyle elde edilen ile aynıdır. 3.6 kullanılarak hata düzeltme işlemi yapılır.

$$v(X) = r(X) + e(X) = 0$$

2.3.3.4. Euclid Yöntemi

RS kodlarının çözümünde Euclid yöntemi de kullanılabilir. Euclid yöntemi, A ve B olarak verilen herhangi iki tamsayı veya polinomun ortak bölenlerinin en büyüğü (OBEB), C 'yi verir. Ayrıca $C=SA+TB$ e itli ini sa layan S ve T tamsayıları veya polinomlarını da bulur. Anahtar e itli i 3.31 biçimde ifade edilirse Euclid yöntemiyle $\sigma(X)$ ve $\omega(X)$ polinomları bulunabilir.

$$\omega(X) = \sigma(X)[1 + S(X)] + \mu(X)X^{2t+1} \quad (3.31)$$

Yöntemi uygularken $A = X^{2t+1}$, $B = 1 + S(X)$ polinomlarını seçersek, $\sigma(X)$ ve $\omega(X)$ polinomlarını bulabiliriz. Öncelikle Euclid yöntemini tamsayılar ve polinomlar için tanımlanarak ve yöntemin uygulanmasını bir örnek üzerinde incelenecektir.

A ve B tamsayı ise $A \geq B$, polinom ise A 'nın derecesi ve B 'nin derecesinden daha büyük e it olsun ($der(A) \geq der(B)$) Ba langıç ko ulu olarak $r_{-1} = A$ ve $r_0 = B$ seçersek, yöntemin n . a dımında r_{n-2} 'nin r_{n-1} 'e bölümünden kalan r_n 'i elde ederiz. ($r_{n-2} = q_n r_{n-1} + r_n$). Tamsayılar için $r_n \leq r_{n-1}$ ve polinomlar için $der(r_n) \leq der(r_{n-1})$ olur ve n . adımındaki r_n

$$r_n = r_{n-2} - q_n r_{n-1} \quad (3.32)$$

ile bulunur. Aynı zamanda $r_n = s_n A + t_n B$ e itli ini sa layan s_n ve t_n sayıları da bulunabilir. 3.32'ye benzer ifadeler s_n ve t_n içinde geçerlidir.

$$s_n = s_{n-2} - q_n s_{n-1} \quad (3.33)$$

$$t_n = t_{n-2} - q_n t_{n-1} \quad (3.34)$$

$r_{-1} = A = (1)A + (0)B$ ve $r_0 = B = (0)A + (1)B$ oldu undan ba langıç ko ulu olarak $s_{-1} = 1, t_{-1} = 1, s_0 = 0, t_0 = 1$ alınır.

Örnek olarak 124 ve 46 sayılarının *OBEB*'ini bulmak için Euclid yöntemi kullanılsın. İlk adımda 124'ün 46'ya bölümünden kalan $r_1 = 32$, bölüm $q_1 = 2$ 'dir. İkinci adımda 46'nın 32'ye bölümünden kalan $r_2 = 14$, bölüm $q_2 = 1$ olur.

Bölümden kalan sıfır oluncaya kadar i leme devam edilirse $OBEB(124,46) = 2$ bulunur. Yöntemin her adımında kalan s_n ve t_n cinsinden a a ıdaki gibi ifade edilebilir.

$$124 = (1).124 + (0).46$$

$$46 = (0).124 + (1).46$$

$$32 = (1).124 + (-2).46$$

$$14 = (-1).124 + (3).46$$

$$4 = (3).124 + (-8).46$$

$$2 = 10).124 + (27).46$$

$$0 = (23).124 + (-62).46$$

Euclid yöntemini uygulamanın en kolay yolu r_n, q_n, s_n ve t_n için bir tablo olu turmaktır.

Örne e ili kin Tablo 8. a a ıda verilmi tir.

Tablo 8. Euclid yönteminin tamsayılara uygulanı ı

n	r_n	q_n	$s_n = s_{n-1} - q_n s_{n-2}$	$t_n = t_{n-1} - q_n t_{n-2}$
-1	124	-	1	0
0	46	-	0	1
1	32	2	1	-2
2	14	1	-1	3
3	4	2	3	-8
4	2	3	-10	27
5	0	2	23	-62

Euclid yöntemini

$$\omega(X) = \sigma(X)[1 + S(X)] + \mu(X)X^{2t+1}$$

anahtar e itli inin çözümünde kullanmak üzere, X^{2t+1} ve $[1 + S(X)]$ 'e uygularsak, kodun hata kapasitesi a ılmadı ı sürece belli bir adımda

$$r_n(X) = s_n(X)X^{2t+1} + t_n(X)[1 + S(X)] \quad (3.35)$$

elde ederiz. Burada n , $der(r_n) \leq t$ özelli ini sa layan ilk n de eridir. Bu sonuca ba lı olarak

$$\sigma(X) = t_n(X) \quad (3.36)$$

$$\omega(X) = r_n(X) \quad (3.37)$$

elde edilir. Artık hata yeri polinomu ve hata de erlendirme polinomu bulundu undan 3.30 yardımıyla hata de erleri bulunup kod çözme i lemi tamamlanabilir.

Örnek 3.4: Euclid yöntemini, Örnek 3.2'de Peterson yöntemiyle çözülen RS koduna uygulansın. $(15, 9)$ RS kodu için gönderilen kod vektörü $v = (0000000000000000)$, alınan kod vektörü $r = (000\alpha^7 00\alpha^3 00000\alpha^4 00)$ olsun. Alınan kod sözcü ün polinomsal ifadesi $r(X) = \alpha^7 X^3 + \alpha^3 X^6 + \alpha^4 X^{12}$ olur. 3.9'dan hata belirteçleri,

$$\begin{array}{ll} S_1 = \alpha^{12} & S_4 = \alpha^{10} \\ S_2 = 1 & S_5 = 0 \\ S_3 = \alpha^{14} & S_6 = \alpha^{12} \end{array}$$

$$S(X) = \alpha^{12} X^6 + \alpha^{10} X^4 + \alpha^{14} X^3 + X^2 + \alpha^{12} X$$

olarak bulunur. Euclid yöntemini uygulamak üzere Tablo 9'ulu turalım.

Tablo 9. Euclid yönteminin Örnek 3.4'e uygulananı 1

n	r_n	q_n	$t_n = t_{n-2} - q_n t_{n-1}$
-1	X^7	-	0
0	$1 + S(X)$	-	1
1	$\alpha^{13} X^5 + \alpha^2 X^4 + \alpha^3 X^3 + X^2 + \alpha^3 X$	$\alpha^3 X$	$\alpha^3 X$
2	$\alpha^8 X^4 + \alpha^6 X^3 + \alpha^{13} X^2 + \alpha^4 X + 1$	$\alpha^4 X + \alpha^3$	$\alpha^2 X^2 + \alpha^6 X + 1$
3	$\alpha^7 X^3 + \alpha X^2 + \alpha^3 X + \alpha$	$\alpha^5 X + \alpha$	$\alpha^7 X^3 + \alpha^5 X^2 + \alpha^8 X + \alpha$

Yöntemin üçüncü adımında $der(r_3) = 3 \leq t = 3$ oldu undan

$$\omega(X) = \alpha^7 X^3 + \alpha X^2 + \alpha^3 X + \alpha$$

$$\sigma(X) = \alpha^7 X^3 + \alpha^5 X^2 + \alpha^8 X + \alpha$$

elde edilir. Dikkat edilirse elde edilen polinomlar Berlekamp yöntemiyle elde edilen polinomların α katı kadardır. Bu durum hata yeri polinomunun köklerini de i tirmeden sonucu etkilemez. Hata de erlerinin bulunmasında 3.30 ifadesine dikkat edilirse $\omega(X)$ ve $\sigma(X)$ bölüm halinde oldu undan α çarpanı sadele ece inden hata de erleri de de i mez. Hata de erleri

$$e_3 = (\alpha^3)^{-1} \frac{\omega\left((\alpha^3)^{-1}\right)}{\sigma\left((\alpha^3)^{-1}\right)} = \alpha^7$$

$$e_6 = (\alpha^6)^{-1} \frac{\omega\left((\alpha^6)^{-1}\right)}{\sigma\left((\alpha^6)^{-1}\right)} = \alpha^3$$

$$e_{12} = (\alpha^{12})^{-1} \frac{\omega\left((\alpha^{12})^{-1}\right)}{\sigma\left((\alpha^{12})^{-1}\right)} = \alpha^4$$

olarak bulunur.

Hata polinomu

$$e(X) = \alpha^7 X^3 + \alpha^3 X^6 + \alpha^4 X^{12}$$

olur ve 3.6. kullanılarak hata düzeltme işlemi yapılır.

$$v(X) = r(X) + e(X) = 0$$

3. BULGULAR VE TARTI MA

Bu kısımda, AWGN ve dar bantlı Rayleigh kanal baz alınarak, reel ve karma ık datalardan olu an veri paketlerinin Reed – Solomon kod çözücüdeki ba arımını etkileyen faktörler (modülasyon ve kod hızı) de i tirilmek suretiyle elde edilen farklı benzetim sonuçları verilmi tir.

Benzetimlerde, modülasyon teknikleri olarak BPSK, QPSK ve 16-QAM kullanılmı tir. Ayrıca benzetimlerde, dizi uzunlu u 1000 sembol, kanal sayısı 200 olarak seçilmi tir. 3/7, 3/5 ve 15/16 kod hızlarına sahip Reed – Solomon kodları için kod çözme algoritması olarak Berlekamp – Massey ve Forney algoritmaları kullanılmı tir. Tüm benzetim sonuçları, bit hata oranı (BER) ve sembol hata oranı (SER) çizelgeleri kullanılarak ifade edilmi tir. ıret gürültü oranı (SNR), dB cinsinden ifade edilmi olup, BPSK modülasyonu için E_b/N_o de erini temsil eder. QPSK modülasyonu için E_b/N_o (dB) = SNR (dB) + 3 dB ve 16-QAM modülasyonu için ise E_b/N_o (dB) = SNR (dB) + 6 dB de eri ile belirlenir.

Benzetim programı, Visual Studio 2005 paket programı kullanılarak yazılmı tir. Reel dataların simülasyonunda AWGN kanal için üretilen Gauss gürültüsü n_1 ,

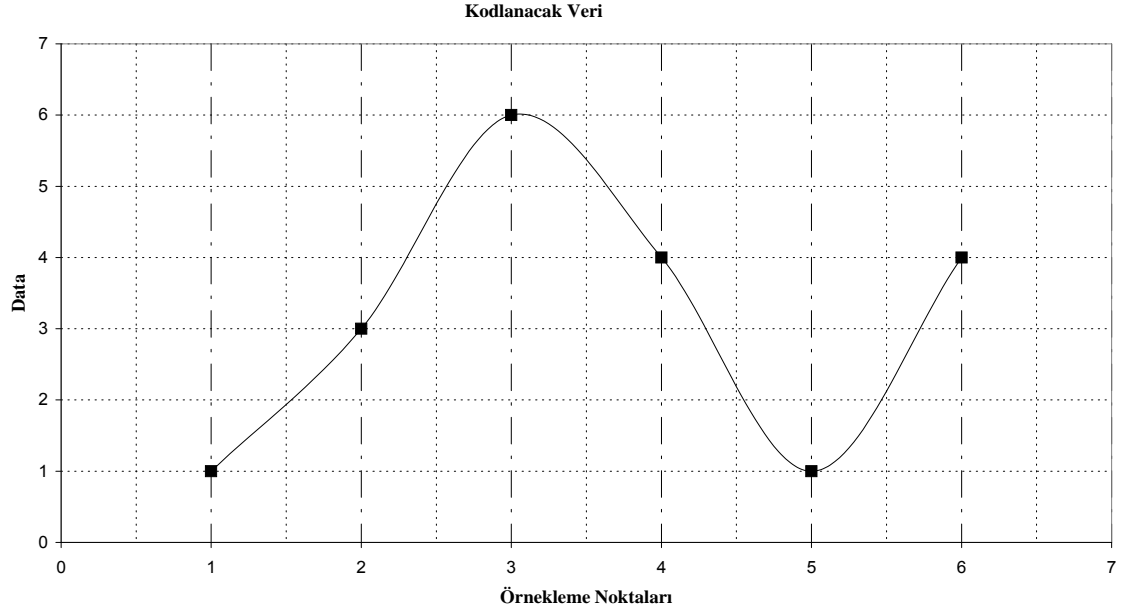
$$n_1 = \sqrt{-2\delta \log(U_1)} \cdot \cos(U_2) \quad (3.1)$$

Karma ık dataların simülasyonunda ise AWGN ve Rayleigh kanallar için Gauss gürültüsü n_2 ,

$$n_2 = \sqrt{-2\delta \log(U_1)} \cdot \cos(U_2) + j\sqrt{-2\delta \log(U_1)} \cdot \sin(U_2) \quad (3.2)$$

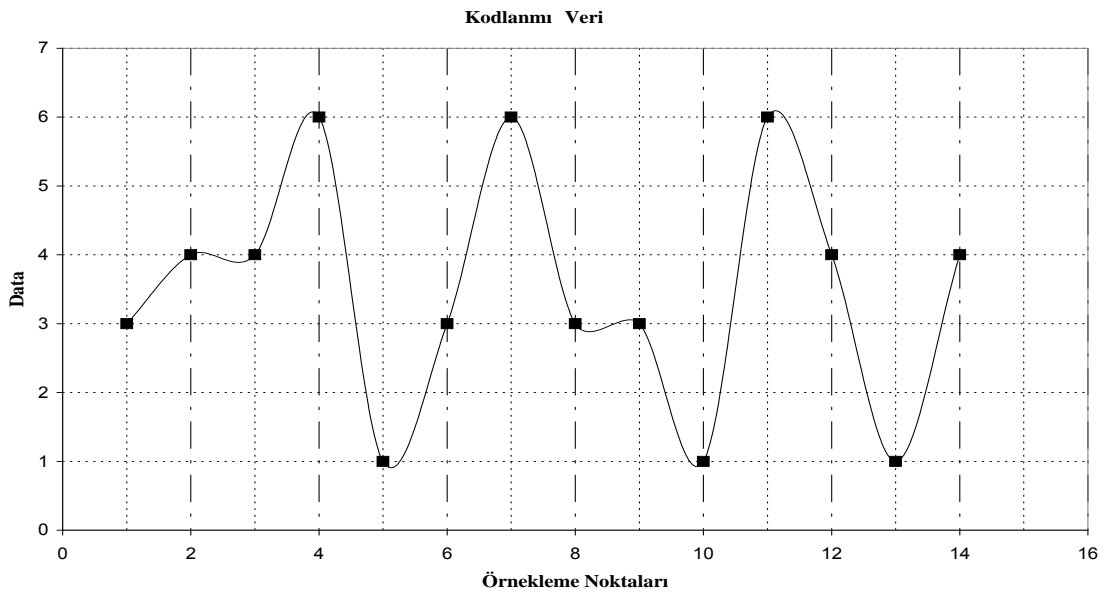
eklindedir. Burada U_1 ve U_2 , [0.0 - 1.0] aralı nda düzenli da ılıma sahip, ba ımsız rasgele de i kenleri temsil etmekte ve “rnd(&seed)” fonksiyonu kullanılarak elde edilmektedir. “rnd(&seed)” fonksiyonu, [0.0 - 1.0] aralı nda düzenli da ılıma sahip reel sayılar üretmektedir. Gürültü varyansı $\delta = 0,001$ olarak alınmı tir.

ekil 15'de kodlanacak veri paketi içinden alınan herhangi bir data paketi gösterilmektedir.



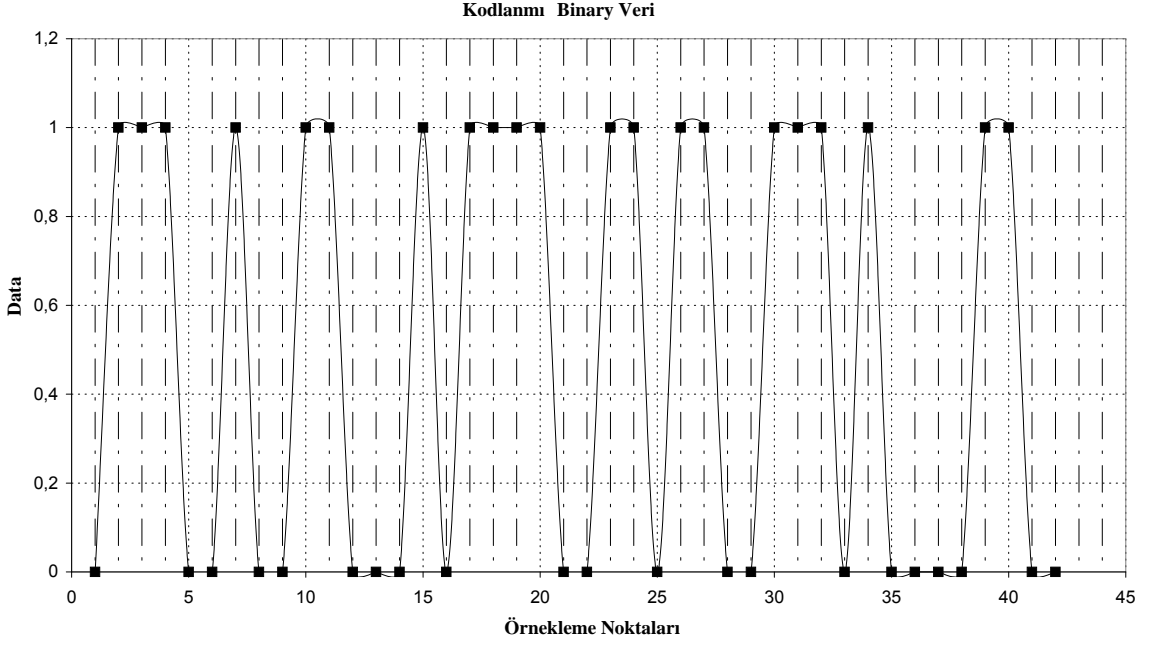
ekil 15. Kodlanacak veri

ekil 16'da kodlanmış veri paketi gösterilmektedir.



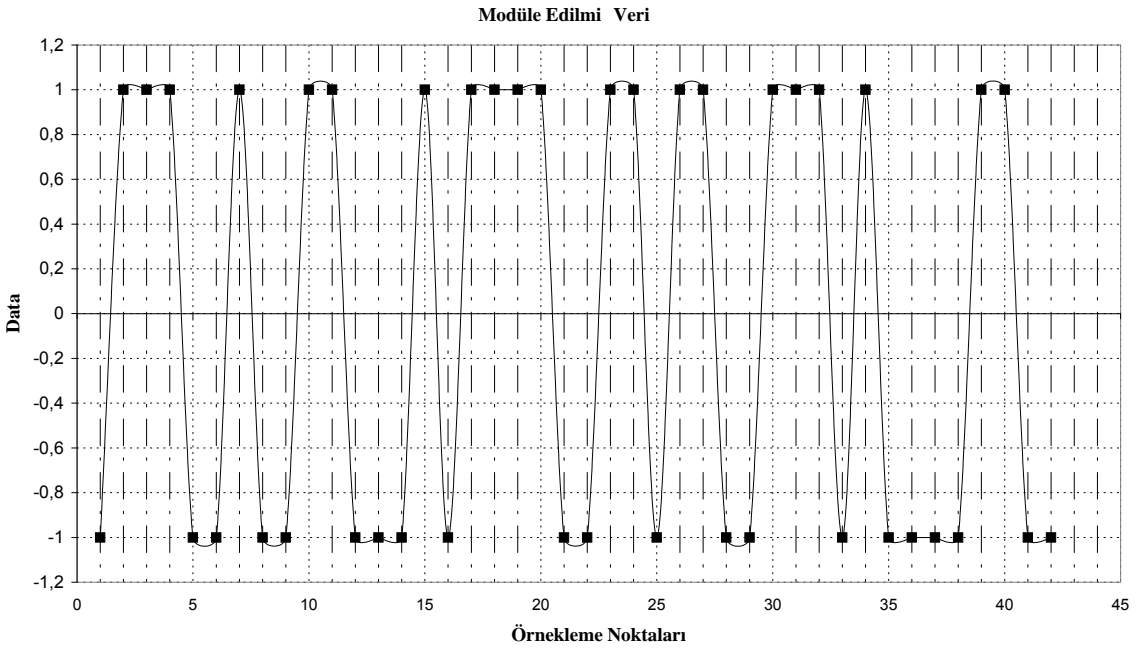
ekil 16. Kodlanmış veri

ekil 17'de kodlanmış binary veri gösterilmektedir.



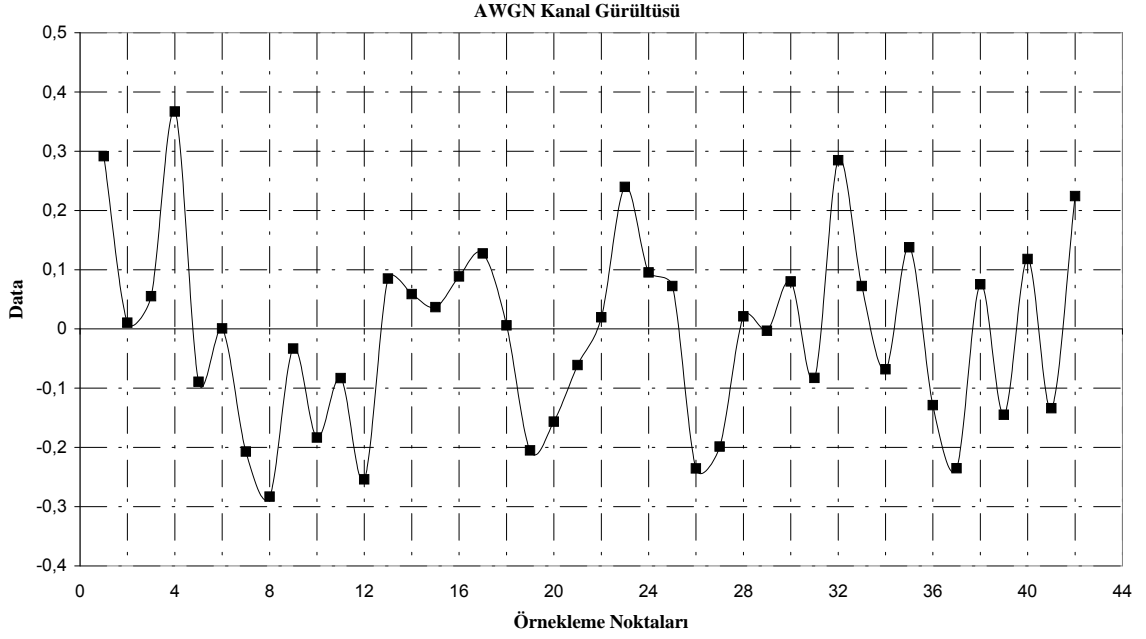
ekil 17. Kodlanmış binary veri

ekil 18'de kodlanmış ve module edilmiş veri paketi gösterilmektedir



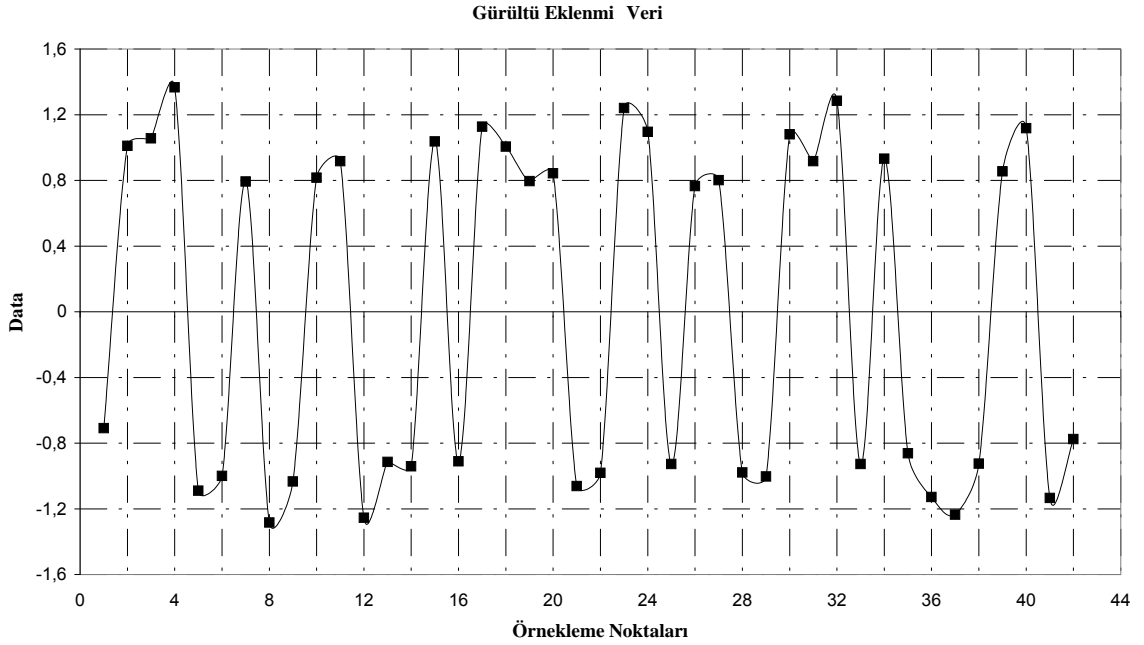
ekil 18. Module edilmiş veri

ekil 19'da gürültü paketi gösterilmektedir



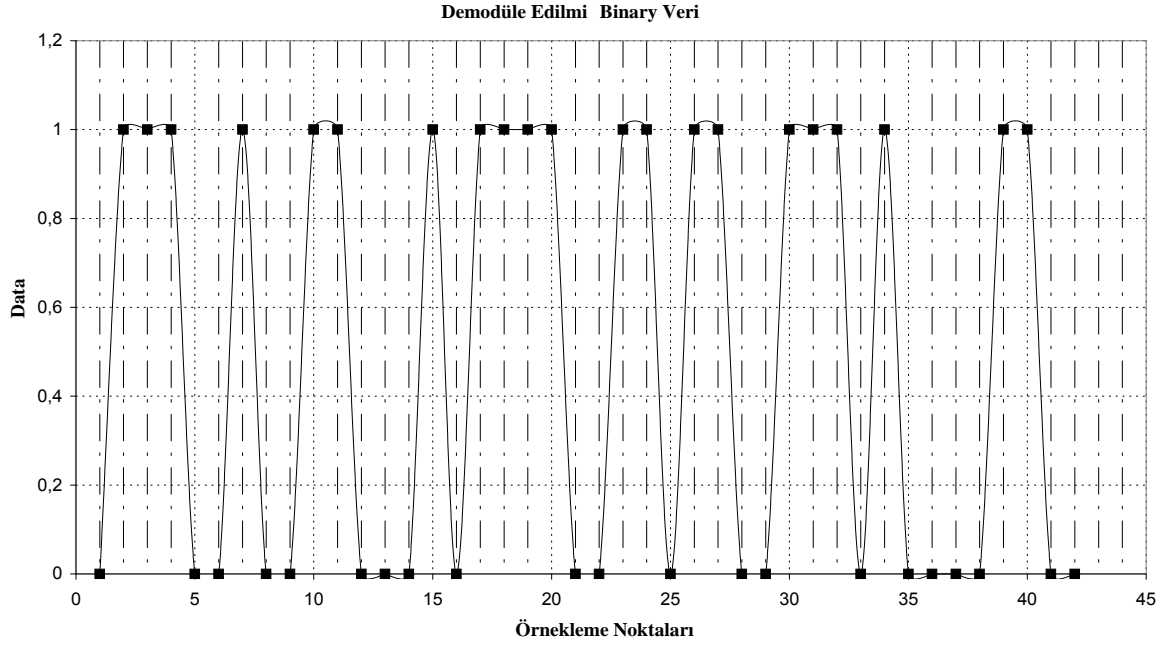
ekil 19. Gürültü paketi

ekil 20'de gürültü eklenmiş veri paketi gösterilmektedir



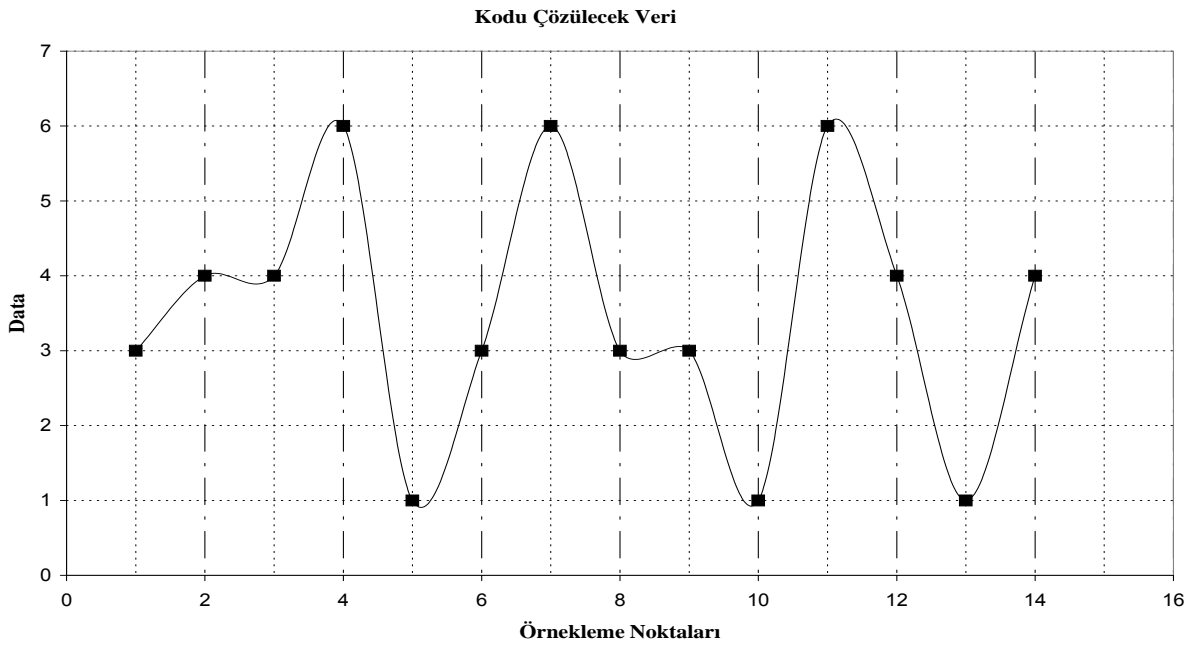
ekil 20. Gürültü eklenmiş veri paketi

ekil 21’de demodüle edilmi veri paketi gösterilmektedir.



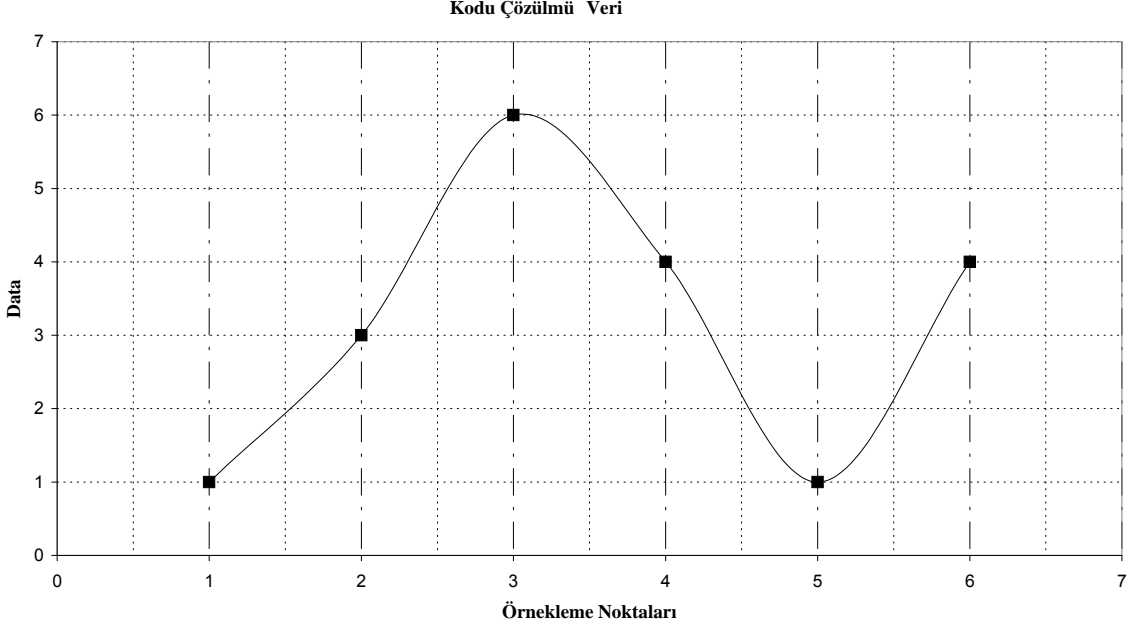
ekil 21. Demodüle edilmi veri paketi

ekil 22’de kodu çözülecek veri paketi gösterilmektedir.



ekil 22. Kodu çözülecek veri paketi

ekil 23'de kodu çözülmü veri paketi gösterilmektedir.



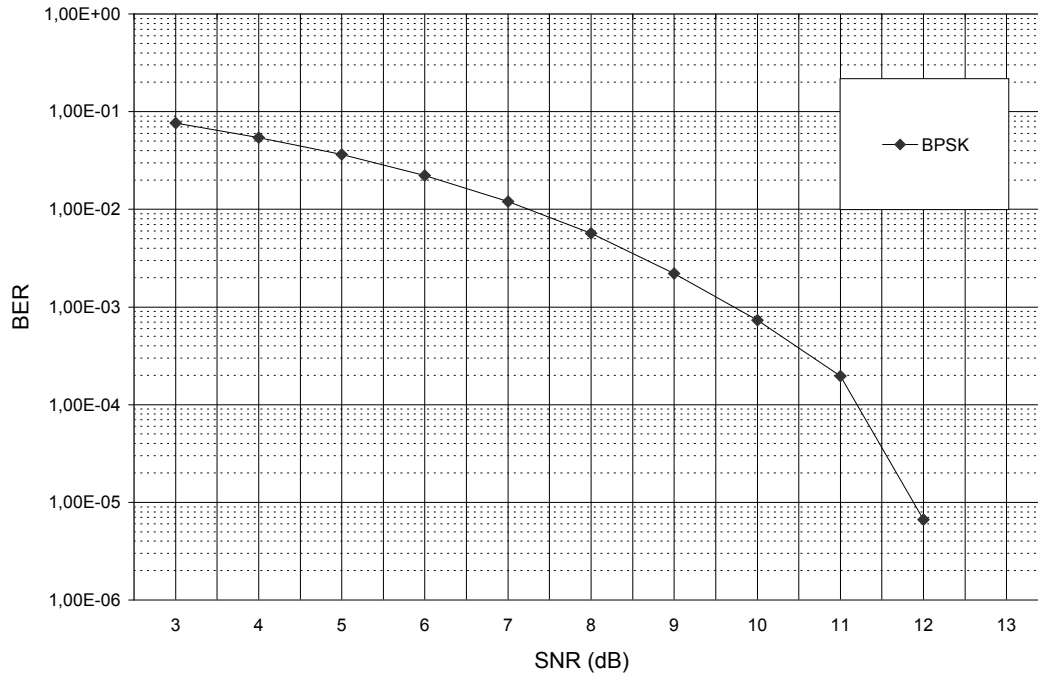
ekil 23. Kodu çözülmü veri paketi

3.1. Reed Solomon Kod Çözücünde Kod Hızının Etkisi (BER Analizi)

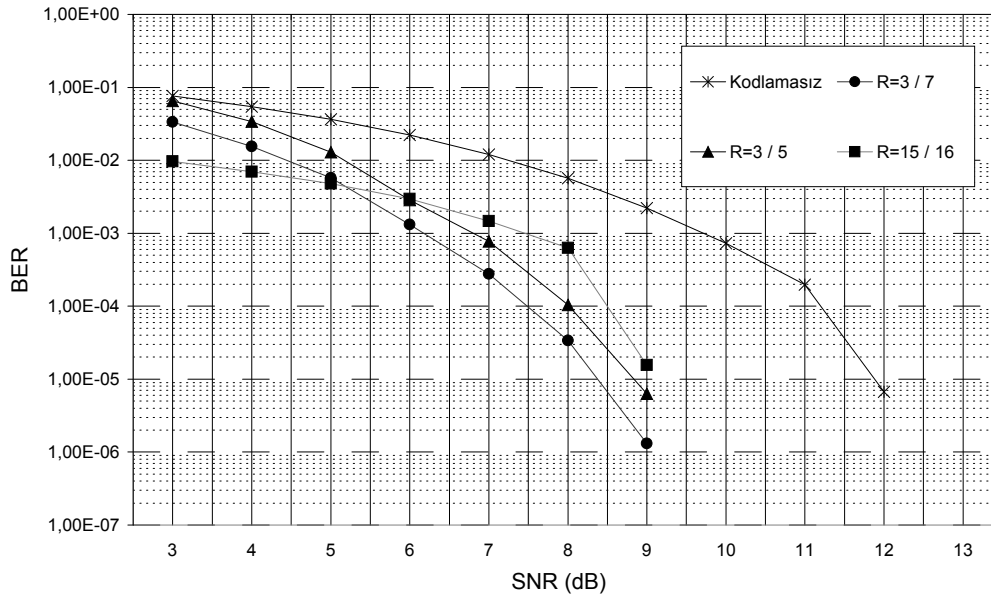
Benzetim sonuçlarında kod hızının etkisini gösterebilmek için, farklı modülasyon ve kanal modelleri kullanılarak, de i ik kod hızları için benzetimler elde edilmiştir.

Kod hızındaki de i im, ba arımdaki de i imle kısmen ters orantılıdır. Kod hızındaki azalma, yani bir biti kodlamak için kullanılan bit sayısındaki artı , do al olarak ba arımında bir yükselmeye neden olacaktır. Kod hızındaki azalma, Reed –Solomon kod çözücünün de i lem yükünü arttırmaktadır. ekil 16'da, AWGN kanaldan gönderilen reel datalar için farklı kod hızlarında elde edilen benzetimler verilmiştir. Modülasyon olarak BPSK kullanılmıştır. Farklı kod hızları arasında yaklaşık 1 dB'lik ba arım farkı elde edilmiştir. Kodlamasız duruma göre en iyi sonucu veren RS (7,3) kodlama sisteminin kullanılması durumunda bit hata olasılı ının 10^{-5} olduğu mertebelerde yaklaşık 3,5 dB kazanç elde edilmiştir.

ekil 24'te AWGN kanaldaki BPSK ba arımı gösterilmektedir

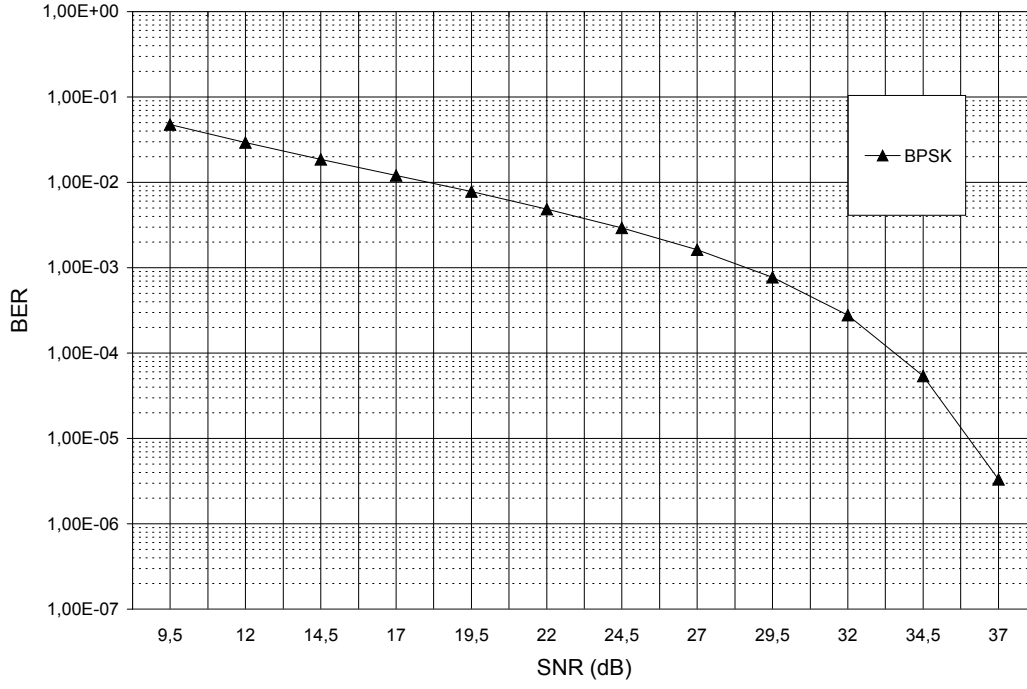


ekil 24. AWGN kanalda BPSK ba arımı, BER Analizi

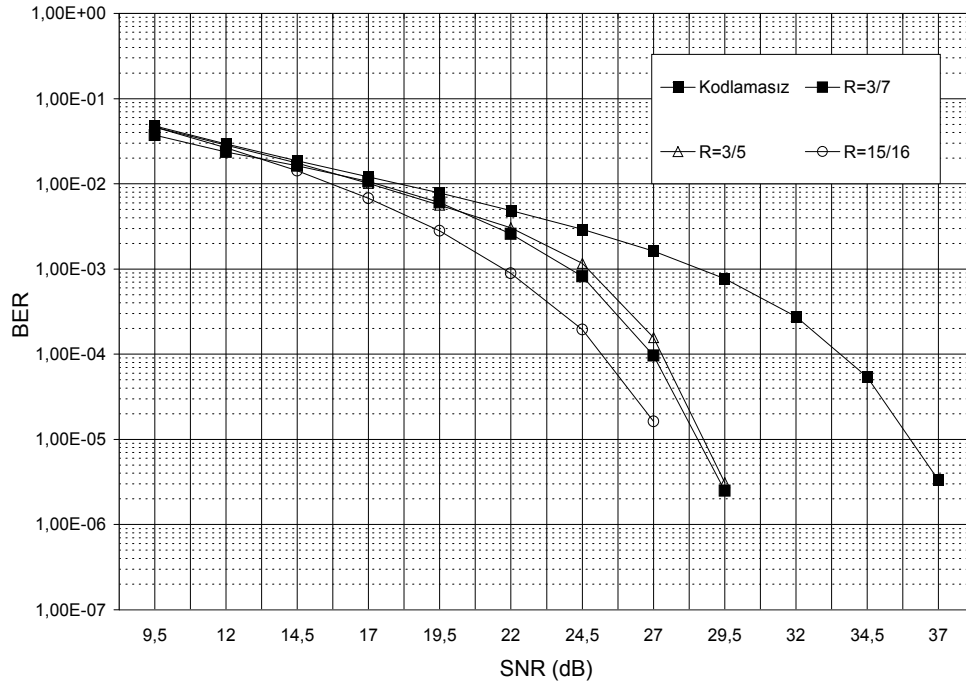


ekil 25. Kod hızının Reed – Solomon kod çözücü ba arımına etkisi, BER Analizi
[1000 sembol, 200 kanal, AWGN kanal, BPSK modülasyonu]

ekil 26'da Rayleigh kanalındaki BPSK ba arımı gösterilmektedir.



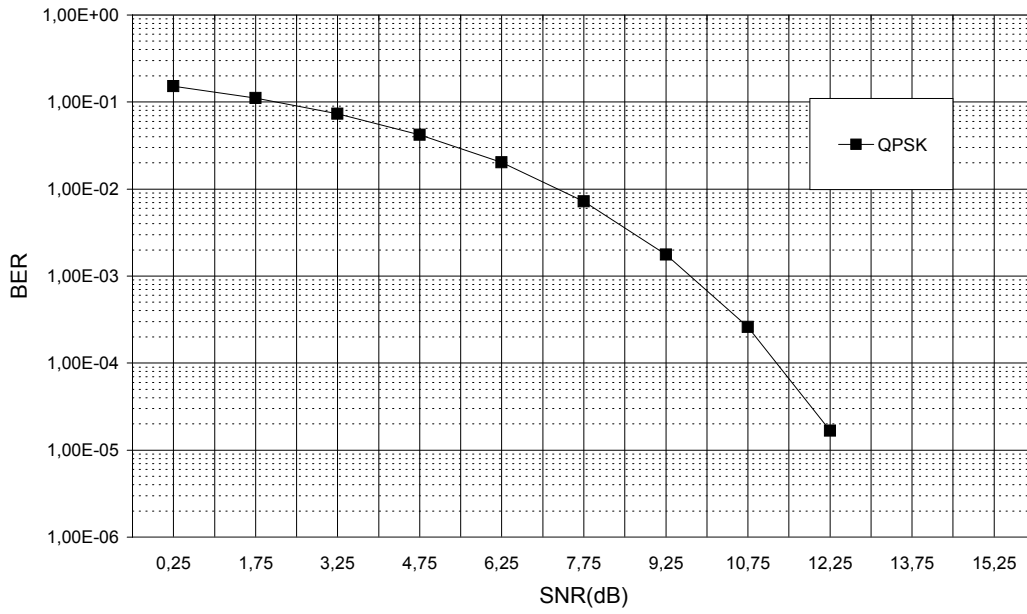
ekil 26. Rayleigh kanalda BPSK ba arımı, BER Analizi



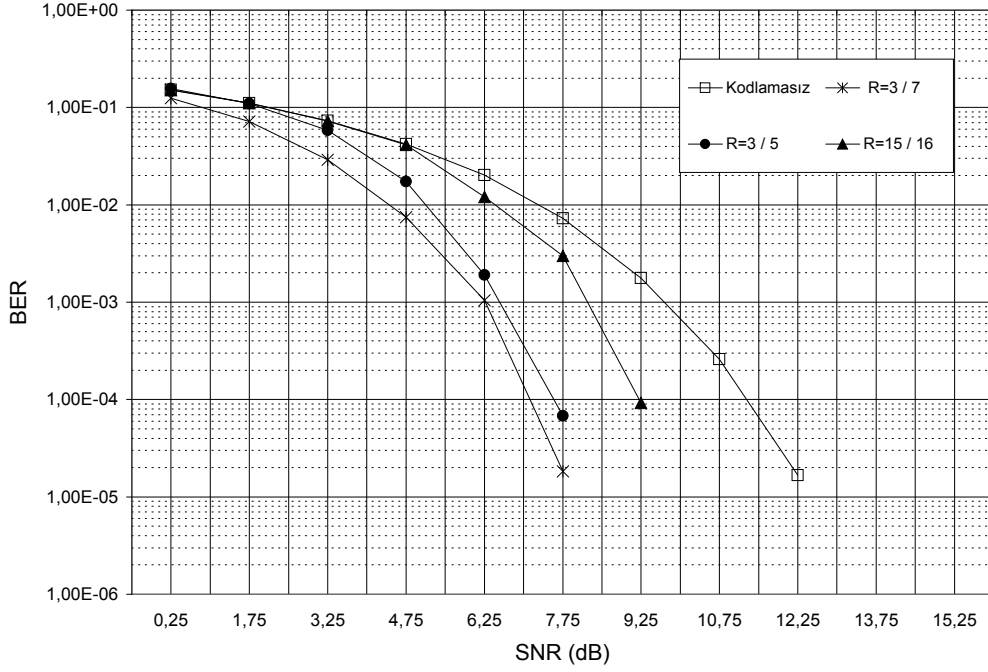
ekil 27. Kod hızının Reed – Solomon kod çözücü ba arımına etkisi, BER Analizi
[1000 sembol, 200 kanal, Rayleigh kanal, BPSK modülasyonu]

ekil 27’de, Rayleigh kanaldan gönderilen reel datalar için farklı kod hızlarında elde edilen benzetimler verilmiştir. Modülasyon olarak BPSK kullanılmıştır. Farklı kod hızları arasında yaklaşık 1 dB’lik bağımsızlık farkı elde edilmiştir. Kodlamasız duruma göre en iyi sonucu veren RS (255,239) kodlama sisteminin kullanılması durumunda bit hata olasılığının 10^{-5} olduğu mertebelerde yaklaşık 8,6 dB kazanç elde edilmiştir.

ekil 28’de AWGN kanalındaki QPSK bağımsızlık gösterilmektedir.



ekil 28. AWGN kanalda QPSK bağımsızlık, BER Analizi

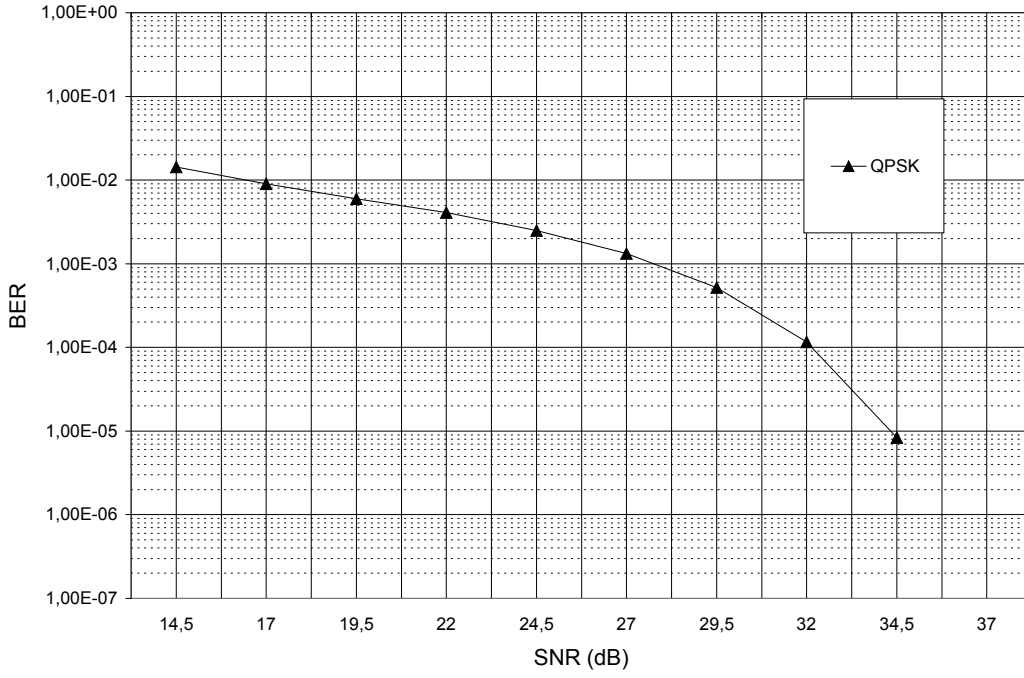


ekil 29. Kod hızının Reed – Solomon kod çözümü ba arımına etkisi, BER Analizi
[1000 sembol, 200 kanal, AWGN kanal, QPSK modülasyonu]

ekil 29’da karma ık veriler üzerinden AWGN kanalda farklı kod hızları için elde edilen benzetimler yer almaktadır. Modülasyon tipi QPSK olarak seçilmi tir. AWGN kanalda kod hızları arasında yapılan kar ıla tırmada yakla ık 2,15 dB’lik ba arım farkı elde edildi i görülmektedir. Kodlamasız duruma göre en iyi sonucu veren RS (7,3) kodlaması yapılması durumunda ise bit hata olasılı ı 10^{-5} mertebelerinde iken yakla ık 4,5 dB kazanç elde edilmi tir.

Kanalın Rayleigh seçilmesi durumunda ise en iyi sonucu; di er kanallarda elde edilenlerin tersine RS(255,239) kodlama sistemi vermi tir. ekil 31’de bu durum gözlemlenebilmektedir.

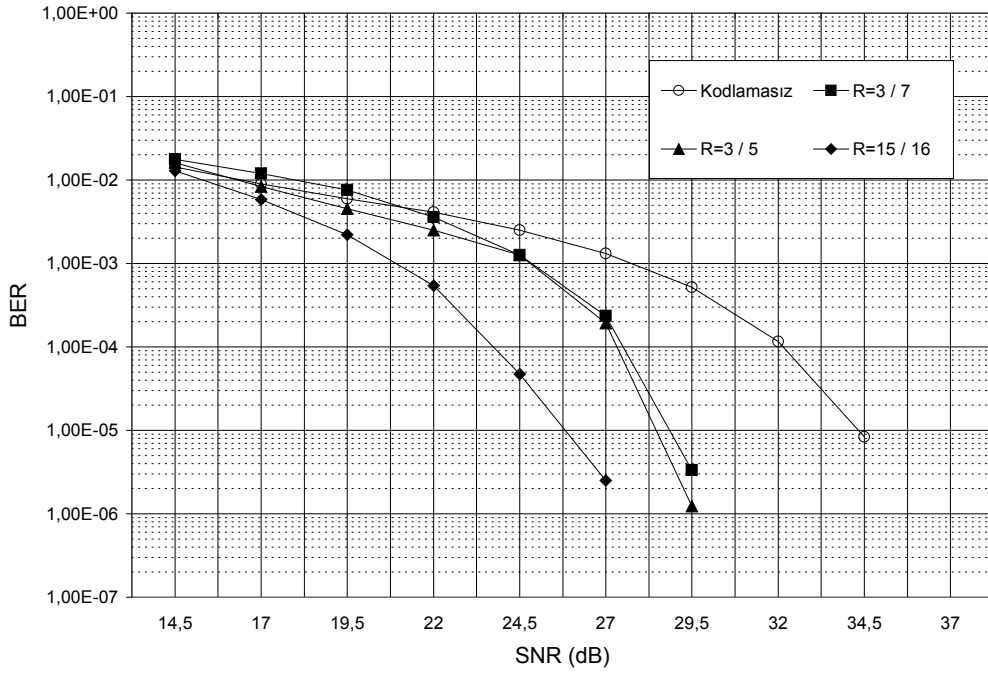
ekil 30’da, Rayleigh kanaldaki QPSK ba arımı gösterilmektedir.



ekil 30. Rayleigh kanalda QPSK ba arımı, BER Analizi

ekil 31’de karma ık veriler kullanılarak Rayleigh kanalda farklı kod hızları için elde edilen benzetimler yer almaktadır. Modülasyon tipi olarak QPSK seçilmi tir.

Bit hata olasılı ının 10^{-5} mertebelerinde oldu u durumlarda kodlamasız duruma göre kar ıla tırma yapılırsa yakla ık 8,75 dB kazanç elde edildi i görülmektedir. Bununla birlikte farklı kod oranları arasında ise yakla ık 3,25 dB’lik ba arım farkı elde edilmi tir.

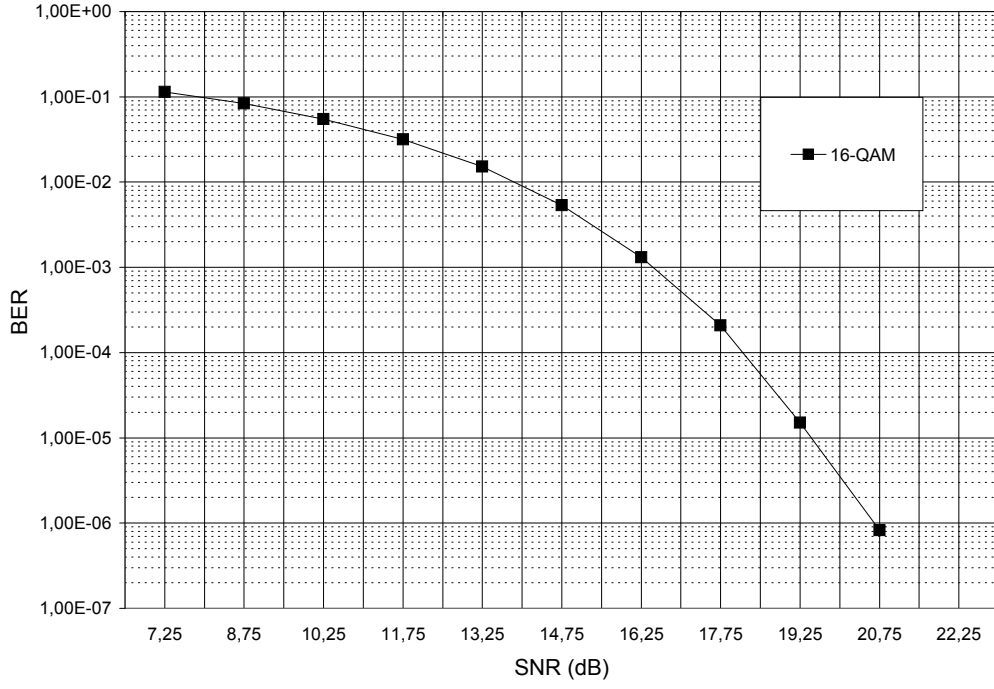


ekil 31. Kod hızının Reed – Solomon kod çözücü ba arımına etkisi, BER Analizi [1000 sembol, 200 kanal, Rayleigh kanal, QPSK modülasyonu]

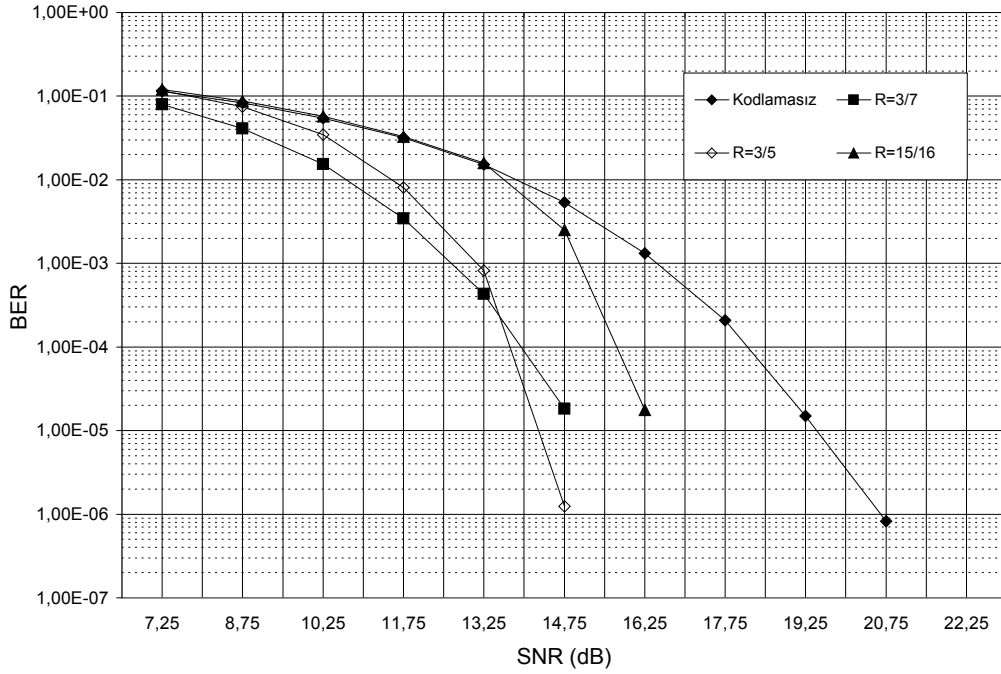
ekil 32’de karma ık veriler üzerinden AWGN kanaldaki 16-QAM ba arımı verilmektedir.

ekil 33’te ise karma ık veriler kullanılarak AWGN kanalda farklı kod hızları için elde edilen benzetimler yer almaktadır. Modülasyon tipi olarak 16-QAM seçilmi tir.

Kodlamasız duruma göre en iyi sonucu veren RS (15,9) kodlama sisteminin kullanılması durumunda bit hata olasılı mın 10^{-5} oldu u mertebelerde yakla ık 5,25 dB kazanç elde edilmi tir. Bununla birlikte farklı kod oranları arasında ise yakla ık 2,25 dB’lik ba arım farkı elde edilmi tir



ekil 32. AWGN kanalda 16-QAM ba arımı, BER Analizi

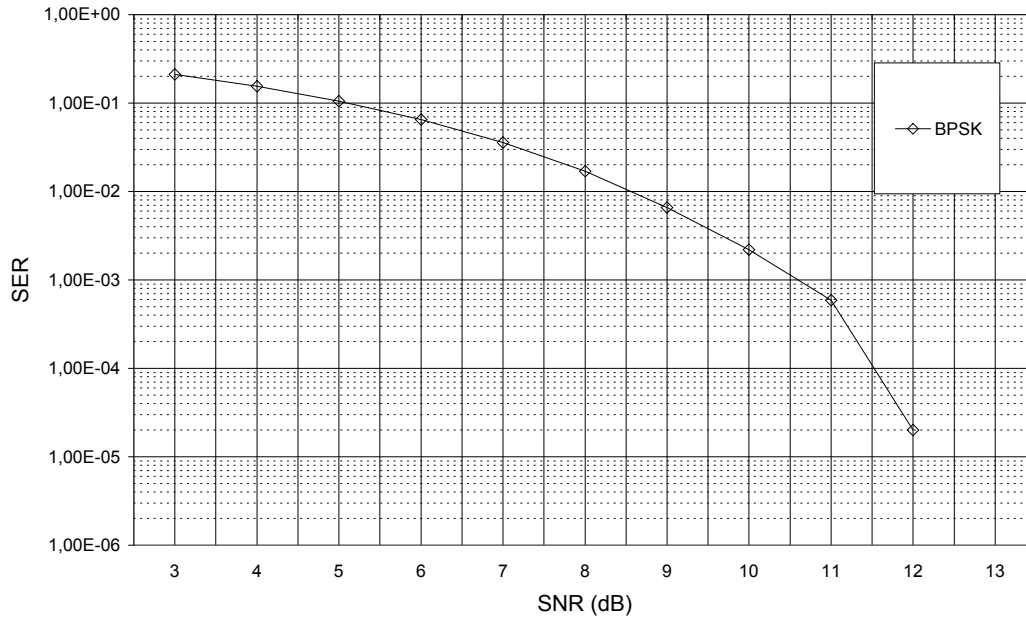


ekil 33. Kod hızının Reed – Solomon kod çözücü ba arımına etkisi, BER Analizi
[1000 sembol, 200 kanal, AWGN kanal, 16-QAM modülasyonu]

3.2. Reed Solomon Kod Çözücünde Kod Hızının Etkisi (SER Analizi)

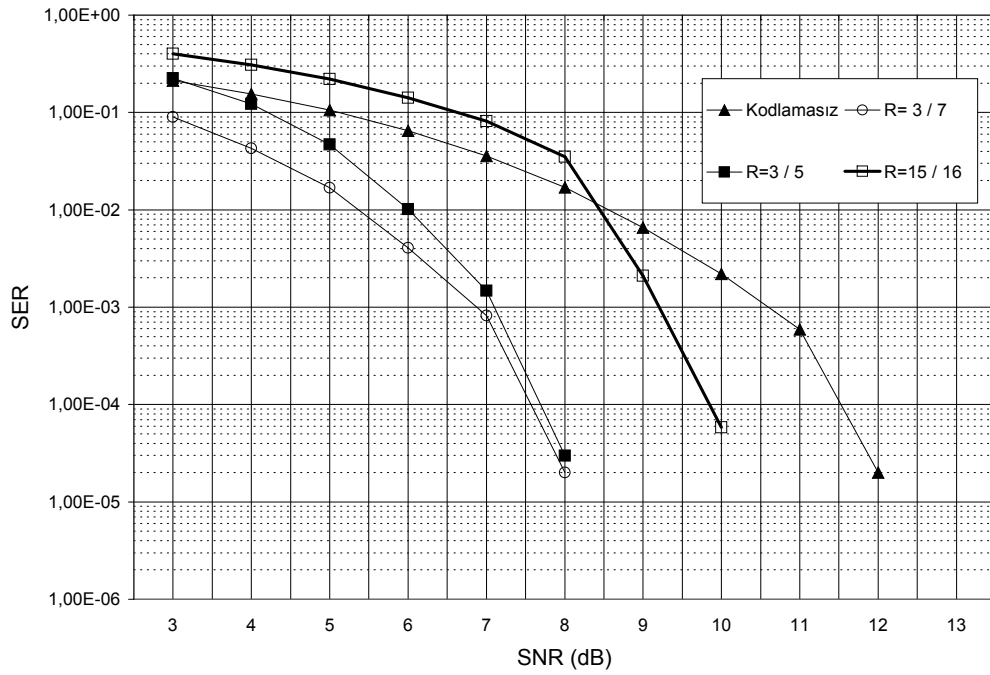
Reed – Solomon kodları diğer kodlardan farklı olarak semboller (ikili olmayan) üzerinden işlem yaptıklarından sembol hata oranı (SER) açısından da analiz edilmeleri gerekir. BER analizlerine benzer şekilde sırasıyla AWGN + BPSK, Rayleigh + BPSK, AWGN + QPSK, Rayleigh + QPSK ve AWGN + 16-QAM durumları için analizler yapılmıştır.

Şekil 34’de modülasyon türü BPSK olarak seçilen ve AWGN kanal üzerinden gönderilen reel veri sembollerinin kodlamasız durum için elde edilen benzetim sonucu verilmiştir.



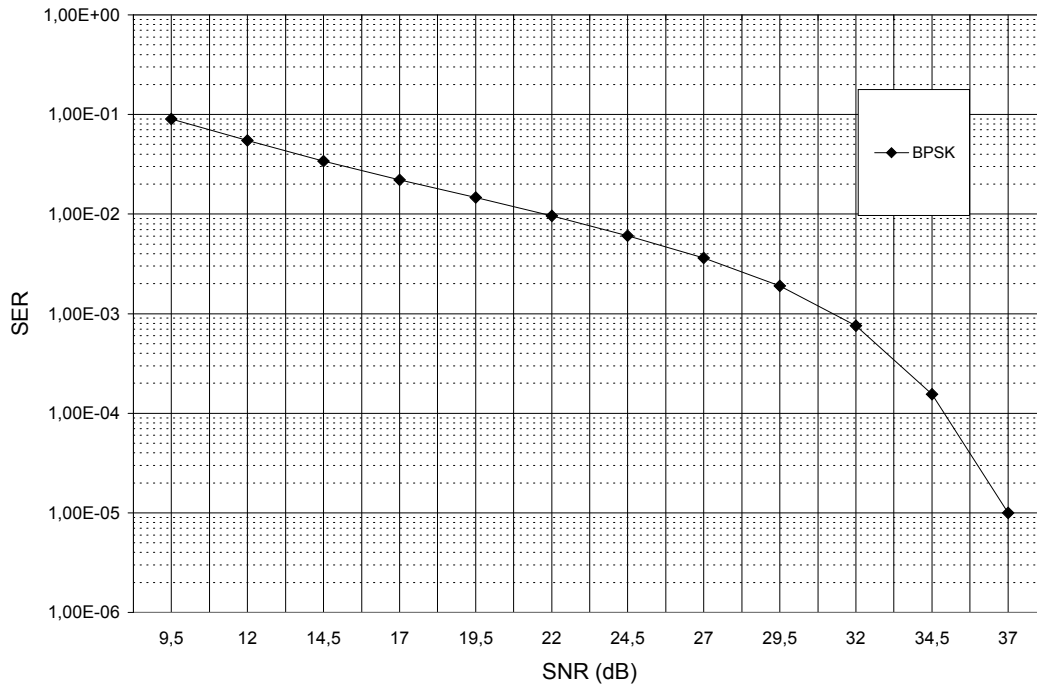
Şekil 34. AWGN kanalda BPSK bağıntısı, SER Analizi

Şekil 35’te ise farklı kod hızları için benzetim sonuçları elde edilmiştir. Yapılan analiz sonucunda farklı kod hızları kullanılması durumunda yaklaşık 2,2 dB bağıntı farkı elde edildiği gözlenmektedir. Kodlamasız durum ile karşılaştırıldığında ise; en iyi sonucu RS (7,3) kodlama düzeninin verdiği görülmektedir ve bu kodlama sistemi için 10^{-4} sembol hata olasılığı mertebelerinde bağıntı kazancı yaklaşık 3,5 dB’dir.



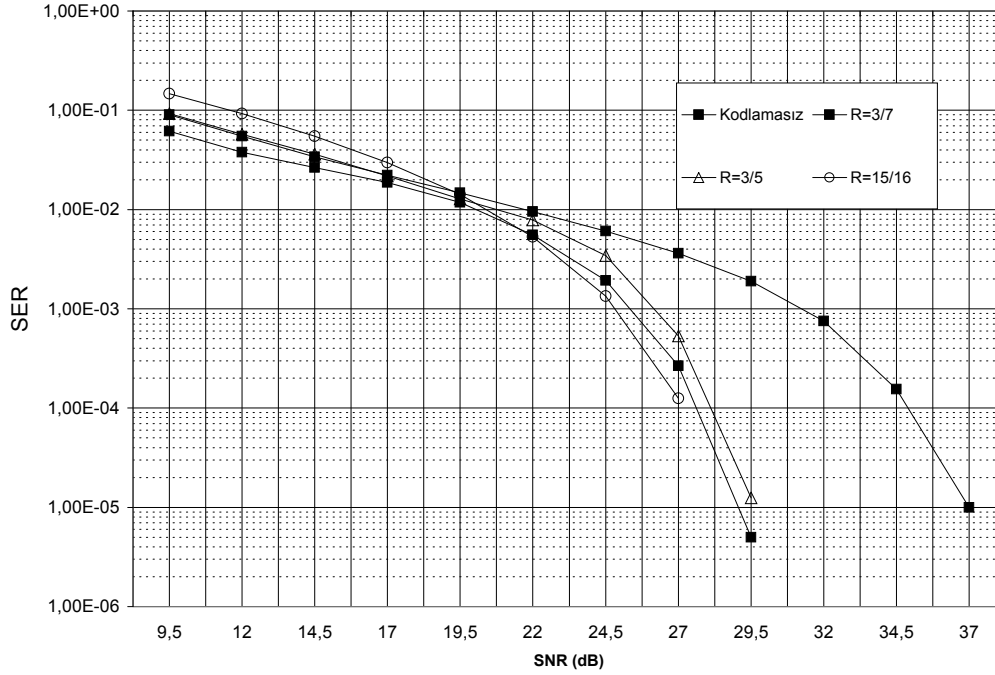
ekil 35. Kod hızının Reed – Solomon kod çözümü ba arımına etkisi, SER Analizi [1000 sembol, 200 kanal, AWGN kanal, BPSK modülasyonu]

ekil 36'da Rayleigh kanaldaki BPSK ba arımı gösterilmektedir.



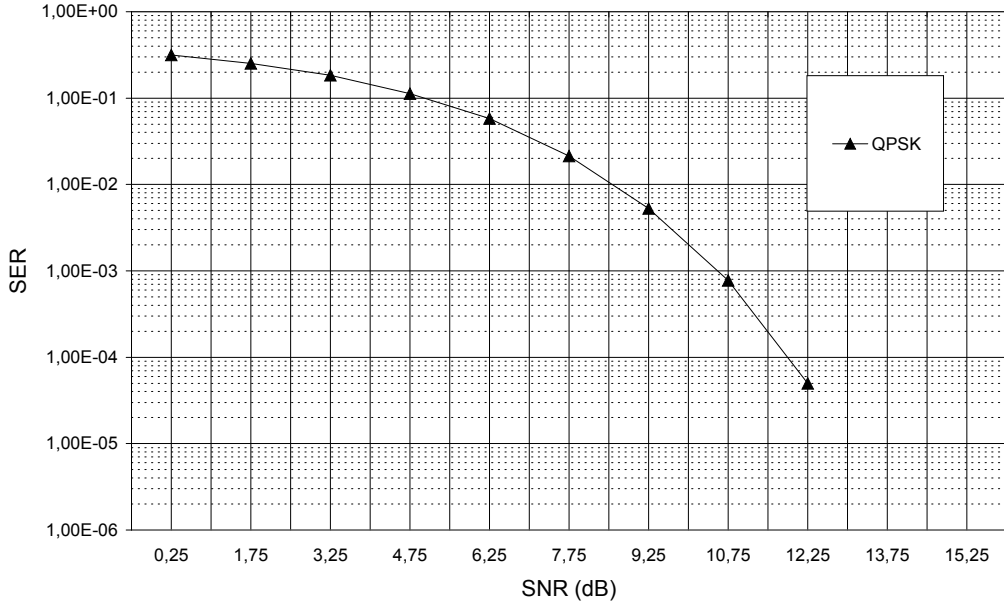
ekil 36. Rayleigh kanalda BPSK ba arımı, SER Analizi

ekil 37’de karma ık veriler kullanılarak Rayleigh kanalda farklı kod hızları için elde edilen benzetimler sonuçları yer almaktadır. Modülasyon tipi BPSK olarak seçilmiştir. Rayleigh kanalda kod hızları arasında yapılan karşılaştırılarda yaklaşık 1 dB’lik ba arım farkı elde edildi i görülmektedir. Kodlamasız duruma göre en iyi sonucu veren RS (255,239) kodlaması yapılması durumunda ise bit hata olasılığı 10^{-4} mertebelerinde iken yaklaşık 8 dB kazanç elde edilmiştir.



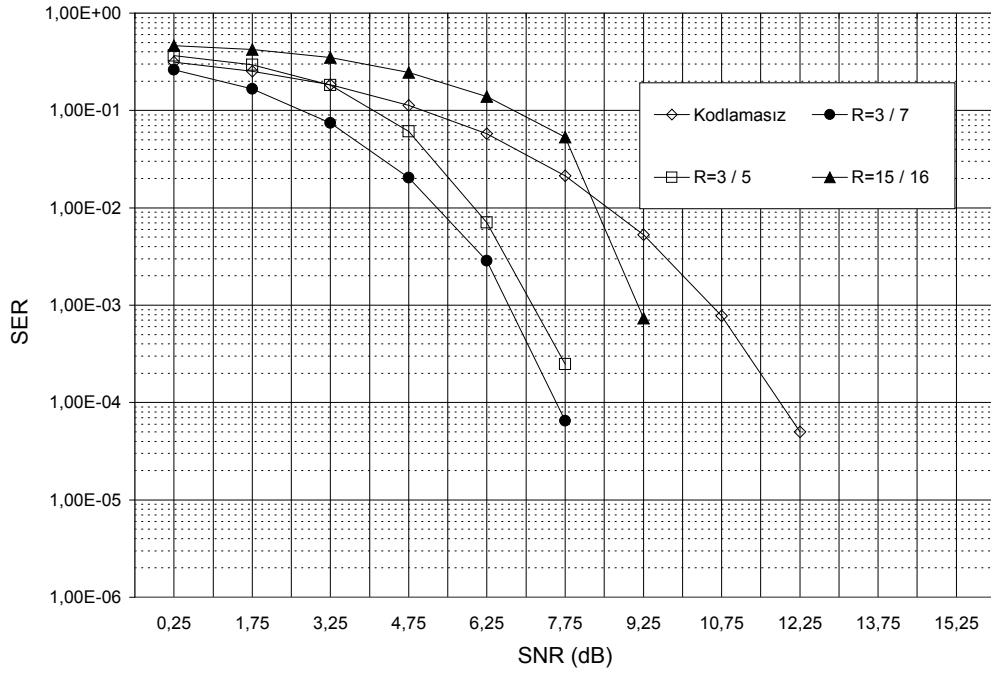
ekil 37. Kod hızının Reed – Solomon kod çözümü ba arımına etkisi, SER Analizi [1000 sembol, 200 kanal, Rayleigh kanal, BPSK modülasyonu]

ekil 38’de AWGN kanaldaki QPSK ba arımı gösterilmektedir.



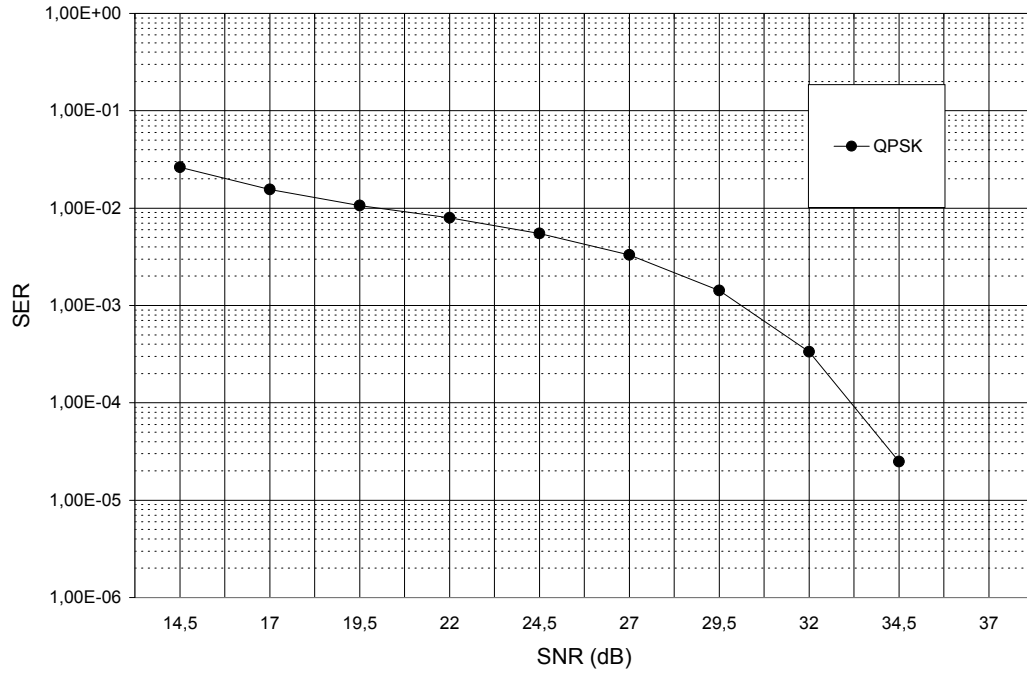
ekil 38. AWGN kanalda QPSK ba arımı, SER Analizi

ekil 39'da karma ık veriler kullanılarak AWGN kanalda farklı kod hızları için elde edilen benzetimler sonuçları yer almaktadır. Modülasyon tipi QPSK olarak seçilmi tir. AWGN kanalda kod hızları arasında yapılan kar ıla tırmada yakla ık 2 – 2,25 dB'lik ba arım farkı elde edildi i görülmektedir. Kodlamasız duruma göre en iyi sonucu veren RS (7,3) kodlaması yapılması durumunda ise bit hata olasılı ı 10^{-4} mertebelerinde iken yakla ık 4,5 dB kazanç elde edilmi tir.



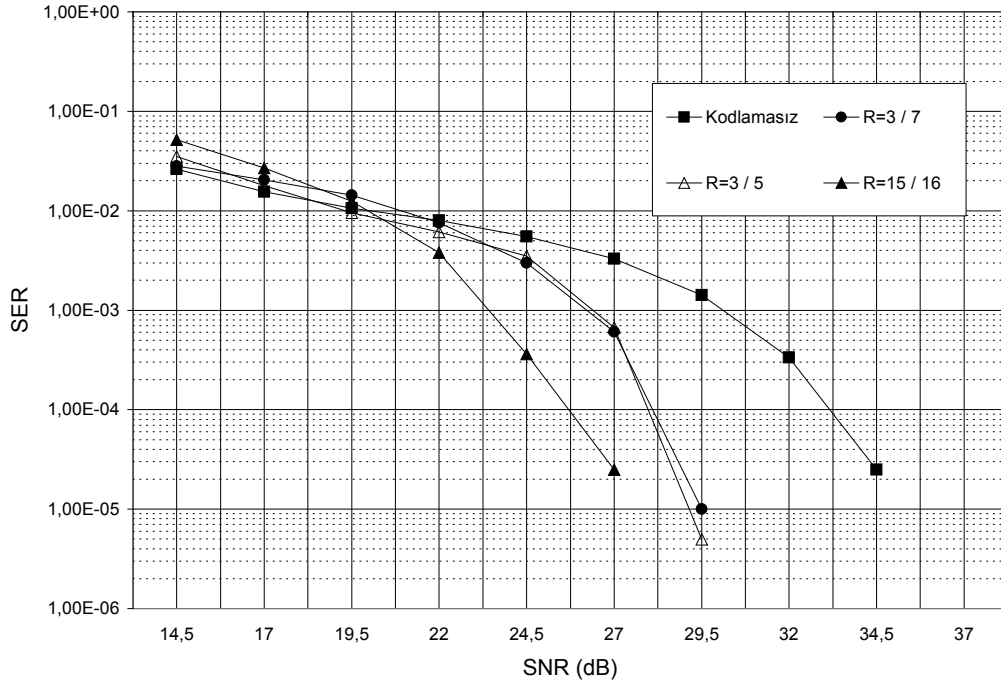
ekil 39. Kod hızının Reed – Solomon kod çözücü ba arımına etkisi, SER Analizi [1000 sembol, 200 kanal, AWGN kanal, QPSK modülasyonu]

ekil 40'ta Rayleigh kanaldaki QPSK ba arımı gösterilmektedir.



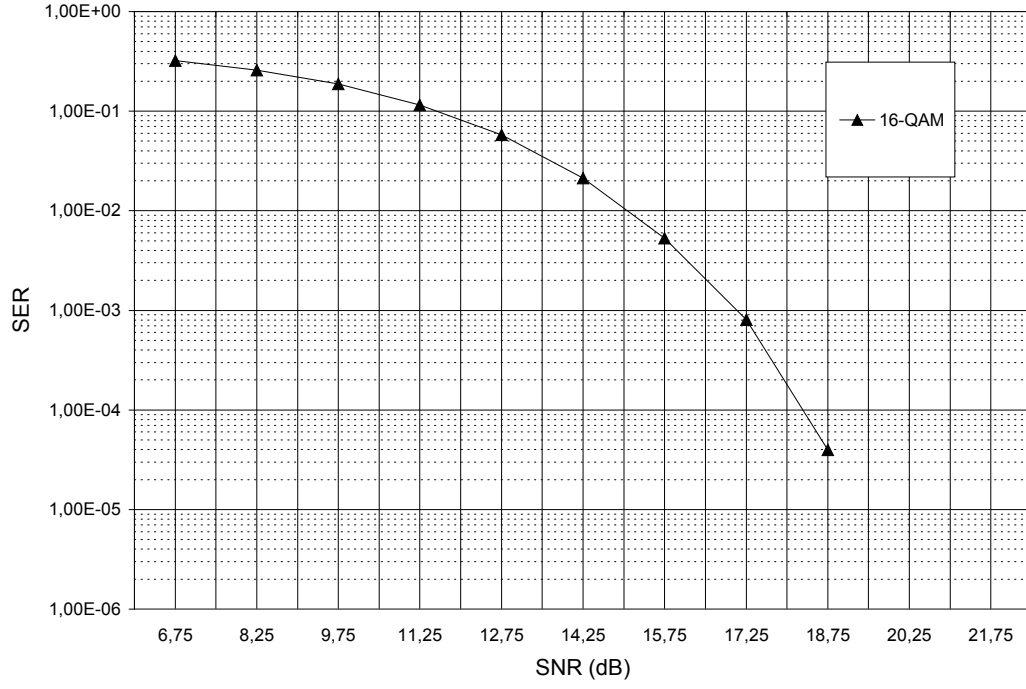
ekil 40. Rayleigh kanalda QPSK ba arımı, SER Analizi

ekil 41’de Rayleigh kanalda modülasyon türü olarak QPSK seçilmesi durumunda farklı kod hızları için elde edilen benzetim sonuçları verilmiştir. Farklı kod hızları arasında ba arım farkı 2 – 2,5 dB’dir. Kodlamasız durum ile karşılaştırıldığında en iyi sonucu veren RS(255,239) kodlama sistemidir. Sembol hata oranınının 10^{-4} mertebelerinde ba arım kazancı yaklaşık 7,5 dB’dir.



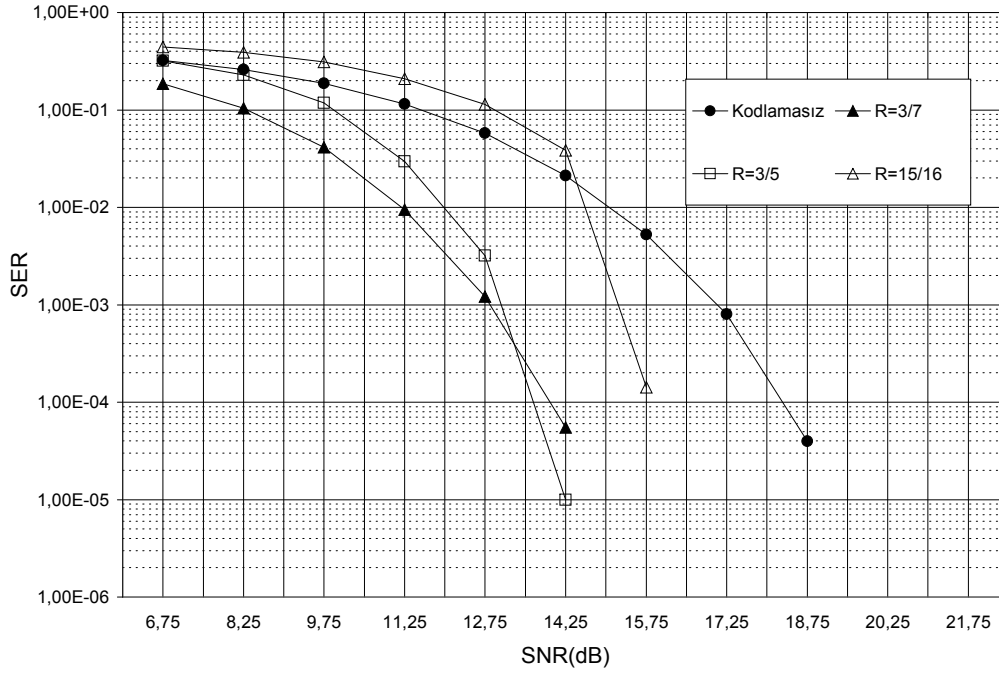
ekil 41. Kod hızının Reed – Solomon kod çözümü ba arımına etkisi, SER Analizi [1000 sembol, 200 kanal, Rayleigh kanal, QPSK modülasyonu]

ekil 42’de AWGN kanaldaki 16-QAM ba arımı gösterilmektedir.



ekil 42. AWGN kanalda 16-QAM ba arımı, SER Analizi

ekil 43'te AWGN kanalda modülasyon türü olarak 16-QAM seçilmesi durumunda farklı kod hızları için elde edilen benzetim sonuçları verilmi tir. Farklı kod hızları arasında ba arım farkı yakla ık 2,15 dB'dir. Kodlamasız duruma göre ise RS(15,9) kodlaması en iyi sonucu vermektedir. Sembol hata oranınının 10^{-4} mertebelerinde ba arım kazancı yakla ık 4,6 dB'dir



ekil 43. Kod hızının Reed – Solomon kod çözücü ba arımına etkisi, SER Analizi
[1000 sembol, 200 kanal, AWGN kanal, 16-QAM modülasyonu]

Reed – Solomon kod çözücünün toplanır beyaz Gauss gürültülü kanallardaki ba arımı, benzetim sonuçlarından da anlaşılabildiği üzere kod hızı azaldıkça gelmektedir. Yani kod hızının en düşük olduğu hem reel hem de karmaşık data gönderilmesi durumlarında ba arım kazancı daha yüksek olmaktadır. Modülasyon türünün kod çözücü ba arımına etkisi ise benzetim sonuçlarından görüleceği gibi QPSK modülasyonu kullanılan AWGN kanaldaki ba arım, BPSK kullanılan kanaldaki ba arıma oranla daha iyi sonuç vermektedir. Ayrıca AWGN kanallarda daha iyi sonuç veren RS (7,3) kodlama sistemi kod çözücünün işlem yükünü artırmaktadır. Bu da dizi uzunluğunu sınırlamaktadır.

Rayleigh kanallarda ise kod çözücü ba arımını etkileyen etmenlerden biri olan kod hızı arttıkça ba arım giderek daha iyi sonuç vermektedir. Hem sembol bazında hem de bit bazında Rayleigh kanallarda kod hızının artması, elde edilen ba arım kazancını artırmaktadır. Kod hızı en yüksek olan RS (255,239) kodlama sistemi, kod çözücünün işlem yükünü hafifletmekle birlikte daha çok dizinin gönderilmesine imkân tanır. Modülasyon türü seçiminin ba arıma etkisi AWGN kanallardaki gibidir. En iyi sonucu QPSK modülasyonu kullanıldığında vermektedir. Yani modülasyon derinliğinin artması kodlama yapılması durumunda ba arımı iyileştirmektedir. Ancak bu durum bant genişliğinin de azalmasına neden olur.

4. SONUÇLAR

Bu çalışmada Reed – Solomon (RS) kodlarının AWGN ve Rayleigh kanallardaki başarımlarını sergilemiştir. Temel BPSK, QPSK ve 16-QAM modülasyonlarının AWGN ve Rayleigh kanallardaki BER ve SER başarımlarını vermektedir.

Çalışmanın önemli bir bölümünü standart RS kodlama, Galois alanı tanımlama ve kanal simülasyon programlarını geliştirmek almıştır. Gerekli literatür taraması ise giriş bölümünde verilmiştir.

Reed - Solomon kodları güç sınırlı haberleşme sistemlerinde büyük bir kazanç sağlarken bir taraftan da serpiştirme ve iteratif kod çözme nedeniyle sistemde bir gecikmenin oluşmasına neden olur.

Reed - Solomon kodları, ileri karmaşık ve sistemde bir gecikmeye neden olması gibi iki olumsuz yönüne rağmen, kodlama alanında ikili olmayan semboller üzerinden iletişim yaptıklarından diğer kodlama türleri ile birlikte kullanılmaları durumunda daha iyi sonuçlar vermektedirler. İletimci hızlarının da artması ile uygulanabilirlikleri kolaylaşmıştır.

Tablo 10. BER = 10^{-5} için gerekli SNR değerleri (dB)

Kanal Modülasyon	Simülasyon Durumları	AWGN	RAYLEIGH
BPSK	Kodlamasız	11,8	36
	R= 3/7	8,4	28,4
	R= 3/5	9	28,5
	R= 15/16	9,2	27,4
QPSK	Kodlamasız	12,25	34,5
	R= 3/7	7,85	29
	R= 3/5	8,5	28,35
	R= 15/16	10	25,75
16-QAM	Kodlamasız	19,5	
	R= 3/7	15	
	R= 3/5	14,25	
	R= 15/16	16,45	

Tablo 11. SER = 10^{-4} için gerekli SNR değerleri (dB)

Kanal Modülasyon	Simülasyon Durumları	AWGN	RAYLEIGH
BPSK	Kodlamasız	10,5	35
	R= 3/7	7,6	27,65
	R= 3/5	7,75	28,25
	R= 15/16	9,8	27
QPSK	Kodlamasız	11,85	33,25
	R= 3/7	7,5	28,25
	R= 3/5	8,15	28,15
	R= 15/16	9,75	25,75
16-QAM	Kodlamasız	18,35	
	R= 3/7	14	
	R= 3/5	13,75	
	R= 15/16	15,9	

5. ÖNER LER

Kablosuz haberle me sistemlerindeki en önemli problem, sınırlandırılmı verici gücü ile veri kaybı olmadan haberle ebilme uzaklı ını artırmaktır. Kodlayıcıların önemi, bu noktada bariz olarak ortaya çıkmaktadır. HIPERLAN/2 (*High Performance Local Area Network*) standardında verici gücü 200mW (23dBm) olarak belirlenmi tir. Yapılan haberle menin türüne göre de (ses, veri, vs.) bit-hata oranı belirli bir de erin altında olmak zorundadır.

Kodlama olmadan, 23 dBm'lik verici gücü ve 10^{-3} bit-hata oranı ile 50 m mesafede haberle me yapıldı ı varsayılısın. Kodlama kazancının 6 dB oldu u durumda, aynı mesafede, aynı-bit hata oranında haberle me yapabilmek için gerekecek verici gücü 6 dB azalmı olacaktır. Benzer ekilde verici gücü aynı de erde tutulacak olursa, aynı bit hata oranında haberle me yapılabilecek mesafe artacaktır. Bir ba ka seçenek ise modülasyon derinli ini artırarak aynı mesafe, aynı verici gücü ve aynı bit-hata oranında daha yüksek veri hızına çıkmaktır.

Yapılan bu çalı mada, Reed – Solomon kod çözücünün AWGN ve dar bantlı Rayleigh kanaldaki ba arımı incelenmi tir. HIPERLAN/2, BLUETOOTH veya W MAX standartlarında Reed – Solomon kod çözücünün kullanılabilmesi için, bu kodun, geni bantlı Rayleigh ve Rician kanallar için de ba arımının incelenmesi gerekmektedir. Reed – Solomon çözücü kullanımı ile elde edilecek kod kazancı, HIPERLAN/2, BLUETOOTH veya W MAX sistemlerinin ba arımını artırmada etkili olabilecek düzeyde çıkarsa, ki muhtemelen çıkacaktır, sisteme eklenebilir. Böylece, bu standartları kullanan sistemlerin haberle me mesafesi veya veri hızı artırılabilir. Ayrıca bu sistemler için gerekli olan verici gücü de azaltılmı olur.

6. KAYNAKLAR

1. Viterbi, A.J. ve Omura, A.J., Principles of Digital Communication and Coding, McGraw-Hill Co., New York, 1979.
2. McEliece, R.J., The Theory of Information and Coding, Addison-Wiley Publishing Company, New York, 1977.
3. Rappaport, T.S., Wireless Communications: Principle and Practice, Prentice Hall Inc., Upper Saddle River, 1996.
4. Shannon, C.E., A Mathematical Theory of Communications, Bell Syst. Tech. J., 27 (1948) 379-423.
5. Hamming, R.W., Error Detecting and Error Correcting Codes, Bell Syst. Tech. J., 1950.
6. Sklar, B., Digital Communications: Fundamentals and Applications, Prentice-Hall Inc., Englewood Cliffs, 1988.
7. Proakis, J.G., Digital Communications, Third Edition, McGraw-Hill Co., 1995.
8. Elias, P., Coding for Noisy Channels, IRE Conv. Record, 4 (1955) 37-47.
9. Wozencraft J.M. ve Reiffen, B., Sequential Decoding, MIT Press, Cambridge, 1961.
10. Fano, R.M., A Heuristic Discussion of Probabilistic Decoding, IEEE Transactions on Information Theory, 9 (1963) 64-74.
11. Jelinek, F., An Upper Bound on Moments of Sequential Decoding Effort, IEEE Transactions Information Theory, 15 (1969) 464-468.
12. Viterbi A.J., Error Bounds for Convolutional Codes and An Asymptotically Optimum Decoding Algorithm, IEEE Transactions on Information Theory, 13 (1967) 260-269.
13. Odenwalder, J.P., Error Control Coding Handbook, Linkabit, 1976.
14. Wicker, S., Error Control Systems for Digital Communications and Storage, Prentice Hall Inc., Englewood Cliffs, 1995.
15. Costello, D.J., Hagenauer, J., Imai, H. ve Wicker, S.B., Applications of Error-Control Coding, IEEE Transactions on Information Theory, 44 (1998) 2531-2560.
16. Forney, G.D., Concatenated Codes, MIT Press, Cambridge, 1966.

17. Wilson, S.G., *Digital Modulation and Coding*, Prentice-Hall Inc., Upper Saddle River, 1996.
18. Massey, J.L., *The How and Why of Channel Coding*, Proceeding of 1984 Zurich Seminar on Digital Communications, 1984, Zürich, 67-73.
19. Wicker, S.B. ve Bharagava, V.K., *Reed-Solomon Codes and Their Applications*, IEEE Press, New York, 1994.
20. Berrou, C., Glavieux, A. ve Thitimajshima, P., *Near Shannon Limit Error-Correction Coding and Decoding: Turbo Codes (1)*, Proc. 1993 IEEE Int. Conf. on Communication Geneva, 1993, svicre, 1064-1070.
21. Robertson, P., *Illuminating The Structure of Parallel Concatenated Recursive Systematic (Turbo) Codes*, GLOBECOM'94, Kasım 1994, San Francisco, Cilt III, 1298-1303.
22. Hagenauer, J., Robertson, P. ve Papke, L., *Iterative (Turbo) Decoding of Systematic Convolutional Codes With MAP and SOVA Algorithms*, Source and Channel Coding ITG Conference, Ekim 1994, Frankfurt, Almanya, 1-9.
23. Benedetto, S. ve Montorsi, G., *Unveiling Turbo Codes: Some Results on Parallel Concatenated Coding Schemes*, IEEE Transactions on Information Theory, 42, 2 (1996) 409-428.
24. Benedetto, S. ve Montorsi, G., *Design of Parallel Concatenated Convolutional Codes*, IEEE Transactions on Information Theory, 44, 5 (1996) 591-600.
25. Valentini, M.C. ve Woerner, B.D., *Turbo Codes and Iterative Processing*, IEEE New Zealand Wireless Communications Symposium, Kasım 1998, Auckland, New Zealand, 16-24.
26. Papoulis A., *Probability, Random Variables and Stochastic Processes*, McGraw Hill Co, New York, 1991.
27. Collins, O.M., *The Subtleties and Intracies of Building A Constraint Length 15 Convolutioanl Decoder*, IEEE Transactions on Communication, 40 (1992) 1810-1819.
28. Reed, I.S. ve Solomon, G., *Polynomial Codes Over Certain Finite Fields*, SIAM Journal on Applied Mathematics, 8 (1960) 300-304.
29. Perez, L.C., "Turbo Codes" In *Trellis Coding*, IEEE Press, New York, 1997.
30. Cover, T.M. ve Thomas, J.A., *Elements of Information Theory*, Wiley Series in Communications, 1998.
31. Summers, T.A. ve Wilson, S.G., *SNR Mismatch and online estimation in turbo decoding*, IEEE Transactions on Communication, 46 (1998) 421-423.

32. Tepe, K. ve Anderson, J., Turbo Codes for Binary Symmetric and Binary Erasure Channels, ISIT 1998, A ustos 1998, Cambridge, USA, 59.
33. Hall, E.K. ve Wilson, S.G., Design and Analysis of Turbo Codes on Rayleigh Fading Channels, IEEE Selected Areas in Communications, 16, 2 (1998) 160-174.
34. Massey, J.L., Threshold Decoding, MIT Press, Cambridge, 1961.
35. Jelinek, F., A Fast Sequential Decoding Algorithm Using a Stack, IBM Journal of Research and Development, 13 (1969) 675-685.
36. Forney, G.D.JR., The Viterbi Algorithm, Proceedings of the IEEE, 1973, Cilt 61, 268-278
37. Lin, S. ve Costello, D.J., Error Control Coding: Fundamentals and Applications, Prentice-Hall Inc., Englewood Cliffs, 1983.
38. Forney, G.D.JR., Convolutional Codes I: Algebraic Structure, IEEE Transactions on Information Theory, 16 (1970) 720-738.
39. Sagan, C., Pale Blue Dot, Random Huse, New York, 1994.
40. Barbulescu, A.S. ve Pietrobon, S.S., Interleaver Design for Turbo Codes, IEEE Electronics Letters, 30, 25 (1994) 2107-2108.
41. Barbulescu, A.S. ve Pietrobon, S.S., Turbo Codes: A Tutorial on A New Class of Powerful Error Correcting Schemas, Part 1: Code Structures and Interleaver Design, J. Elec. and Electron. Eng., Avustralya, 1999, Cilt 19, 129-141.
42. Gorenstein, D. and Zierler, N., A Class of Error Correcting Codes in p^m Symbols, Journal of the Society for Industrial and Applied Mathematics, December 1960
43. Berlekamp, E.R., Algebraic Coding Theory, McGraw Hill, 1968
44. Chien, R.T., Cyclic Decoding Procedure for the Bose Chaudri Hocquenghem Codes, IEEE Transactions on Information Theory, pp.357-363, September 1964
45. Massey, J.L., Shift – Register Synthesis and BCH Decoding, IEEE Transactions on Information Theory, IT – 15, pp.122-127 , 1969
46. Hocquenghem, A.I., Codes Correcteurs d’erreurs, Chiffres, 2, pp. 147-156 ,1959
47. Reed, S.I. and Solomon, G., Polynomial Codes Over Certain Finite Fields, Journal of the Society for Industrial and Applied Mathematics, 8, pp. 300 -304, June 1960
48. Kayran, A.H., Panayırıcı, E., Aygölü , Ü., Sayısal Haberle me , pp. 131 – 151 Sistem Yayıncılık 1992

49. Seymour , S. and Jones , J.J., Modern Communications Principles, pp. 237 – 255 , Mc.Graw Hill, 1967
50. Charles , L., Error Control Block Codes for Communications Engineers, Artech House Telecommunications Library , February 2000
51. Michelson , A. K., and Levesque , A.H., Error Control Techniques for Digital Communication, Wiley – Interscience Publication , 1985
52. Sweeney , P., Error Control Coding : An Introduction , Prentice Hall Int. , 1991
53. Peterson , W.W., Encoding and Error Correcting Procedures for the Bose Chaudri Codes , IRE Transactions on Information Theory , September 1960

ÖZGEÇM

Yusuf ZORLU, 22.07.1978 tarihinde Erzincan' ın Tercan ilçesinde dünyaya geldi. İlk ö renimini 17 ubat İlkö retim Okulu' nda, orta ö renimini Tercan Lisesi' nde, lise ö renimi ise Zonguldak Kozlu Lisesi' nde tamamladı. 1998–1999 e itim-ö retim yılında, Karadeniz Teknik Üniversitesi Mühendislik Mimarlık Fakültesi Elektrik-Elektronik Mühendisli i Bölümü' nü kazandı. 2003 yılında bu bölümden ikincilikle mezun oldu. Aynı yıl Karadeniz Teknik Üniversitesi Fen Bilimleri Enstitüsü Elektrik-Elektronik Mühendisli i Anabilim Dalı' nda yüksek lisans ö renimine ba ladı. 2004 yılı Aralık ayından itibaren TEDA Ankara Ba kent Elektrik Da ıtım A. de Elektrik-Elektronik Mühendisi olarak görev yapmaktadır. Yabancı dil olarak İngilizce bilmektedir.